

Université Fédérale



Toulouse Midi-Pyrénées

THÈSE

En vue de l'obtention du

DOCTORAT DE L'UNIVERSITÉ DE TOULOUSE

Délivré par :

Université Toulouse - Jean Jaurès

Présentée et soutenue par :

Emmanuel MOUREAU

le 14 mai 2018

Titre :

Bâtir pour l'éternité.

Le cardinal Pierre des Prés (1280-1361)
et la collégiale Saint-Martin de Montpezat-de-Quercy

Volume 2 : planches

École doctorale et discipline ou spécialité :

ED TESC : Histoire de l'Art

Unité de recherche :

FRAMPESPA - UMR 5136 CNRS

Directeur/trice(s) de Thèse :

Quitterie CAZES

Maître de conférences en histoire de l'art médiéval, HDR

Jury :

Quitterie CAZES, Maître de conférences, Université de Toulouse-Jean Jaurès
Frédérique-Anne COSTANTINI, Maître de conférences, Université de Bordeaux-Montaigne
Michelle FOURNIÉ, Professeur émérite, Université de Toulouse-Jean Jaurès
Térence LE DESCHAULT DE MONREDON, Université Autonome de Barcelone
Anne MASSONI, Maître de conférences, Université de Limoges
Philippe PLAGNIEUX, Professeur, Université de Paris I-Sorbonne
Nelly POUSTHOMIS, Professeur, Université de Toulouse-Jean Jaurès

Université de Toulouse-Jean Jaurès
ED TESC
FRAMPESPA - UMR 5136

**Thèse pour obtenir le grade de
Docteur de l'Université de Toulouse
Histoire de l'art médiéval**

par Emmanuel MOUREAU

soutenue le 14 mai 2018

Bâtir pour l'éternité
Le cardinal Pierre des Prés (1280-1361)
et
la collégiale Saint-Martin de Montpezat-de-Quercy



Directeur de thèse
Quitterie CAZES

Maître de conférences, Université de Toulouse-Jean Jaurès

Jury

Frédérique-Anne COSTANTINI, Maître de conférences, Université de Bordeaux-Montaigne

Michelle FOURNIÉ, Professeur émérite, Université de Toulouse-Jean Jaurès

Térence LE DESCHAULT DE MONREDON, Université Autonome de Barcelone

Anne MASSONI, Maître de conférences, Université de Limoges

Philippe PLAGNIEUX, Professeur, Université de Paris I-Sorbonne

Nelly POUSTHOMIS, Professeur, Université de Toulouse-Jean Jaurès

Volume 2: planches

TABLE DES PLANCHES

Fig. 1 : carte des sites étudiés dans la thèse.

Fig. 2 : vue aérienne de l'église et du prieuré d'Espagnac-Sainte-Eulalie, Lot.

Fig. 3 : tombeau d'Aymeric Hébrard dans l'église d'Espagnac-Sainte-Eulalie, Lot.

Fig. 4 : le manoir de la Borde des Prés, façade sud, commune de Montpezat-de-Quercy.

Fig. 5 : le manoir de la Borde des Prés, relevé de la façade nord. UDAP 82.

Fig. 6 : obit de Raymonde des Prés, mère du cardinal. Arch. Dép. Tarn-et-Garonne, G 790.

Fig. 7 : détail d'un folio du volume du *Digestum* de Justinien annoté par le cardinal des Prés. Paris, B.N.F., Ms latin 4486 A.

Fig. 8 : copie du XV^e siècle de l'ouvrage *Remedia quibus judex uti potest* composé par Pierre des Prés. Toulouse, Bibliothèque Municipale, ms. 0377, fol. 90.

Fig. 9 : sceau de l'auditeur des lettres contredites sous Jean XXII. Arch. Dép. Tarn-et-Garonne, G 573-5.

Fig. 10 : copie de la réponse du cardinal des Prés sur la question de la pauvreté du Christ. Archives du Vatican, ms. Vat. Lat. 3740, fol. 91.

Fig. 11 : mention de la consécration de John de Grandisson par Pierre des Prés en 1328. Psautier Grandisson, Londres, British Library.

Fig. 12 : sceau de Pierre des Prés, cardinal évêque de Palestrina.

Belgique, archives générales du Royaume, n° 8007.

Fig. 13 : anneau de John de Grandisson, cathédrale d'Exeter.

Fig. 14 : armes de John de Grandisson, peintes sur un folio de son psautier. Londres, British Library.

Fig. 15 : la collégiale Notre-Dame d'Ottery Saint Mary, Devon, Grande Bretagne.

Fig. 16 : console figurant le buste de l'évêque John de Grandisson, collégiale Notre-Dame, Ottery Saint Mary, Devon, Grande-Bretagne.

Fig. 17 : détail d'un exemplaire du *Repertorium morale* de Pierre Bersuire, daté du XIV^e siècle. Paris, Bibliothèque Mazarine, ms 0291-1.

Fig. 18 : incipit du *Roman des deduis de la chasse*, Gâche de La Bigne, exemplaire du XV^e siècle

Fig. 19 : obit de Raymonde des Prés, mère du cardinal de Palestrina. Arch. Dép. Tarn-et-Garonne, G 790.

Fig. 20 : obit de Raymond des Prés, frère du cardinal de Palestrina. Arch. Dép. Tarn-et-Garonne, G 790.

Fig. 21 : obit de Bonne de Montpezat, femme de Raymond des Prés. Arch. Dép. Tarn-et-Garonne, G 790.

Fig. 22 : obit d'Alpaisie de Montaigut, femme de Bertrand des Prés. Arch. Dép. Tarn-et-Garonne, G 790.

Fig. 23 : obit de Pierre-Raymond des Prés, petit-neveu du cardinal des Prés. Arch. Dép. Tarn-et-Garonne, G 790.

Fig. 24 : obit de Raymond-Arnaud des Prés, petit-neveu du cardinal des Prés. Arch. Dép. Tarn-et-Garonne, G 790.

Fig. 25 : obit d'Anglésie d'Aure, femme de Raymond-Arnaud des Prés. Arch. Dép. Tarn-et-Garonne, G 790.

Fig. 26 : obit de Bertrand des Prés, fils de Raymond-Arnaud des Prés. Arch. Dép. Tarn-et-Garonne, G 790.

Fig. 27 : Plan schématique des couvents de Mortemart en 1824.

Fig. 28 : Mortemart (Haute-Vienne), vue générale de l'église des Augustins.

Fig. 29 : Mortemart (Haute-Vienne), façade occidentale de l'église des Augustins.

Fig. 30 : Mortemart (Haute-Vienne), culot sculpté du portail de la façade occidentale de l'église des Augustins.

Fig. 31 : Mortemart (Haute-Vienne), chapiteaux du portail de la façade occidentale de l'église des Augustins.

Fig. 32 : croix pectorale du cardinal des Prés, argent, poinçon de la Curie sous le pape Clément VI, Avignon, 1342-1352, commune de Puylaroque (Tarn-et-Garonne).

Fig. 33 : Pierre des Prés nommé Étienne de Murles chapelain perpétuel à Montpezat le 28 juin 1338. Arch. Dép. Tarn-et-Garonne, G 783.

Fig. 34 : autorisation donnée au cardinal des Prés d'acquiescer des dîmes dans la paroisse de Montpezat par Bernard de Guarnel, le 19 octobre 1324. Arch. Dép. Tarn-et-Garonne, G 783.

Fig. 35 : détail du fragment du sceau de Bernard de Garnel, curé de Montpezat en 1324. Arch. Dép. Tarn-et-Garonne, G 783.

Fig. 36 : lettres patentes du roi Philippe VI en faveur de Pierre des Prés, datée de septembre 1330. Arch. Dép. Tarn-et-Garonne, G 785.

Fig. 37 : acte de consécration de l'église Saint-Just-et-Saint-Pasteur, 1324. Arch. Dép. Tarn-et-Garonne, G 784.

Fig. 38 : plan de l'église Saint-Jacques de Puylaroque, avec au nord la chapelle Notre-Dame de Grâce. UDAP de Tarn-et-Garonne.

Fig. 39 : la chapelle Notre-Dame de Grâce de Puylaroque vue depuis le versant nord.

Fig. 40 : armoiries de Bernard Carit, chapelle Notre-Dame de Grâce, Puylaroque.

Fig. 41 : collégiale Saint-Jean-Saint-Louis de Castelnau-Bretenoux.

Fig. 42 : détail de la verrière qui figure Jean II de Castelnau-Caylus, collégiale Saint-Jean-Saint-Louis de Castelnau-Bretenoux.

Fig. 43 : plan d'Avignon au Moyen Âge. En rouge, la collégiale Saint-Pierre.

Fig. 44 : exemple d'une cour d'un palais cardinalice à Villeneuve-les-Avignon, celui de Bertrand de Déaux. Dessin Bernard Sournia.

Fig. 45 : puits du palais de Pierre des Prés à Villeneuve-les-Avignon.

Fig. 46 : vestiges de la demeure de Pierre des Prés, évêque de Castres, à Villeneuve-les-Avignon (corps de logis oriental). Cliché Bernard Sournia.

Fig. 47 : Vue générale du palais de Bertrand du Pouget à Villeneuve-les-Avignon.

Fig. 48 : le chevet et le clocher de la collégiale Saint-Pierre d'Avignon.

Fig. 49 : nef de la collégiale Saint-Pierre d'Avignon.

Fig. 50 : vue de l'abside et de la retombée des voûtes, collégiale Saint-Pierre d'Avignon.

Fig. 51 : exemples de quittances de travaux pour la collégiale en 1620 et 1626. Arch. Dép. Tarn-et-Garonne, G 850.

Fig. 52 : première page de l'inventaire des archives de la collégiale de Montpezat, daté de 1626. Arch. Dép. Tarn-et-Garonne, G 789.

Fig. 53 : première page du contrat passé entre Montreuil et le chapitre collégial de Montpezat en 1777. Arch. Dép. Tarn-et-Garonne, G 782.

Fig. 54 : la façade principale de la collégiale Saint-Martin avant les travaux de Charles Potdevin en 1911. Arch. Dép. Tarn-et-Garonne, Fonds Société Archéologique.

Fig. 55 : plan schématique des aménagements du versant nord de la collégiale Saint-Martin. Bernard Voinchet, ACMH, juillet 1989. UDAP de Tarn-et-Garonne.

Fig. 56 : projet de restauration du clocher de Montpezat par Henri Chainé, 1909.

Médiathèque de l'architecture et du patrimoine.

Fig. 57 : la collégiale Saint-Martin, dessinée par Alexandre du Mège en 1821. Arch. Dép. Tarn-et-Garonne, 3 J 7.

Fig. 58 : détail de la tenture de chœur de la collégiale Saint-Martin, dessinée par Alexandre du Mège en 1821. Arch. Dép. Tarn-et-Garonne, 3 J 7.

Fig. 59 : les deux gisants de la collégiale Saint-Martin, vu par Alexandre du Mège en 1821

Fig. 60 : Coupe et plan de la collégiale Saint-Martin, dressés par Viollet-le-Duc en 1841.

Fig. 61 : vue de la collégiale Saint-Martin par Anatole de Rouméjoux, 1882. Bibliothèque municipale de Périgueux, A12P24.

Fig. 62 : vue de la collégiale prise depuis le nord, vers 1860. Arch. Dép. Tarn-et-Garonne, Fonds de la Société Archéologique.

Fig. 63: vue de la collégiale prise depuis le sud par l'abbé Faubin en 1886. Arch. Dép. Tarn-et-Garonne, Fonds de la Société Archéologique.

Fig. 64 : vue générale de la collégiale depuis le sud, avant 1925, par Georges Estève. Médiathèque de l'architecture et du patrimoine, MH0079324.

Fig. 65 : plan de la collégiale Saint-Martin. UDAP de Tarn-et-Garonne.

Fig. 66 : plan de la collégiale Saint-Martin. Jean-Louis Rebières, ACMH

Fig. 67 : plan schématique des couvertures de la collégiale Saint-Martin.

Bernard Voinchet, ACHM, 1970.

Fig. 68: coupes de la collégiale Saint-Martin. UDAP de Tarn-et-Garonne.

Fig. 69 : vue générale du clocher de la collégiale Saint-Martin.

Fig. 70 : vue du voûtement de la tourelle d'escalier du clocher.

Fig. 71 : coupe et profil des colonnettes du clocher. UDAP de Tarn-et-Garonne.

Fig. 72 : relevé de la façade occidentale de la collégiale Saint-Martin.

UDAP de Tarn-et-Garonne.

Fig. 73 : vue générale de la façade occidentale, collégiale Saint-Martin.

Fig. 74 : détail du portail de la façade occidentale, collégiale Saint-Martin.

Fig. 75 : dessin technique des chapiteaux, colonnettes et bases prismatiques du portail occidental de la collégiale Saint-Martin. Entreprise SELE, 1991. UDAP de Tarn-et-Garonne.

Fig. 76 : dessin technique des profils des colonnettes du portail occidental de la collégiale Saint-Martin. Entreprise SELE, 1991. UDAP de Tarn-et-Garonne.

Fig. 77 : dessin technique des profils des colonnettes du portail occidental de la collégiale Saint-Martin. Entreprise SELE, 1991. UDAP de Tarn-et-Garonne

Fig. 78 : dessin technique des profils des colonnettes du portail occidental de la collégiale Saint-Martin. Entreprise SELE, 1991. UDAP de Tarn-et-Garonne

Fig. 79 : dessin technique des profils des bases prismatiques des colonnettes du portail occidental de la collégiale Saint-Martin.

Entreprise SELE, 1991. UDAP de Tarn-et-Garonne

Fig. 80 : vue générale de la statue de la niche gauche de la façade occidentale, collégiale Saint-Martin.

Fig. 81 : détail de la niche droite de la façade occidentale avec la trace de la litre funéraire

collégiale Saint-Martin.

Fig. 82 : la rose de la façade occidentale, collégiale Saint-Martin.

Fig. 83 : vue de la coursière de la façade occidentale, collégiale Saint-Martin.

Fig. 84 : détail d'une des trompes de la coursière, côté nord, collégiale Saint-Martin.

Fig. 85 : vue générale du voûtement de la nef, collégiale Saint-Martin.

Fig. 86 : détail de la retombée des voutes de la nef et de la première travée de l'abside, collégiale Saint-Martin.

Fig. 87 : clé de voûte de la collégiale Saint-Martin aux armes de la famille des Prés.

Fig. 88 : détail d'un chapiteau de la nef, collégiale Saint-Martin.

Fig. 89 : vue générale d'une fenêtre haute de la nef, collégiale Saint-Martin.

Fig. 90 : vue générale extérieure d'une fenêtre des chapelles latérales, collégiale Saint-Martin.

Fig. 91 : vue générale du voûtement de l'abside, collégiale Saint-Martin.

Fig. 92 : chapiteaux feuillagés de l'abside, collégiale Saint-Martin.

Fig. 93 : implantation de la collégiale dans le tissu urbain du faubourg del Pla.

Cadastre napoléonien, vers 1830. Arch. Dép. Tarn-et-Garonne.

Fig. 94 : obit de maître Gailhard de Rupe, lapicide. Arch. Dép. Tarn-et-Garonne, G 790.

Fig. 95 : schématisation de l'élévation des éléments structurants et des murs de la nef de la collégiale Saint-Martin.

En orange : les éléments structurants montés en premiers ; en couleurs : les lits de pierres montés au fur et à mesure.

Fig. 96 : successions lithographiques dans la région de Caussade. Dessin du BRGM.

Fig. 97 : carte géologique de Montpezat-de-Quercy. En orange, les couches remontant à l'oligocène. Carte du BRGM.

Fig. 98 : détail du calcaire utilisé pour le parement extérieur de la nef de la collégiale Saint-Martin, côté nord

Fig. 99 : situation du lieu-dit la Peyrière (en rouge) sur les hauteurs de Montpezat. Carte IGN.

Fig. 100 : potentielle marque de carrier (repassée en rouge par nos soins) sur le parement du mur nord de la nef de la collégiale Saint-Martin.

Fig. 101 : seconde marque de carrier (?) tracée au minimum sur le parement nord de la nef de la collégiale Saint-Martin

Fig. 102 : vue de la porte d'accès aux toitures du bas-côté sud de la collégiale Saint-Martin.

Fig. 103 : détail du parement intérieur de l'abside de la collégiale de Saint-Germain-les-Belles (Haute-Vienne).

Fig. 104 : porte du placard de la sacristie et de l'accès à la toiture de l'arrière-sacristie, collégiale Saint-Martin.

Fig. 105 : exemple de taille oblique de la pierre sur le parement extérieur d'un contrefort de la nef côté nord, collégiale Saint-Martin.

Fig. 106 : exemple de taille entrecroisée sur une des pierres de la fenêtre d'axe, collégiale Saint-Martin.

Fig. 107 : exemple de taille entrecroisée sur une des pierres de la fenêtre d'axe, collégiale Saint-Martin.

Fig. 108 : exemple de taille en éventail sur une des pierres des retombées des voûtes, chapelle nord, collégiale Saint-Martin.

Fig. 109 : traces d'outils avec de nombreuses reprises sur un bloc du parement sud, collégiale Saint-Martin.

Fig. 110 : vue générale du mur nord de l'église du couvent du Pouget. État en septembre 2015.

Fig. 111 : détail de l'arc du portail occidental de l'église du couvent du Pouget. État en septembre 2015.

Fig. 112 : détail du parement extérieur de l'église des Augustins de Mortemart.

Fig. 113 : détail du parement extérieur du chevet de la collégiale de Saint-Germain-les-Belles.

Fig. 114 : exemples de signes lapidaires sur le parement extérieur de la collégiale Saint-Martin ;

Fig. 115 : exemples de signes lapidaires sur le parement extérieur de la collégiale Saint-Martin.

Fig. 116 : exemples de signes lapidaires sur le parement extérieur de la collégiale Saint-Martin.

Fig. 117 : extrait du cadastre napoléonien de Montpezat-de-Query avec le lieu-dit « La Mouline ». Arch. Dép. de Tarn-et-Garonne

Fig. 118 : serrure à vertevelle du placard de la sacristie. Collégiale Saint-Martin.

Fig. 119 : serrure à vertevelle de la porte d'accès aux toitures du bas-côté nord, Collégiale Saint-Martin.

Fig. 120 : détail d'un ancien gond de porte scellé au plomb dans le mur de l'abside de la collégiale Saint-Martin.

Fig. 121 : détail des scellements au plomb du remplage de la fenêtre d'axe de la collégiale Saint-Martin.

Fig. 122 : détail du scellement au plomb du réseau de la rosace de la collégiale Saint-Martin.

Fig. 123 : détails de l'assemblage par coulées de plomb du réseau de la piscine liturgique du chœur de la collégiale Saint-Martin.

Fig. 124 : détail du vitrail figurant saint Martin, baie d'axe de la collégiale Saint-Martin, œuvre du maître-verrier Lusson, en 1866.

Fig. 125 : la grande verrière médiévale de l'église du couvent des Junies.

Fig. 126 : détail de la partie inférieure de la verrière centrale de l'église du couvent des Junies.

Fig. 127 : détail en rouge des trous d'empochement d'échafaudage dans la troisième chapelle nord, collégiale Saint-Martin.

Fig. 128 : détail des traces de polychromie sur un chapiteau de la nef, collégiale Saint-Martin.

Fig. 129 : détail des restes de polychromie sur une colonnette d'une chapelle latérale sud, collégiale Saint-Martin.

Fig. 130 : vue générale de la nef de la collégiale Saint-Pierre de La Romieu.

Fig. 131 : vue générale du décor peint du chœur de l'église des Junies.

Fig. 132 : vue générale du décor peint découvert dans la quatrième chapelle sud de la collégiale Saint-Martin.

Fig. 133 : traces de préparation noire sur la crédence de la piscine aux ablutions de la troisième chapelle sud, collégiale Saint-Martin.

Fig. 134 : détail du décor peint de la quatrième chapelle sud, collégiale Saint-Martin.

Fig. 135 : détail de la piscine liturgique et de son décor peint dans la quatrième chapelle sud de la collégiale Saint-Martin.

Fig. 136 : vue générale du décor peint découvert dans la première chapelle sud de la collégiale Saint-Martin.

Fig. 137 : détail du décor peint mis au jour dans la quatrième chapelle nord de la collégiale Saint-Martin.

Fig. 138 : détail du décor peint mis au jour dans la quatrième chapelle nord de la collégiale Saint-Martin.

Fig. 139 : vue générale du décor peint mis au jour dans la quatrième chapelle nord de la collégiale Saint-Martin.

Fig. 140 : détail du décor peint découvert sur les murs du chevet de la collégiale Saint-Martin.

Fig. 141 : détail du décor peint découvert sur les murs du chevet de la collégiale Saint-Martin.

Fig. 142 : détail du décor peint sur les colonnettes découvert sur les murs du chevet de la collégiale Saint-Martin.

Fig. 143 : vue générale de la piscine aux ablutions découverte dans le mur sud du chevet de la collégiale Saint-Martin.

Fig. 144 : détail de la cuvette de la piscine aux ablutions.

Fig. 145 : détail de la cuvette de la piscine aux ablutions.

Fig. 146 : détail de la polychromie du fond de la piscine aux ablutions.

Fig. 147 : détails de la polychromie de la piscine aux ablutions.

Fig. 148 : détails de la polychromie de la piscine aux ablutions.

Fig. 149 : vue générale de la piscine liturgique du chœur de l'église des Junies.

Fig. 150 : peintures murales du chœur de l'église de Saux.

Fig. 151 : détail du décor peint découvert dans le chœur de la collégiale Saint-Martin.

Fig. 152 : détail du décor peint découvert dans le chœur de la collégiale Saint-Martin.

Fig. 153 : détail du joint de mortier rubané au fer, en partie basse du décor d'arcades géminées.

Fig. 154 : détail du monogramme du Christ rajouté sur la peinture murale médiévale dans le chœur de la collégiale Saint-Martin.

Fig. 155 : détail du monogramme du Christ découverte sur le mur du chevet de l'église Saint-Pierre d'Auvillar. Cliché Jean-François Peiré, DRAC Occitanie.

Fig. 156 : détail du décor d'architecture en trompe-l'œil peint sur les murs de l'appartement des hôtes au Palais des Papes, Avignon.

Fig. 157 : détail du décor peint au-dessus du tombeau du cardinal Bertrand de Déaux Avignon, collégiale Saint-Didier. Cliché Médiathèque de l'architecture et du patrimoine

Fig. 158 : traces de l'eau-forte vermillon sur les jambages de la baie d'axe de la collégiale Saint-Martin.

- Fig. 159 : traces d'une eau-forte terre d'Ombre sur le remplage de la baie d'axe, collégiale Saint-Martin.
- Fig. 160 : traces d'une eau-forte terre d'Ombre sur les modillons nord, collégiale Saint-Martin
- Fig. 161 : traces d'une eau-forte terre d'Ombre sur une fenêtre basse nord, collégiale Saint-Martin
- Fig. 162 : vue générale du chevet de la collégiale Saint-Martin avant 1909. Médiathèque de l'architecture et du patrimoine.
- Fig. 163 : traces d'enduit ocre sur la façade de la salle capitulaire du couvent des Junies.
- Fig. 164 : vue générale du chevet de la collégiale Saint-Agricol d'Avignon.
- Fig. 165 : vue générale du chevet de la collégiale Notre-Dame-des-Miracles d'Avignon.
- Fig. 166 : vue générale de deux chapiteaux de la nef de la collégiale Saint-Martin.
- Fig. 167 : vue générale du chœur de la collégiale Notre-Dame du Vigan (Lot).
- Fig. 168 : vue de la nef de l'église Saint-Jean-Baptiste de Caylus (Tarn-et-Garonne)
- Fig. 169 : vue générale de la nef de la basilique Sainte-Marie-Madeleine de Saint-Maximin-La-Sainte-Baume (Bouches-du-Rhône)
- Fig. 170 : vue générale du collatéral nord de la basilique Sainte-Marie-Madeleine de Saint-Maximin-La-Sainte-Baume (Bouches-du-Rhône)
- Fig. 171 : chevet du couvent des Dominicains d'Avignon, en 1839. Gravure de Ch. Montigny
- Fig. 172 : détail des chapiteaux de la retombée des voûtes de l'arc triomphal, collégiale Saint-Agricol d'Avignon.
- Fig. 173 : vue générale du collatéral nord de la cathédrale Saint-Bénigne de Dijon (Côte-d'Or)
- Fig. 174 : détail des chapiteaux de l'église Saint-Nicholas d'Arundel (Grande-Bretagne)
- Fig. 175 : vue générale des chapiteaux et des piliers de l'ancienne salle capitulaire des Cordeliers de Toulouse
- Fig. 176 : détail du voûtement du chevet de la cathédrale Saint-André de Bordeaux.
- Fig. 177 : deux vues du cloître de la collégiale Notre-Dame de Villeneuve-les-Avignon.
- Fig. 178 : vue générale du clocher de la collégiale Notre-Dame de Villeneuve-les-Avignon.
- Fig. 179 : vue générale du portail de la collégiale Saint-Michel de Castelnaudary (Aude).
- Fig. 180 : vue générale du portail de la collégiale Saint-Vincent de Montréal (Aude).
- Fig. 181 : vue générale du portail de la cathédrale de Rieux (haute-Garonne)
- Fig. 182 : vue générale du portail de l'église Notre-Dame-du-Taur de Toulouse.

- Fig. 183 : façade occidentale de l'église de Berson (Gironde).
- Fig. 184 : façade occidentale de l'église de Mézin (Lot-et-Garonne)
- Fig. 185 : façade occidentale de l'église Notre-Dame de Marmande (Lot-et-Garonne)
- Fig. 186 : vue générale du portail de l'ancien couvent des Jacobins de Saint-Sever (Landes).
- Fig. 187 : baldaquin du tombeau de Jean XXII, cathédrale Notre-Dame-des-Doms, Avignon.
- Fig. 188 : tombeau du cardinal Bertrand de Déaux, collégiale Saint-Didier, Avignon.
- Fig. 189 : portail de la collégiale d'Ottery-Saint-Mary, Devon (Grande-Bretagne)
- Fig. 190 : détail (à gauche) de la sacristie et de la salle capitulaire de la collégiale d'Écouis
- Fig. 191 : vue générale du mur reconstruit entre deux contrefort, au nord du chevet, collégiale Saint-Martin.
- Fig. 192 : détail de la partie supérieure du mur reconstruit entre deux contrefort, au nord du chevet, de la collégiale Saint-Martin.
- Fig. 193 : seconde sacristie construite en 1778, collégiale Saint-Martin.
- Fig. 194 : traces du solin de la sacristie construite en 1601, collégiale Saint-Martin.
- Fig. 195 : tour de la collégiale Saint-Pierre de La Romieu (Gers).
- Fig. 196 : décor peint de la voûte de la salle inférieure de la tour nord, collégiale Saint-Pierre de La Romieu.
- Fig. 197 : détail du décor peint des murs de la salle inférieure de la tour nord, collégiale Saint-Pierre de La Romieu.
- Fig. 198 : tour des chanoines, collégiale de Saint-Germain-les-Belles (Haute-Vienne).
- Fig. 199 : clé de voûte aux armes du cardinal Hugues Roger, rez-de-chaussée de la tour des chanoines, collégiale de Saint-Germain-les-Belles (Haute-Vienne).
- Fig. 200 : piscine liturgique, rez-de-chaussée de la tour des chanoines, collégiale de Saint-Germain-les-Belles (Haute-Vienne).
- Fig. 201 : vue de la collégiale Saint-Martin et des bâtiments canoniaux depuis le nord. Cliché Jean-François Peiré, DRAC Occitanie.
- Fig. 202 : traces d'arrachement du mur de clôture au nord des bâtiments canoniaux, collégiale Saint-Martin.
- Fig. 203 : vue de la collégiale et des bâtiments canoniaux, avec la tour du doyen, vers 1886.
- Fig. 204 : schéma d'implantation actuelle des bâtiments canoniaux et de la collégiale Saint-Martin. Dessin Benoît Colombié, UDAP de Tarn-et-Garonne.

Fig. 205 : relevé de la façade nord-ouest des bâtiments canoniaux de Montpezat-de-Quercy.

Dessin Benoît Colombié et Lionel Mottin, UDAP de Tarn-et-Garonne.

Fig. 206 : relevé des façades sud-ouest des bâtiments canoniaux de Montpezat-de-Quercy.

Dessin Benoît Colombié et Lionel Mottin, UDAP de Tarn-et-Garonne.

Fig. 207 : relevé de la façade ouest des bâtiments canoniaux de Montpezat-de-Quercy.

Dessin Benoît Colombié et Lionel Mottin, UDAP de Tarn-et-Garonne.

Fig. 208 : vue de la cour intérieure du collège des chanoines de Montpezat en 1883.

Arch. Dép. Tarn-et-Garonne, Fonds de la société archéologique.

Fig. 209 : vue de la cour intérieure du collège des chanoines de Montpezat

Fig. 210 : porte du rez-de-chaussée d'une maison canoniale de Montpezat.

Fig. 211 : jour du rez-de-chaussée d'une maison canoniale de Montpezat.

Fig. 212: coupe schématique transversale d'une maison canoniale de Montpezat-de-Quercy.,

avec les différents niveaux de vie,

Fig. 213 : plan des différents niveaux d'une maison canoniale de Montpezat-de-Quercy. :

a : cave ; b : entresol ; c : premier étage ; d : second étage.

Dessin Isabelle Vidaillac et Lionel Mottin, UDAP de Tarn-et-Garonne.

Fig. 214 : logis de la rue de la Madeleine à Tours.

Fig. 215 : façade d'une maison canoniale de Provins.

Fig. 216 : cour de la maison canoniale dite de Sampzon, Viviers (Ardèche).

Fig. 217 : façade arrière d'une maison de Chartreux. Chartreuse du Val-de-Bénédiction, Villeneuve-les-Avignon (Gard).

Fig. 218 : espace de travail d'une maison de Chartreux. Chartreuse du Val-de-Bénédiction, Villeneuve-les-Avignon (Gard).

Fig. 219 : espace de repos d'une maison de Chartreux. Chartreuse du Val-de-Bénédiction, Villeneuve-les-Avignon (Gard).

Fig. 220 : tour du palais de la Raymondie, Martel (Lot).

Fig. 221 : tour du palais de Via, à Cahors (Lot).

Fig. 222 : restitution du palais cardinalice de Thurroye en 1410, Villeneuve-les-Avignon.

Dessin Bernard Sournia.

Fig. 223 : palais cardinalice de Thurroye, Villeneuve-les-Avignon. Écorché du corps nord sur

le tinel et l'*aula* de Bertrand de Deux Dessin Bernard Sournia.

Fig. 224 : vestiges du palais du cardinal d'Aux à La Romieu (Gers).

Fig. 225 : vue générale du site du Pouget en 2015.

Fig. 226 : le site du Pouget en 1967, avant la démolition des bâtiments principaux.
Collection particulière.

Fig. 227 : le site du Pouget en 1967, avant la démolition des bâtiments principaux.
En fond, le village de Castelnau-Montratier. Collection particulière.

Fig. 228 : détail du site du Pouget en 1963, avant la démolition des bâtiments principaux.
Collection particulière.

Fig. 229 : extrait du cadastre napoléonien de Montpezat-de-Quercy.
En bleu, l'ancien hôpital médiéval.

Fig. 230 : la collégiale Saint-Étienne-du-Tescou de Montauban, d'après un plan de 1526.
Le chevet plat est une mauvaise interprétation d'une lacune du copiste du XIX^e siècle.

Fig. 231 : plan de l'église des Junies (Lot).

Fig. 232 : plan de l'église des Jacobins de Toulouse.

Fig. 233 : détail du décor héraldique du rez-de-chaussée de la tour nord,
collégiale Saint-Pierre de la Romieu.

Fig. 234 : détail du décor héraldique du rez-de-chaussée de la tour nord,
collégiale Saint-Pierre de la Romieu.

Fig. 235 : gisant du cardinal Bertrand du Pouget.

Fig. 236 : armes de Bertrand du Pouget, qui ornaient la cuve de son tombeau.

Fig. 237 : fragment d'un angle de la cuve du tombeau de Bertrand du Pouget.

Fig. 238 : détail des armes de Bertrand du Pouget sculptées sur l'orfroi de la chasuble
de son gisant.

Fig. 239 : détail des armes du cardinal Gil Albornoz, sculptées sur son tombeau,
Tolède (Espagne).

Fig. 240 : armes de Pierre des Prés, tissu du milieu du XIV^e siècle, collégiale Saint-
Martin.

Fig. 241 : écu sculpté aux armes primitives des des Prés (?). Montpezat-de-Quercy,
collection particulière.

Fig. 242 : détail d'un folio du *Digestum* annoté par Pierre des Prés,
avec un dessin des armes primitives de sa famille (?).

Fig. 243 : tribune haute dans l'église Santa Maria Donnaregina de Naples.

Fig. 244 : tribune haute dans l'église du monastère de Pedralbes, Barcelone.

Fig. 245 : blocage de la porte de communication entre la sacristie et le chœur, réalisé avec
des fragments du jubé. Collégiale Saint-Martin. État en décembre 2016.

Fig. 246 : comblement de la fosse située dans la quatrième chapelle nord, réalisé avec
des fragments du jubé. Collégiale Saint-Martin. État en décembre 2016.

Fig. 247 : localisation des sondages archéologiques réalisés en 2005 dans la collégiale Saint-Martin. Plan Laurence Murat HADES.

Fig. 248 : plan des sondages archéologiques réalisés en 2005 dans la collégiale Saint-Martin. Plan Laurence Murat HADES.

Fig. 249 : marche découverte dans la fosse de la quatrième chapelle nord de la collégiale Saint-Martin en 2005.

Fig. 250: fragment du jubé (?) découvert dans la fosse de la quatrième chapelle nord de la collégiale Saint-Martin en 2005.

Fig. 251: second fragment du jubé (?) découvert dans la fosse de la quatrième chapelle nord de la collégiale Saint-Martin en 2005.

Fig. 252 : fragment du jubé réemployé en dalle de sol dans la première chapelle sud, collégiale Saint-Martin.

Fig. 253 : dépose d'une table d'autel posée sur champ et réemployée comme support de gisant. État en février 2017.

Fig. 254 : détail de l'enduit fin gris qui recouvre la table d'autel réemployée, collégiale Saint-Martin.

Fig. 255 : détail des trous d'empochement de la tribune, sur le mur nord du chevet de la collégiale Saint-Martin.

Fig. 256 : en noir, à droite, trace oblique de l'escalier qui montait à la tribune du chœur, collégiale Saint-Martin.

Fig. 257 : crémaillères de l'escalier d'accès à la tribune, réemployé en renfort des estrades des stalles. Collégiale Saint-Martin.

Fig. 258 : fragment du poteau de départ de l'escalier d'accès à la tribune.

Fig. 259 : la « Vierge aux colombes », collégiale Saint-Martin.

Fig. 260 : détail du visage de la « Vierge aux colombes ».

Fig. 261 : sainte Anne et la Vierge, sculpture provenant du jubé (?), collégiale Saint-Martin.

Fig. 262 : dos de la statue de sainte Anne et la Vierge, sculpture provenant du jubé (?), collégiale Saint-Martin.

Fig. 263 : traces de décor et de couleur sur la statue de sainte Anne et la Vierge, sculpture provenant du jubé (?), collégiale Saint-Martin.

Fig. 264 : détail d'un trou semi-circulaire sur un accotoir de stalle.

Fig. 265 : vue du revers des stalles avec le remontage de 1778.

Fig. 266 : détail d'une colonnette des stalles.

Fig. 267 : miséricorde avec une tête de fou, collégiale Saint-Martin.

Fig. 268 : deux miséricordes du XVIIe siècle, collégiale Saint-Martin.

Fig. 269 : détail de miséricordes avec un décor végétal. Collégiale Saint-Martin.

Fig. 270 : détail d'une miséricorde avec un décor végétal. Collégiale Saint-Martin.

Fig. 271 : détail d'une miséricorde avec un décor végétal.

Cathédrale Saint-Samson de Dol-de-Bretagne.

Fig. 272 : masque grimaçant, stalle de la collégiale Saint-Martin.

Fig. 273 : masque grimaçant, stalle de la collégiale Saint-Martin.

Fig. 274 : masque grimaçant, stalle de la cathédrale de Lisieux (Calvados).

Fig. 275 : masque grimaçant, stalle de la cathédrale de Lisieux (Calvados).

Fig. 276 : détail d'un faciès de monstre, stalle de la collégiale Saint-Martin.

Fig. 277 : détail d'un faciès de monstre, stalle de la collégiale Saint-Martin.

Fig. 278 : détails de faciès de monstres, stalles de la collégiale de Bard-le-Régulier.

Fig. 279 : détail d'une figure de chien, stalle de la cathédrale de Dol-de-Bretagne.

Fig. 280 : figure hybride, stalle de la collégiale Saint-Jacques de Liège.

Fig. 281 : figure hybride, stalle de la cathédrale Saint-Samson de Dol-de-Bretagne.

Fig. 282 : escargot, stalle de la collégiale Saint-Martin.

Fig. 283 : deux exemples d'escargots, *marginalia* du XIVe siècle.

Fig. 284 : tête d'homme portant un bassinet, stalle de la collégiale Saint-Martin.

Fig. 285 : tête d'homme portant un bassinet, B.M Avignon, ms. 00197, fol. 005 v.

Fig. 286 : tête d'homme coiffée d'un chaperon, collégiale Saint-Martin.

Fig. 287 : tête d'homme coiffée d'un chaperon, collégiale de Bard-le-Régulier.

Fig. 288 : tête d'homme coiffée d'un chaperon, collégiale de Bard-le-Régulier.

Fig. 289 : personnage hybride à tête de félin, collégiale Saint-Martin.

Fig. 290 : personnage hybride avec des oreilles d'âne, collégiale Saint-Martin.

Fig. 291 : personnage hybride avec des oreilles d'âne, *marginalia* d'un manuscrit du XIVe siècle.

Fig. 292 : stalles de la collégiale de Saint-Germain-les-Belles (Haute-Vienne).

Fig. 293 : chapelain en prière, collégiale Saint-Martin.

Fig. 294 : détail du visage du chapelain en prière, collégiale Saint-Martin.

Fig. 295 : figure d'apôtre, décor des jouées des stalles, collégiale Saint-Martin.

Fig. 296 : détails du vêtement de la figure d'apôtre, décor des jouées des stalles, collégiale Saint-Martin.

Fig. 297 : détail du visage de la figure d'apôtre, décor des jouées des stalles, collégiale Saint-Martin

Fig. 298 : saint Jacques, statue de Robert de Lannoy, ancien hôpital Saint-Jacques, musée du Louvre, Paris.

Fig. 299 : avers et revers des statuette qui décorent les parclozes des stalles, abbatale de la Chaise-Dieu (Haute-Loire)

Fig. 300 : vue générale de l'arc doubleau qui marque l'entrée du sanctuaire, collégiale Saint-Martin.

Fig. 301 : Christ en croix qui se trouvait primitivement sur la tribune du jubé, collégiale Saint-Martin.

Fig. 302 : vue générale de l'église de Saux avec en fond l'autel primitif en place.

Fig. 303 : la sortie du tombeau et l'Ascension, deux plaques de albâtre provenant de l'autel majeur de la collégiale Saint-Martin.

Fig. 304 : placard dans le mur du chevet de l'ancienne église du Pouget, état en 2015.

Fig. 305 : placard dans le mur sud du chevet de la collégiale de Saint-Germain-les-Belles.

Fig. 306 : vue générale de la portion de mur du chevet remontée, collégiale Saint-Martin.

Fig. 307 : détail de l'arrêt du décor peint à droite du bouleversement dans le mur sud -est du chevet, collégiale Saint-Martin.

Fig. 308 : détail de la partie basse d'un placard en bas du bouleversement dans le mur sud -est du chevet, collégiale Saint-Martin.

Fig. 309 : armoire aux reliques des abbatales de Saint-Nectaire et de Souvigny..

Fig. 310 : vestige du catafalque funèbre du cardinal Hugues Roger, collégiale de Saint-Germain-les-Belles.

Fig. 311 : tombeau de Bernard Brun, cathédrale de Limoges.

Fig. 312 : tombeau de l'évêque Gonçalo Pereira, cathédrale de Braga (Portugal).

Fig. 313 : tombeau de Raynaud de La Porte, cathédrale de Limoges.

Fig. 314 : vue du chœur des religieux avec au centre le tombeau de Clément VI, abbatale de La Chaise-Dieu.

Fig. 315 : dessin du tombeau de Pierre des Prés par le chanoine Léon Godefroy et publié en 1660 par François Duchesne.

Fig. 316 : vue générale du gisant de Pierre des Prés lors de sa dépose en février 2017.

Fig. 317 : vue latérale du gisant de Pierre des Prés lors de sa dépose en février 2017.

Fig. 318 : détail du gisant de Pierre des Prés.

Fig. 319 : détail des plis des vêtements du gisant de Pierre des Prés.

Fig. 320 : détail de la mitre du gisant de Pierre des Prés.

Fig. 321 : détail du gisant de Pierre des Prés.

Fig. 322 : détail du lion sur le gisant de Pierre des Prés.

Fig. 323 : détail du gisant de Pierre des Prés.

Fig. 324 : détail de la dorure sur le lion du gisant de Pierre des Prés.

Fig. 325 : photographie non datée qui montre des traces importantes de couleurs sur le gisant de Pierre des Prés. Arch. Dép. Tarn-et-Garonne, fonds de la SAHTG.

Fig. 326 : traces de couleur sur les cheveux du gisant du cardinal des Prés.

Fig. 327 : traces de dorure sur le poitrail du lion du gisant du cardinal des Prés,

Fig. 328 : traces de décor peint et doré sur la mitre du gisant du cardinal des Prés, collégiale Saint-Martin.

Fig. 329 : traces de décor peint et doré sur la mitre du gisant du cardinal des Prés, collégiale Saint-Martin.

Fig. 330 : traces de décor peint et doré sur le coussin du gisant du cardinal des Prés, collégiale Saint-Martin.

Fig. 331 : gisant du pape Clément V, collégiale de Uzeste.

Fig. 332 : obit de maître Pierre, ymagier de la Cour. Arch. Dép. Tarn-et-Garonne, G 790.

Fig. 333 : gisant du pape Clément VI, abbatale de la Chaise-Dieu

Fig. 334 : détail du décor peint sur le gisant de Clément VI.

Fig. 335 : détail des plis des vêtements du gisant de Clément VI.

Fig. 336 : détail de la sandale du gisant de Clément VI.

Fig. 337 : détail de la sandale du gisant de Pierre des Prés.

Fig. 338 : visage du pape Clément VI, détail de son gisant.

Fig. 339 : gisant du cardinal Nicolas Roger, abbatale de la Chaise-Dieu.

Fig. 340 : détail du gisant du cardinal Nicolas Roger, abbatale de la Chaise-Dieu.

Fig. 341 : détail du lion du gisant du cardinal Nicolas Roger.

Fig. 342 : gisant de Jean de Marigny, collégiale Notre-Dame d'Écouis.

Fig. 343 : détail des armes du cardinal Pierre Gauvain, église de Bellac.

Fig. 344 : tombeau de cò ur du cardinal Pierre Gauvain, église de Bellac.

Fig. 345 : détail de l'ælevatio anima du cardinal Pierre Gauvain.

Fig. 346 : détail du coffre rectangulaire du tombeau de cò ur du cardinal Pierre Gauvain.

Fig. 347 : fontaine avec des armes proches de celles du cardinal Pierre Gauvain, Mortemart, ancien couvent des Augustins.

Fig. 348 : détails de reliques conservées dans le trésor de la collégiale Saint-Martin.

Fig. 349 : gisant de Jean des Prés, collégiale Saint-Martin.

Fig. 350 : détail du lion bûché du gisant de Jean des Prés.

- Fig. 351 : détail du visage du gisant de Jean des Prés.
- Fig. 352 : détail du décor d'une sandale du gisant de Jean des Prés.
- Fig. 353 : détail d'un reste de couleur bleue sur le gisant de Jean des Prés.
- Fig. 354 : détail d'un reste de couleur rouge sur le gisant de Jean des Prés.
- Fig. 355 : détail du décor du gisant de Clément V, collégiale d'Uzeste.
- Fig. 356 : gisant de Guillaume Durand de Mende, Toulouse, musée des Augustins.
- Fig. 357 : gisant du cardinal Bernard de Garves (?), église de Sainte-Livrade-sur-Lot.
- Fig. 358 : le reliquaire dit « aux anges » vers 1920. Cliché DRAC Occitanie, Jean-François Peiré.
- Fig. 359 : revers du reliquaire dit « aux anges » vers 1920. Cliché DRAC Occitanie, Jean-François Peiré.
- Fig. 360 : reliquaire conservé dans l'église de Saint-Polycarpe (Aude).
Cliché médiathèque de l'architecture et du patrimoine.
- Fig. 361 : diptyque reliquaire anciennement conservé dans le trésor de la collégiale de Montpezat.
- Fig. 362 : buste reliquaire anciennement conservé dans le trésor de la collégiale de Montpezat, en cours de restauration, vers 1956.
- Fig. 363 : buste reliquaire de sainte Marthe, Conques, abbaye Sainte-Foy, (Aveyron).
- Fig. 364 : buste reliquaire de Saint-Alvère (Dordogne).
- Fig. 365 : vue générale du diptyque reliquaire de Montpezat.
- Fig. 366 : vue du diptyque reliquaire de Montpezat fermé.
- Fig. 367 : détail du décor externe du diptyque reliquaire de Montpezat.
- Fig. 368 : diptyque du Calvaire, Ambrogio Lorenzotti, musée du Petit-Palais, Avignon.
- Fig. 369 : détail d'une miniature du diptyque reliquaire de Montpezat.
- Fig. 370 : vue générale des *loculi* à reliques du diptyque reliquaire.
- Fig. 371 : diptyque de Polignac, le Puy-en-Velay.
Cliché médiathèque de l'architecture et du patrimoine.
- Fig. 372 : croix du trésor de Montpezat, aujourd'hui à la cathédrale de Montauban.
Cliché Jean-François Peiré, DRAC Occitanie.
- Fig. 373 : coffret reliquaire du Saint-Voile, église Saint-Jacques de Puylaroque (Tarn-et-Garonne).
- Fig. 374 : détail du décor de nacre et d'argent du reliquaire du Saint-Voile.
- Fig. 375 : chef-reliquaire de saint Martin dit de Soudeilles,
Musée du Louvre, Paris.
- Fig. 376 : détail des armoiries qui figurent sur le reliquaire du Saint-Voile.

- Fig. 377 : détail du textile qui garnit l'intérieur du reliquaire du Saint-Voile.
- Fig. 378 : poinçon de la Curie sous Clément VI sur la croix du reliquaire du Saint-Voile
- Fig. 379 : fragment du triptyque de la Vierge de miséricorde, collégiale Saint-Martin.
- Fig. 380 : détail du fragment du triptyque de la Vierge de miséricorde, collégiale Saint-Martin.
- Fig. 381 : détail du fragment du triptyque de la Vierge de miséricorde, collégiale Saint-Martin.
- Fig. 382 : détail du fragment du triptyque de la Vierge de miséricorde, collégiale Saint-Martin.
- Fig. 383 : Vierge de miséricorde, missel et livre d'heures franciscain (1380), Paris, BnF, ms. lat. 757, fol. 251.
- Fig. 384 : Simone Martini, Vierge de miséricorde, Sienne pinacothèque.
- Fig. 385 : Lippo Memmi, Vierge de miséricorde, vers 1350, fresque, Chapelle du caporal, Duomo, Orvieto.
- Fig. 386 : Vierge en ivoire offerte à la collégiale de Villeneuve-les-Avignon par le cardinal Arnaud de Via. Cliché conservation départementale des musées du Gard.
- Fig. 387 : page de livre de chœur, Arch. Dép. Tarn-et-Garonne, G 775.
- Fig. 388 : folio 20 de l'Antiphonaire de Poissy Melbourne, State Library of Victoria, Ms 096.1 R66A.
- Fig. 389 : page de la Bible, Arch. Dép. Tarn-et-Garonne, G 788.
- Fig. 390 : détail d'une lettrine sur une page de la Bible, Arch. Dép. Tarn-et-Garonne, G 788.
- Fig. 391 : initiale extraite du pontifical de Guillaume Durand Aix-en-Provence, bibliothèque municipale, ms. 013
- Fig. 392 : initiale extraite du bréviaire à l'usage d'Apt Avignon, bibliothèque municipale, ms. 0126.
- Fig. 393 : croix du cardinal Godin, Toulouse, musée des Augustins.
- Fig. 394 : coffret de mariage, don de Jacqueline de Cardaillac, collégiale Saint-Martin
- Fig. 395 : la tenture de la vie de saint Martin, déployée dans le chœur de la collégiale de Monpezat.
- Fig. 396 : aumônière offerte par Jeanne de Brus, collégiale Saint-Martin.



Fig. 1 : carte des sites étudiés dans la thèse.



Fig. 2 : vue aérienne de l'église et du prieuré d'Espagnac-Sainte-Eulalie (Lot).



Fig. 3 : tombeau d'Aymeric Hébrard dans l'église d'Espagnac-Sainte-Eulalie (Lot).



Fig. 4 : le manoir de la Borde des Prés, façade sud, commune de Montpezat-de-Quercy.

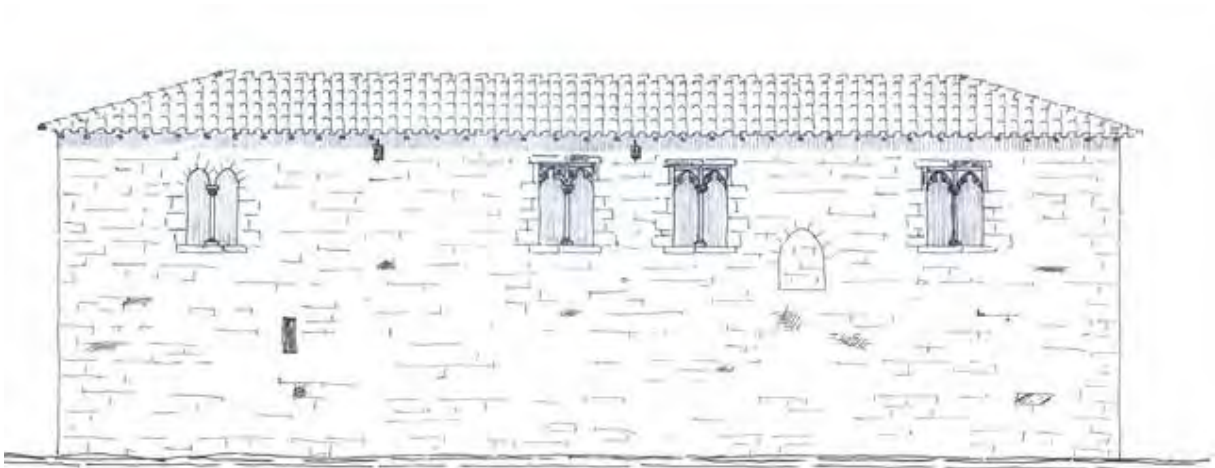


Fig. 5 : le manoir de la Borde des Prés, relevé de la façade nord. UDAP 82.

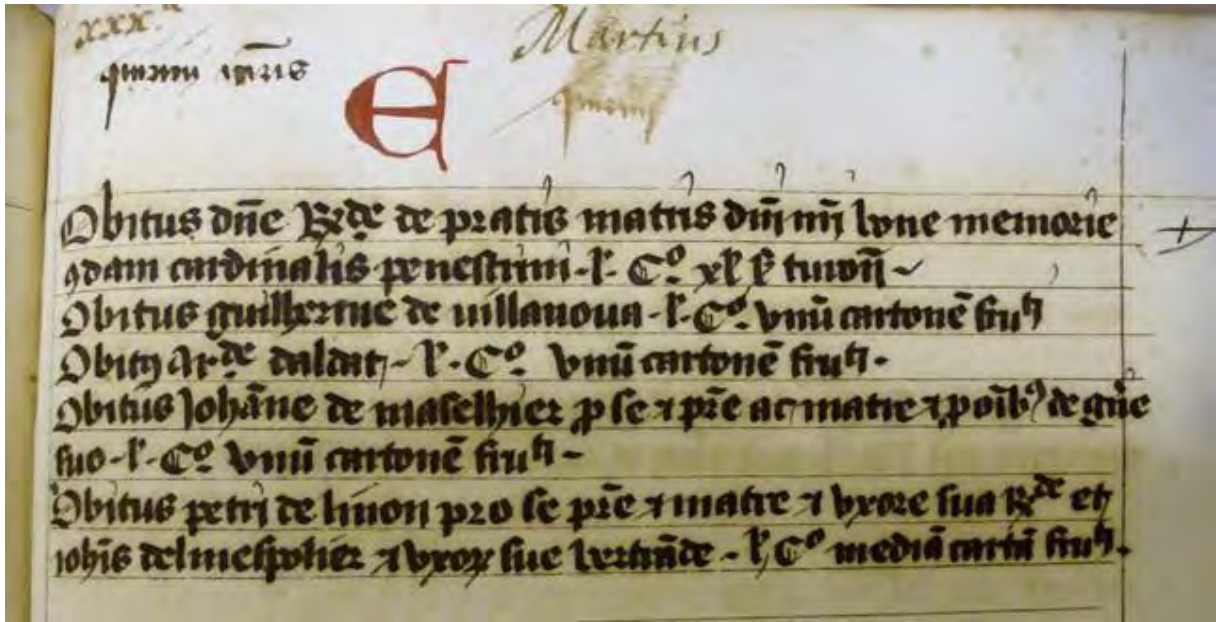


Fig. 6 : obit de Raymonde des Prés, mère du cardinal. Arch. Dép. Tarn-et-Garonne, G 790.



Fig. 7 : Détail d'un folio du volume du *Digestum* de Justinien annoté par le cardinal des Prés. Paris, B.N.F., Ms latin 4486 A.

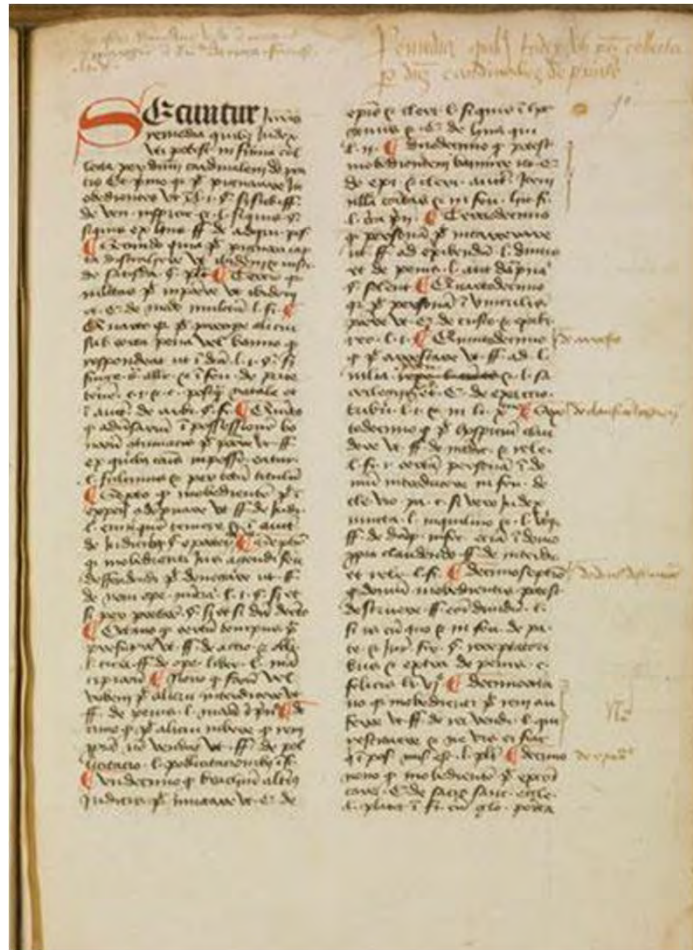


Fig.8 : copie du XV^e siècle de l'ouvrage *Remedia quibus iudex uti potest* composé par Pierre des Prés. Toulouse, bibliothèque municipale, ms. 0377, fol. 90.



Fig. 9 : sceau de l'auditeur des lettres contredites sous Jean XXII. Arch. Dép. Tarn-et-Garonne, G 573-5.

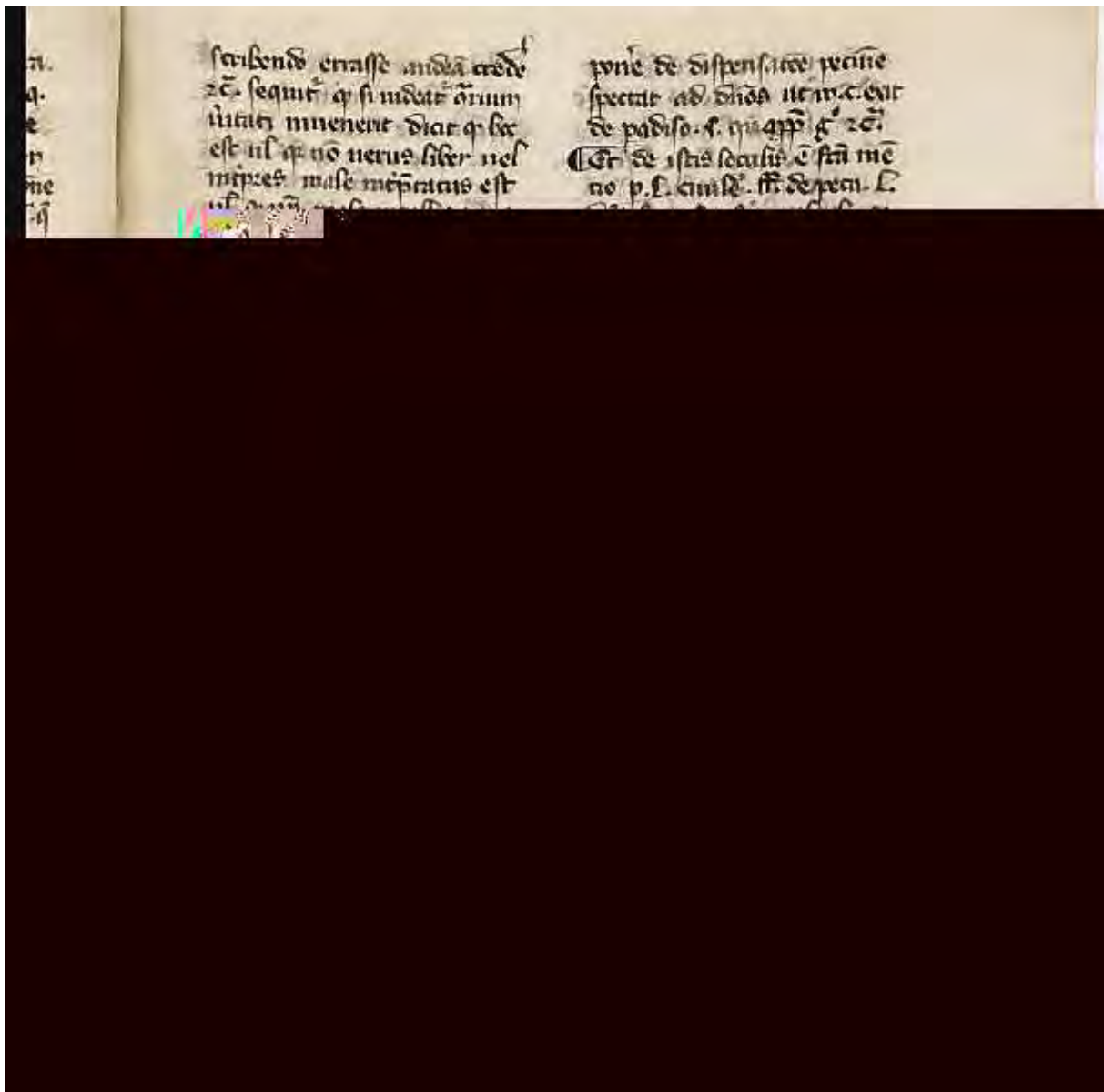


Fig. 10 : copie de la réponse du cardinal des Prés sur la question de la pauvreté du Christ.
Archives du Vatican, ms. Vat. Lat. 3740, fol. 91.



Fig. 11 : mention de la consécration de John de Grandisson par Pierre des Prés en 1328.
Psautier Grandisson, Londres, British Library.

Impossible d'afficher l'image.

Fig. 12 : sceau de Pierre des Prés, cardinal évêque de Palestrina.
Belgique, archives générales du Royaume, n° 8007.



Fig. 13 : armes de John de Grandisson, peintes sur un folio de son psautier.
Londres, British Library.



Fig.14 : anneau de John de Grandisson, cathédrale d'Exeter.



Fig. 15 : la collégiale Notre-Dame d'Ottery Saint Mary, Grande Bretagne, Devon.



Fig. 16 : console figurant le buste de l'évêque John de Grandisson, collégiale Notre-Dame, Ottery Saint Mary, Grande-Bretagne, Devon.



Fig. 17 : détail d'un exemplaire du *Repertorium morale* de Pierre Bersuire, daté du XIV^e siècle. Pris, Bibliothèque Mazarine, ms 0291-1.



Fig. 18 : incipit du *Roman des deduis de la chasse*, Gâce de La Bigne, exemplaire du XV^e siècle

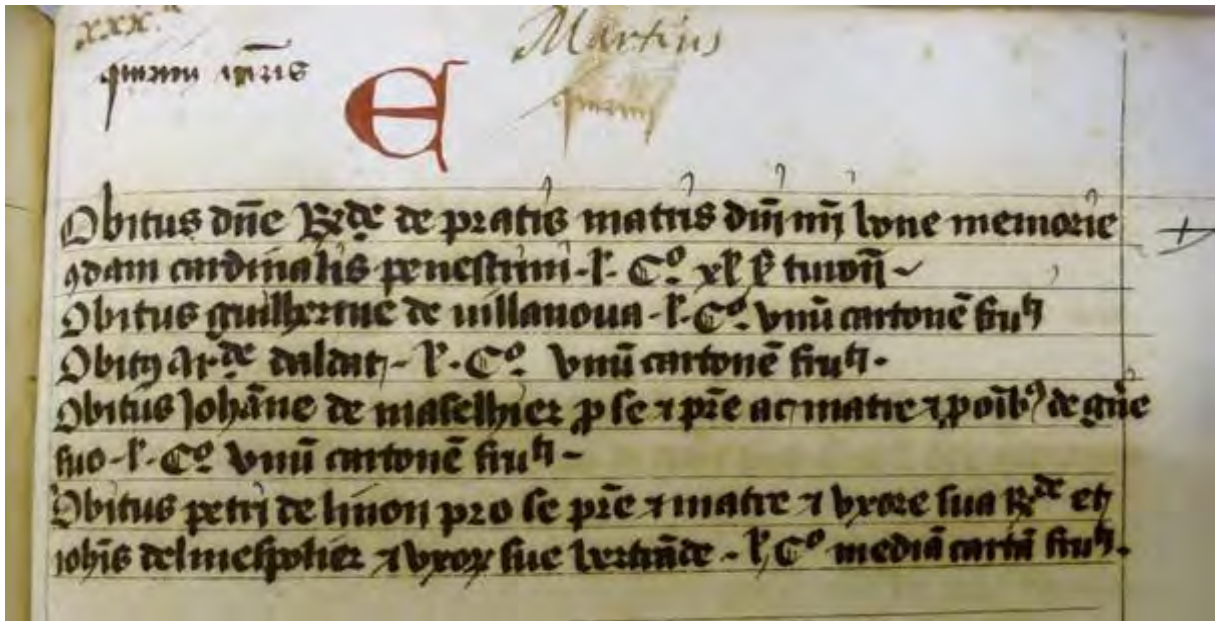


Fig. 19 : obit de Raymonde des Prés, mère du cardinal de Palestrina.
 Arch. Dép. Tarn-et-Garonne, G 790.

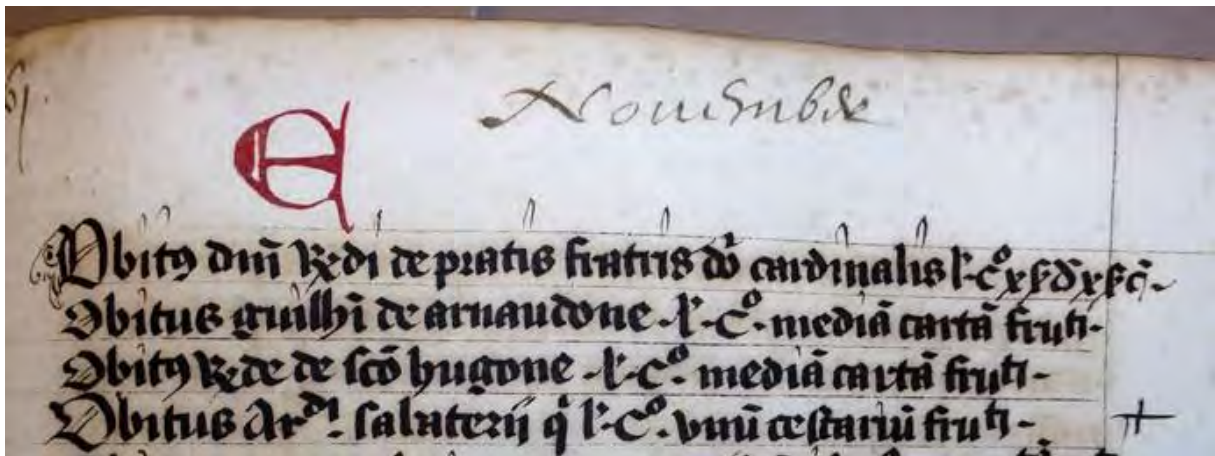


Fig. 20 : obit de Raymond des Prés, frère du cardinal de Palestrina.
 Arch. Dép. Tarn-et-Garonne, G 790.

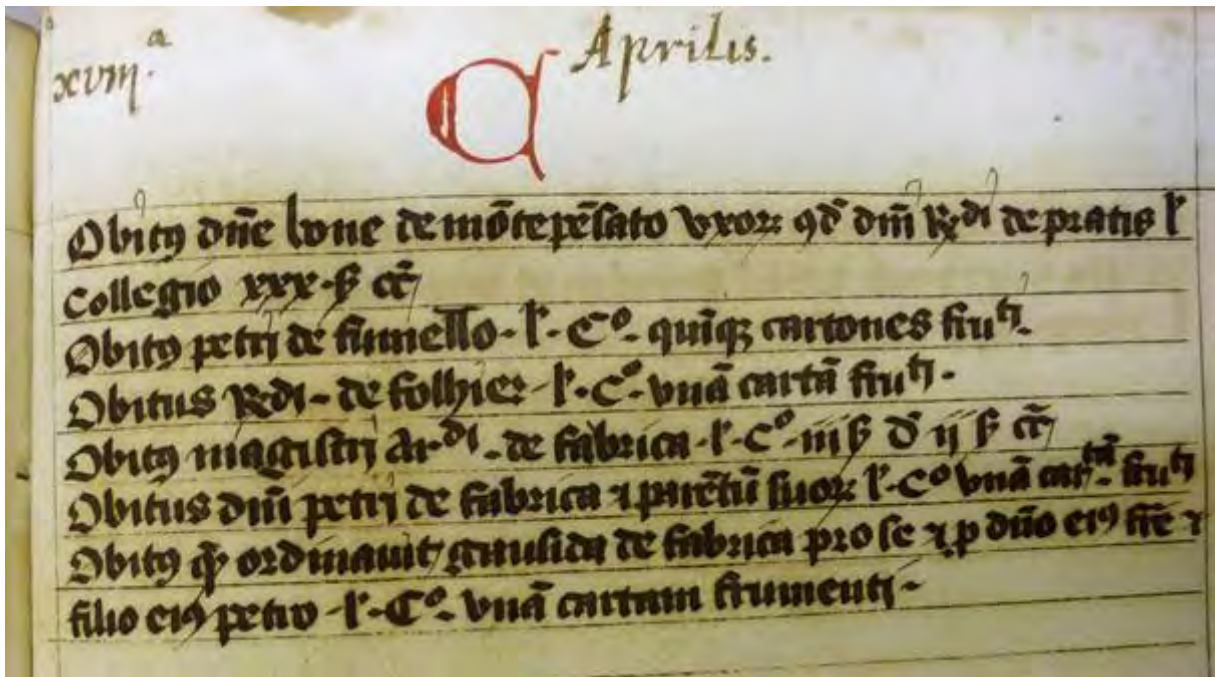


Fig. 21 : obit de Bonne de Montpezat, femme de Raymond des Prés.
Arch. Dép. Tarn-et-Garonne, G 790.

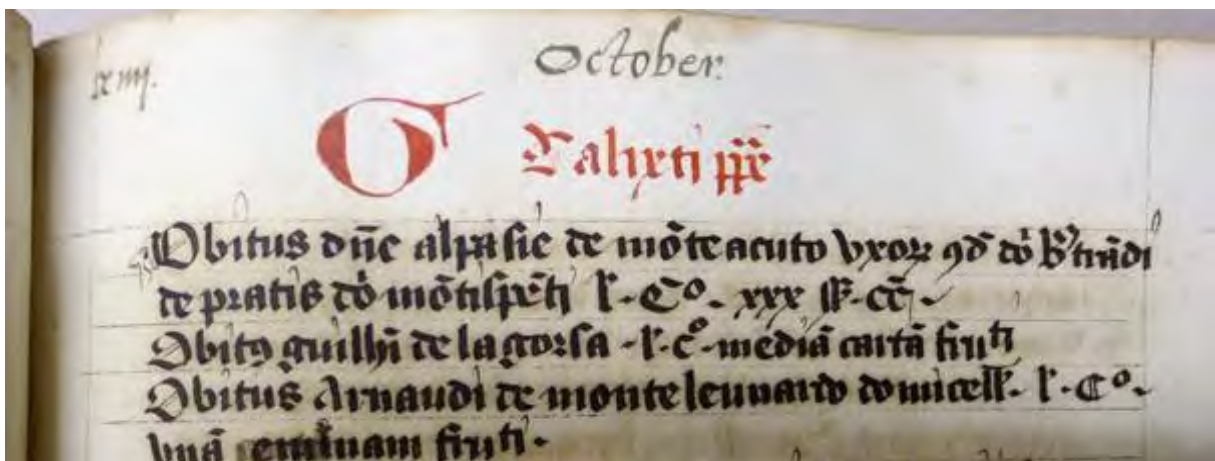


Fig. 22 : obit de Alpaisie de Montaignut, femme de Bertrand des Prés.
Arch. Dép. Tarn-et-Garonne, G 790.



Fig. 23 : obit de Pierre-Raymond des Prés, petit-neveu du cardinal des Prés.
Arch. Dép. Tarn-et-Garonne, G 790.

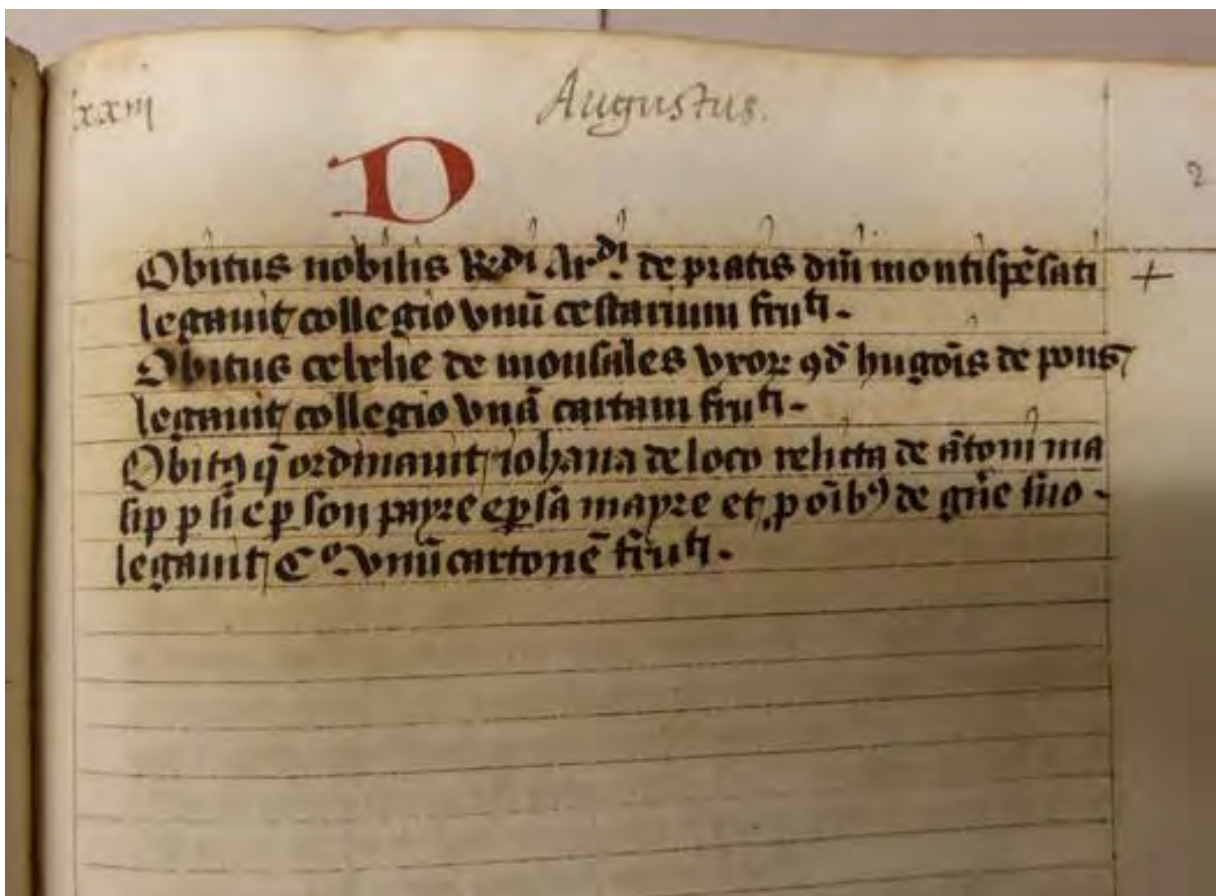


Fig. 24 : obit de Raymond-Arnaud des Prés, petit-neveu du cardinal des Prés.
Arch. Dép. Tarn-et-Garonne, G 790.

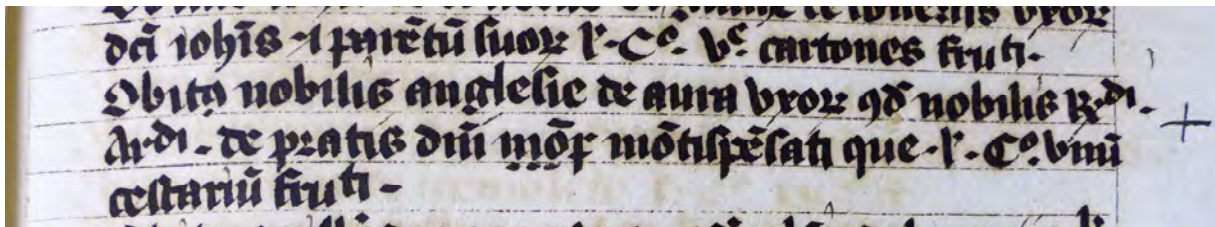


Fig. 25 : obit d'Anglésie d'Aure, femme de Raymond-Arnaud des Prés.
Arch. Dép. Tarn-et-Garonne, G 790.

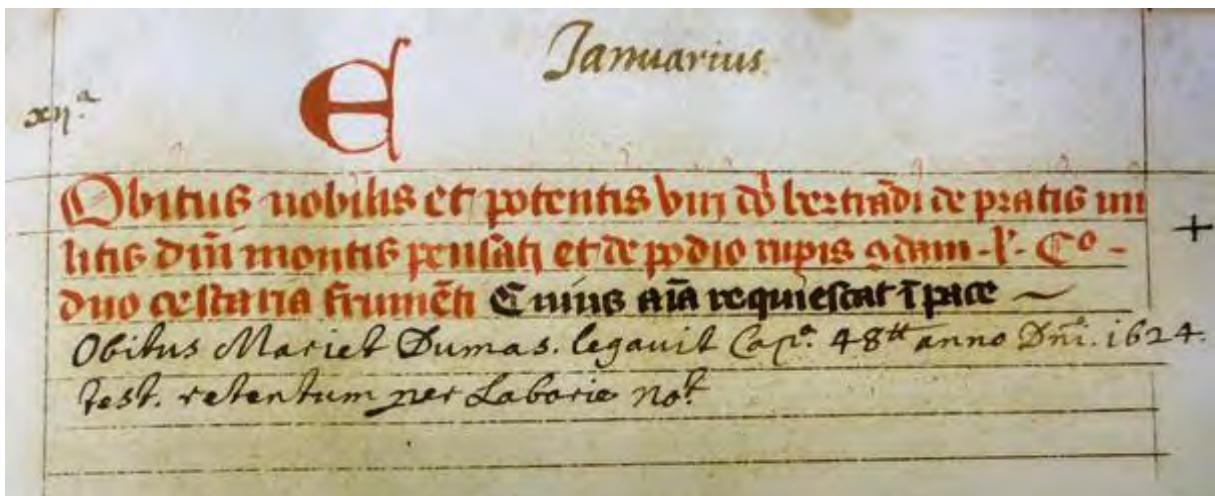


Fig. 26 : obit de Bertrand des Prés, fils de Raymond-Arnaud des Prés.
Arch. Dép. Tarn-et-Garonne, G 790.

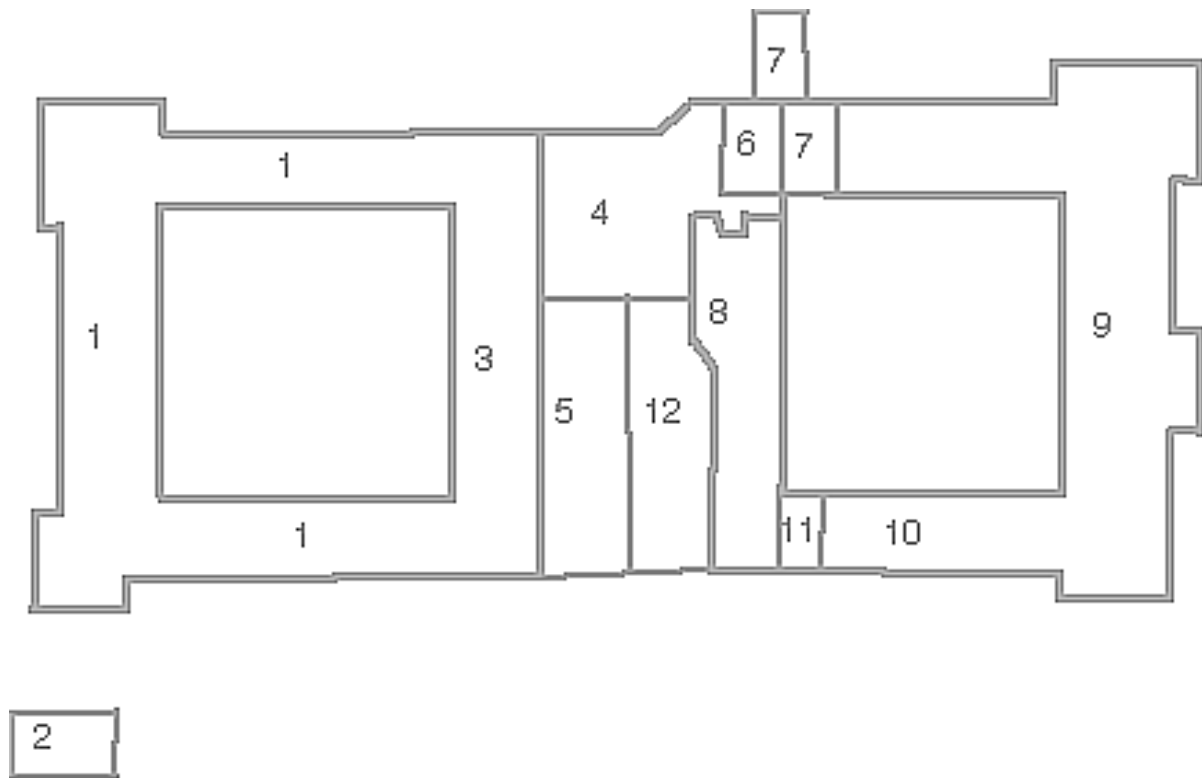


Fig. 27 : Plan schématique des couvents de Mortemart en 1824.

- 1 ô Ancien couvent des Carmes
- 2 ô Hôpital
- 3 ô Emplacement de l'église des Carmes
- 4 ô Emplacement de l'église du Moutier
- 5 ô Emplacement du cimetière des Carmes
- 6 ô Emplacement de la chapelle du Cardinal
- 7 ô Emplacement de constructions appartenant aux Augustins
- 8 ô Église des Augustins
- 9 ô Couvent des Augustins
- 10 ô Séminaire
- 11 ô Parloir sous le clocher
- 12 ô Emplacement du cimetière des Augustins



Fig. 28 : Mortemart (Haute-Vienne), vue générale de l'église des Augustins.



Fig. 29 : Mortemart (Haute-Vienne), façade occidentale de l'église des Augustins.



Fig. 30: Mortemart (Haute-Vienne), culot sculpté du portail de la façade occidentale de l'église des Augustins



Fig. 31 : Mortemart (Haute-Vienne), chapiteaux du portail de la façade occidentale de l'église des Augustins.



Fig. 32 : croix pectorale du cardinal des Prés, argent, poinçon de la Curie
sous le pape Clément VI,
Avignon, 1342-1352, commune de Puylaroque (Tarn-et-Garonne)..

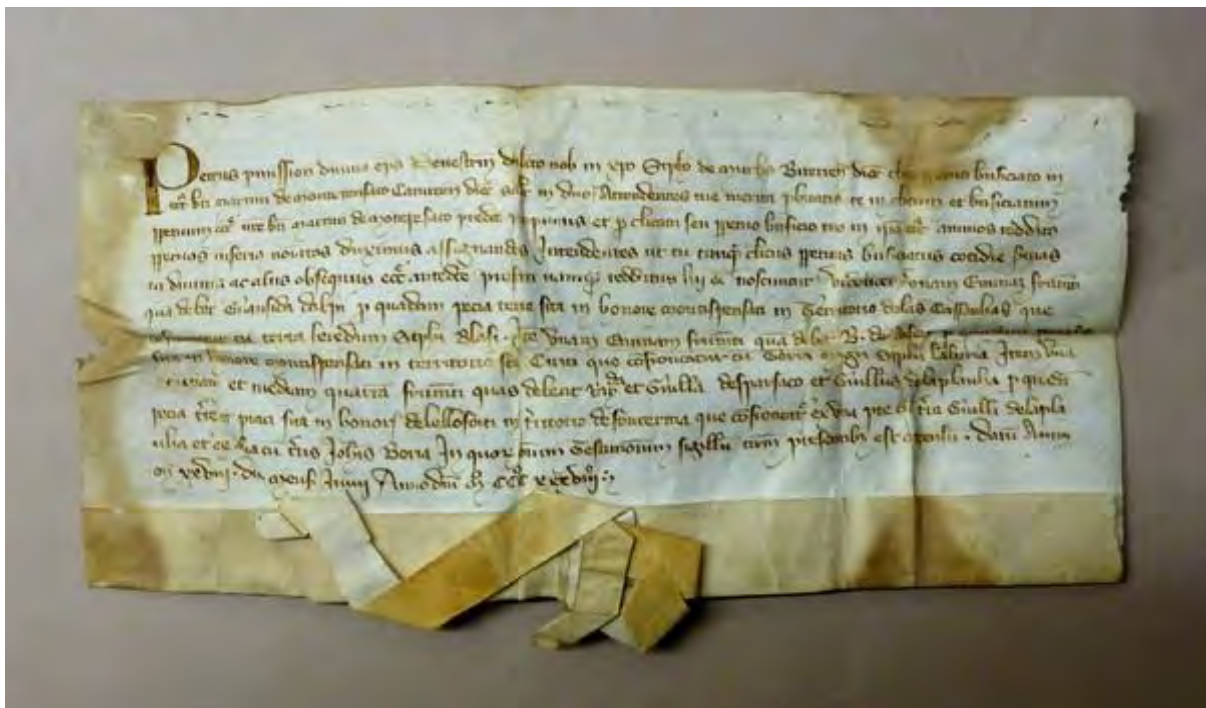


Fig. 33 : Pierre des Prés nommé Étienne de Murles chapelain perpétuel à Montpezat le 28 juin 1338.
Arch. Dép. Tarn-et-Garonne, G 783.

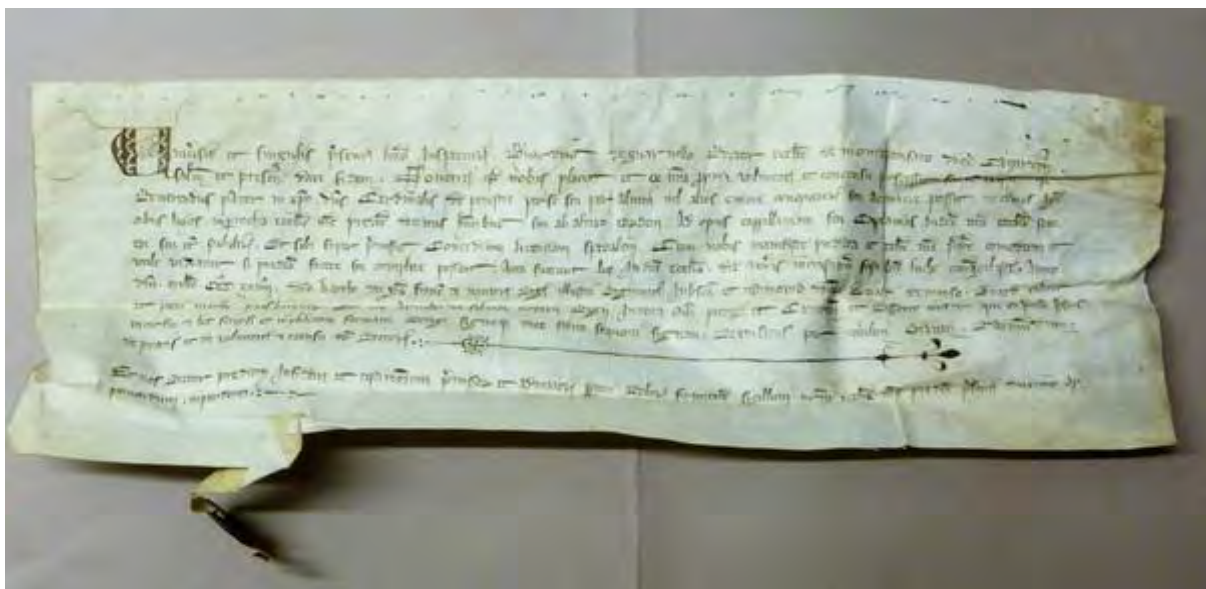


Fig. 34 : autorisation donnée au cardinal des Prés d'acquérir des dîmes dans la paroisse de Montpezat par Bernard de Guarnel, le 19 octobre 1324.
Arch. Dép. Tarn-et-Garonne, G 783.



Fig. 35 : détail du fragment du sceau de Bernard de Garnel, curé de Montpezat en 1324.
Arch. Dép. Tarn-et-Garonne, G 783.



Fig. 36 : lettres patentes du roi Philippe VI en faveur de Pierre des Prés,
datée de septembre 1330.
Arch. Dép. Tarn-et-Garonne, G 785.



Fig. 37 : acte de consécration de l'église Saint-Just-et-Saint-Pasteur, 1324.
Arch. Dép. Tarn-et-Garonne, G 784.

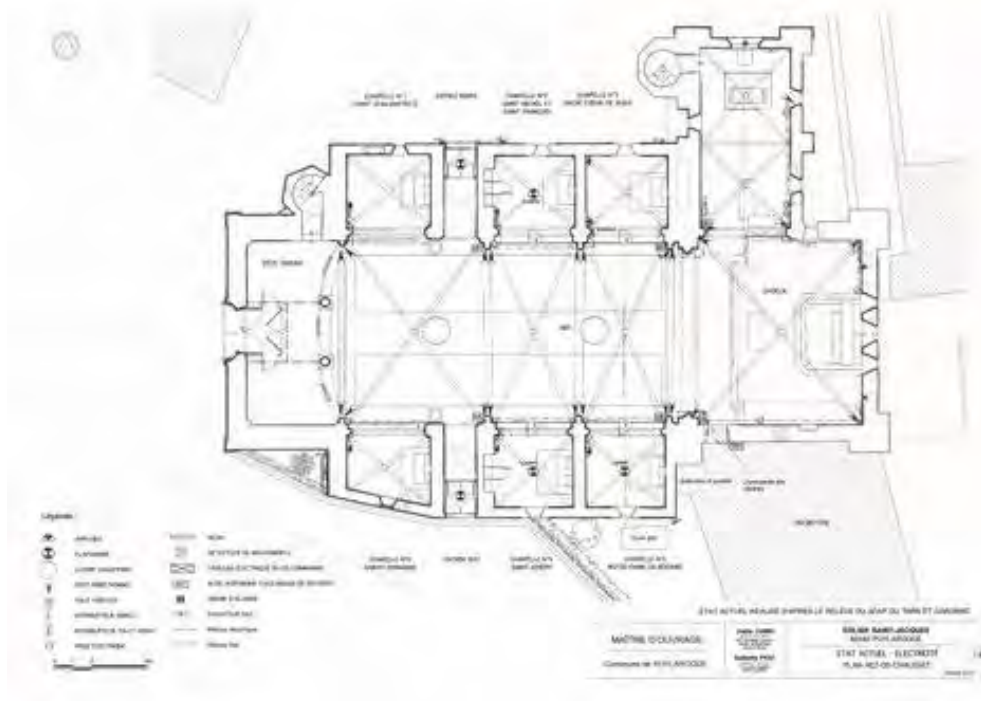


Fig. 38 : plan de l'église Saint-Jacques de Puylaroque,
avec au nord la chapelle Notre-Dame de Grâce.
UDAP de Tarn-et-Garonne.



Fig. 39 : la chapelle Notre-Dame de Grâce de Puylaroque vue depuis le versant nord.



Fig. 40 : armoiries de Bernard Carit, chapelle Notre-Dame de Grâce, Puylaroque.



Fig. 41 : collégiale Saint-Jean-Saint-Louis de Castelnau-Bretenoux.



Fig. 42 : détail de la verrière qui figure Jean II de Castelnau-Caylus, collégiale Saint-Jean-Saint-Louis de Castelnau-Bretenoux



Fig. 43 : plan d'Avignon au Moyen Âge. En rouge, la collégiale Saint-Pierre.

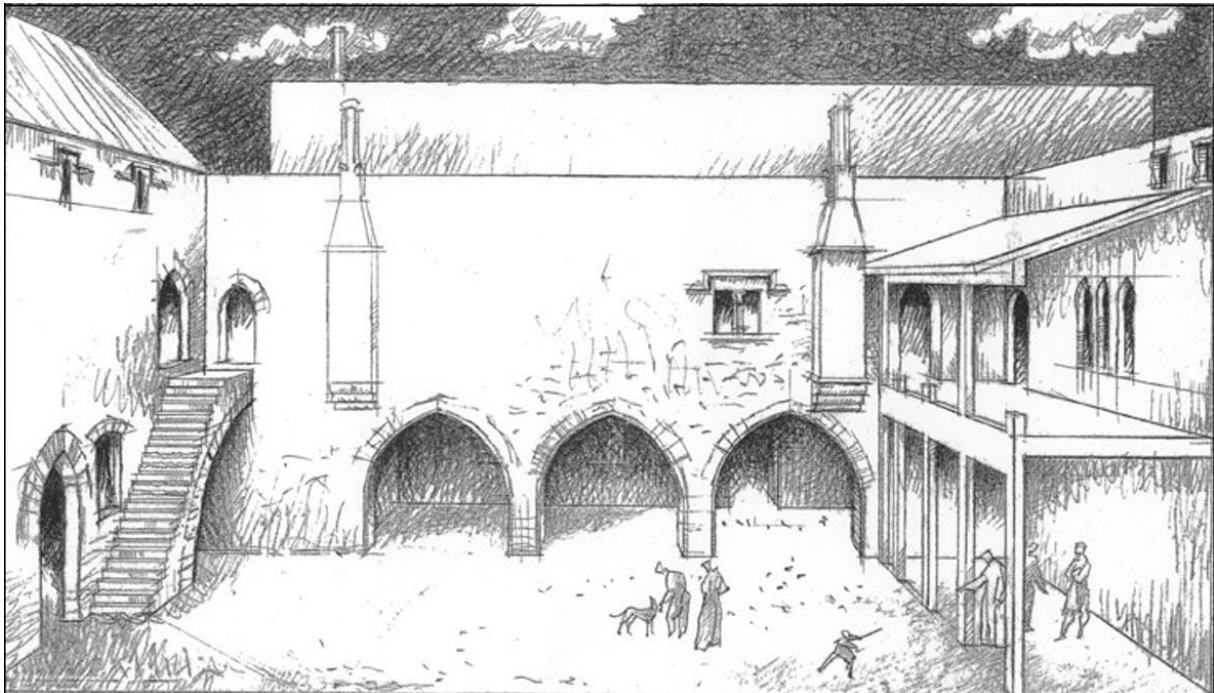


Fig. 44 : exemple d'une cour d'un palais cardinalice à Villeneuve-les-Avignon, celui de Bertrand de Déaux. Dessin Bernard Sournia.



Fig. 45 : puits du palais de Pierre des Prés à Villeneuve-les-Avignon.



Fig. 46 : vestiges de la demeure de Pierre des Prés, évêque de Castres, à Villeneuve-les-Avignon (corps de logis oriental).
Cliché Bernard Sournia.



Fig. 47 : Vue générale du palais de Bertrand du Pouget à Villeneuve-les-Avignon.



Fig. 48 : le chevet et le clocher de la collégiale Saint-Pierre d'Avignon.



Fig. 49 : nef de la collégiale Saint-Pierre d'Avignon.



Fig. 50 : vue de l'abside et de la retombée des voûtes, collégiale Saint-Pierre d'Avignon.

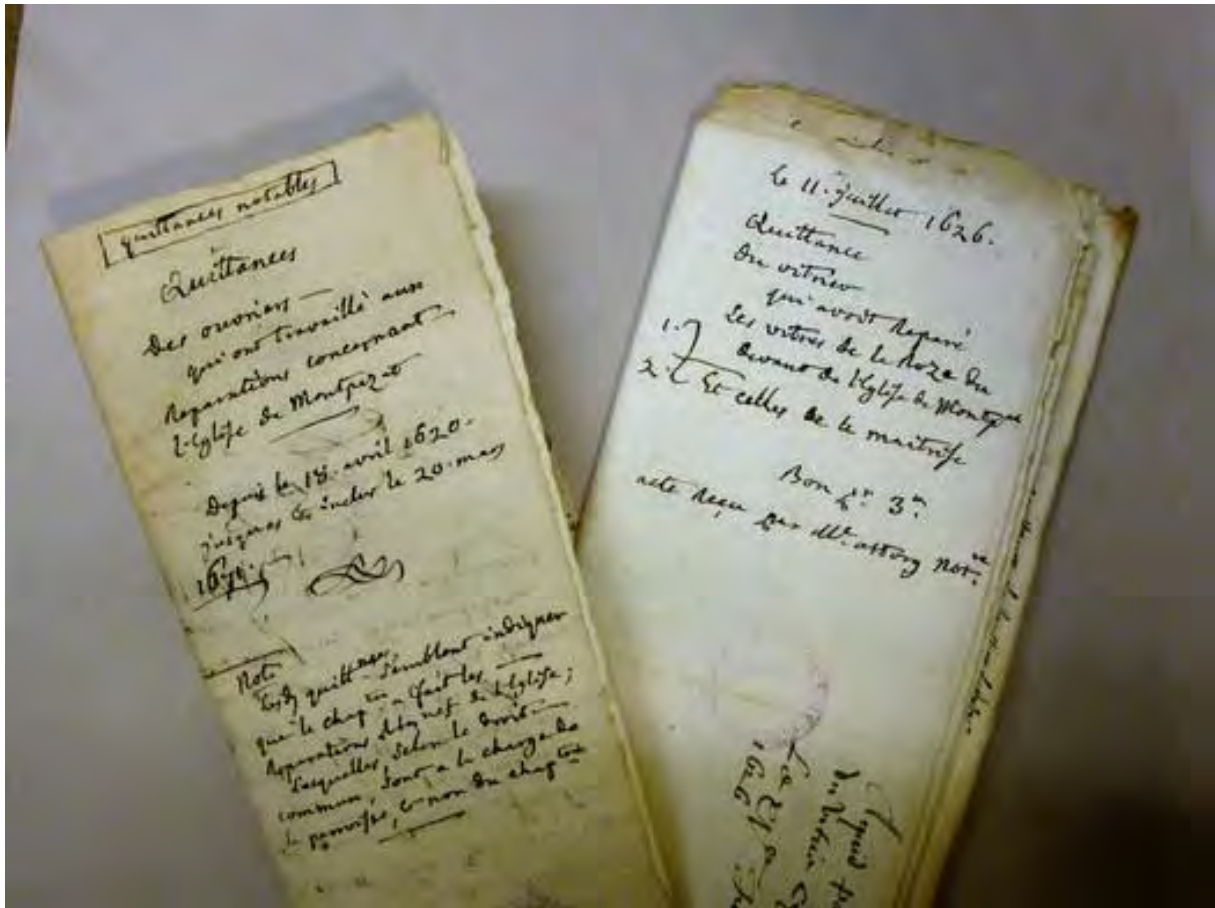


Fig. 51 : exemples de quittances de travaux pour la collégiale en 1620 et 1626.
 Arch. Dép. Tarn-et-Garonne, G 850.



Fig. 52 : première page de l'inventaire des archives de la collégiale de Montpezat,
 daté de 1626.
 Arch. Dép. Tarn-et-Garonne, G 789.



Fig. 53 : première page du contrat passé entre Montreuil et le chapitre collégial de Montpezat en 1777.
Arch. Dép. Tarn-et-Garonne, G 782.



Fig. 54 : la façade principale de la collégiale Saint-Martin avant les travaux de Charles Potdevin en 1911.
Arch. Dép. Tarn-et-Garonne, fonds de la Société Archéologique.

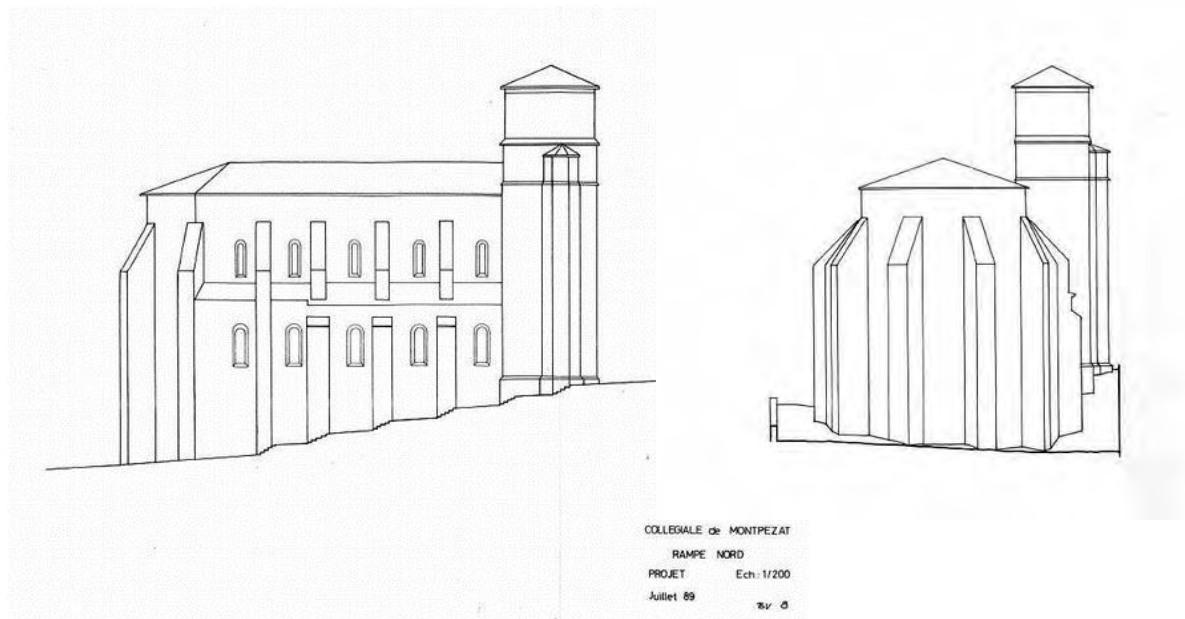


Fig. 55 : plan schématique des aménagements du versant nord de la collégiale Saint-Martin. Bernard Voinchet, ACMH, juillet 1989. UDAP de Tarn-et-Garonne

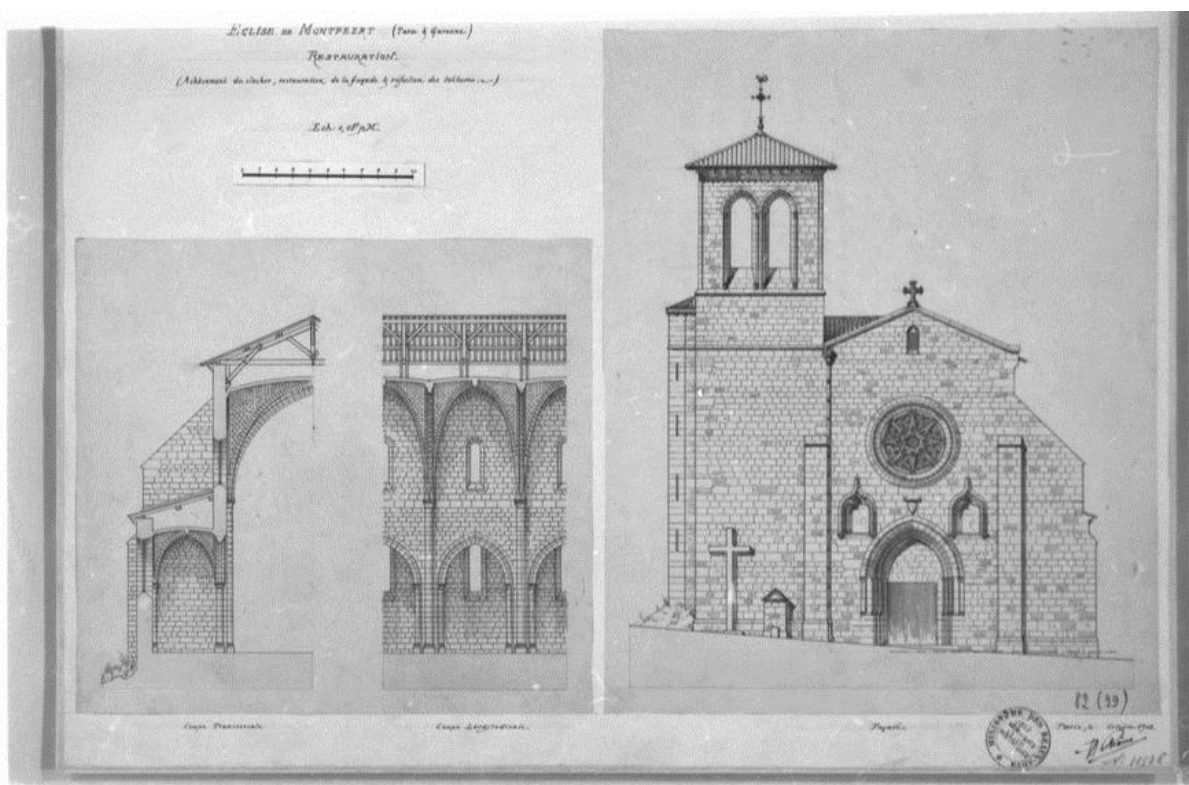


Fig. 56 : projet de restauration du clocher de Montpezat par Henri Chaine, 1909. Médiathèque de l'architecture et du patrimoine.



Fig. 57 : vue générale de la collégiale Saint-Martin, aquarelle d'Alexandre Du Mège (?), Arch. Dép. Tarn-et-Garonne, 3 J 7.



Fig. 58 : détail de la tenure de chò ur du XVI^e siècle de la collégiale Saint-Martin, aquarelle d'Alexandre Du Mège (?). Arch. Dép. Tarn-et-Garonne, 3 J 7.



Fig. 59 : les deux gisants de la collégiale Saint-Martin, vu par Alexandre du Mège en 1821

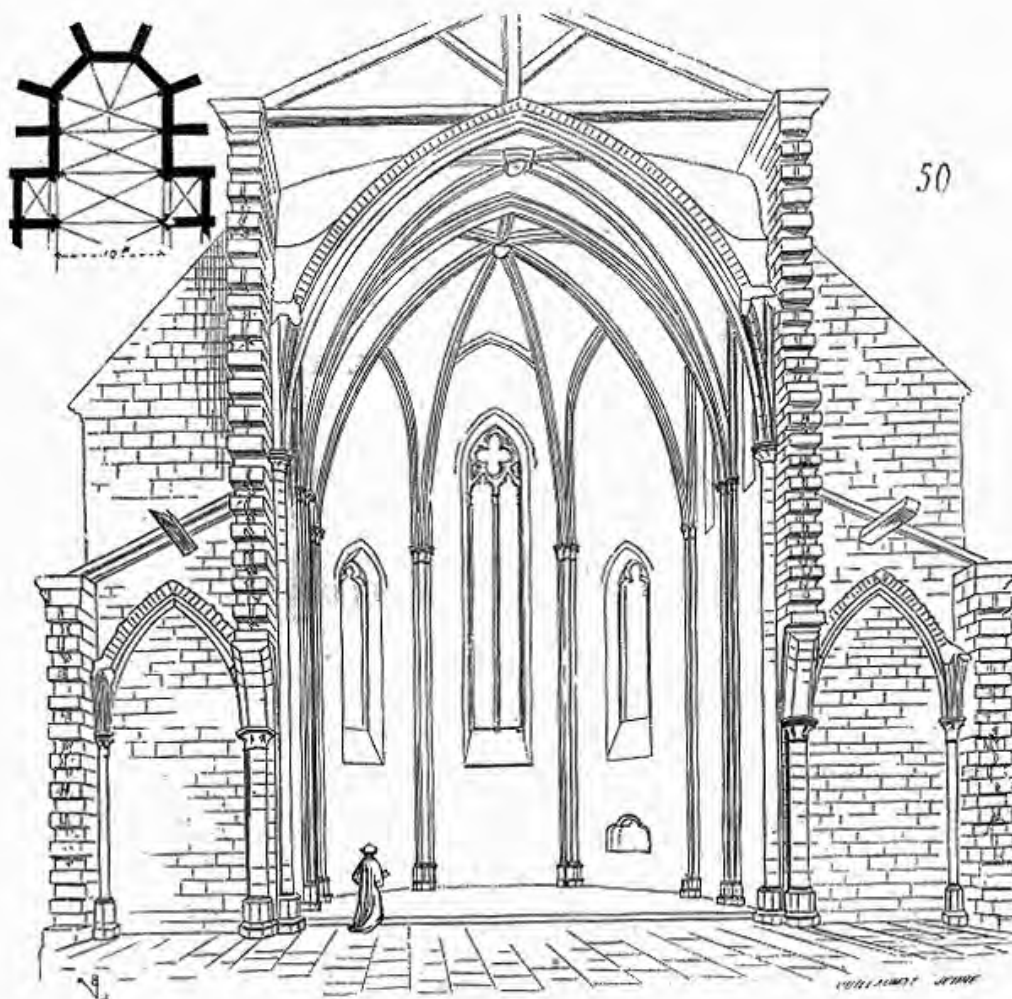


Fig. 60 : Coupe et plan de la collégiale Saint-Martin, dressés par Viollet-le-Duc en 1841.



Fig. 61 : vue de la collégiale Saint-Martin par Anatole de Rouméjoux, 1882.
Bibliothèque municipale de Périgueux, A12P24.



Fig. 62 : vue de la collégiale prise depuis le nord, vers 1860.
Arch. Dép. Tarn-et-Garonne, fonds de la Société Archéologique.



Fig. 63 : vue de la collégiale prise depuis le sud par l'abbé Faubin en 1886.
Arch. Dép. Tarn-et-Garonne, fonds de la Société Archéologique.



Fig. 64 : vue générale de la collégiale depuis le sud, avant 1925, par Georges Estève.
Médiathèque de l'architecture et du patrimoine, MH0079324.

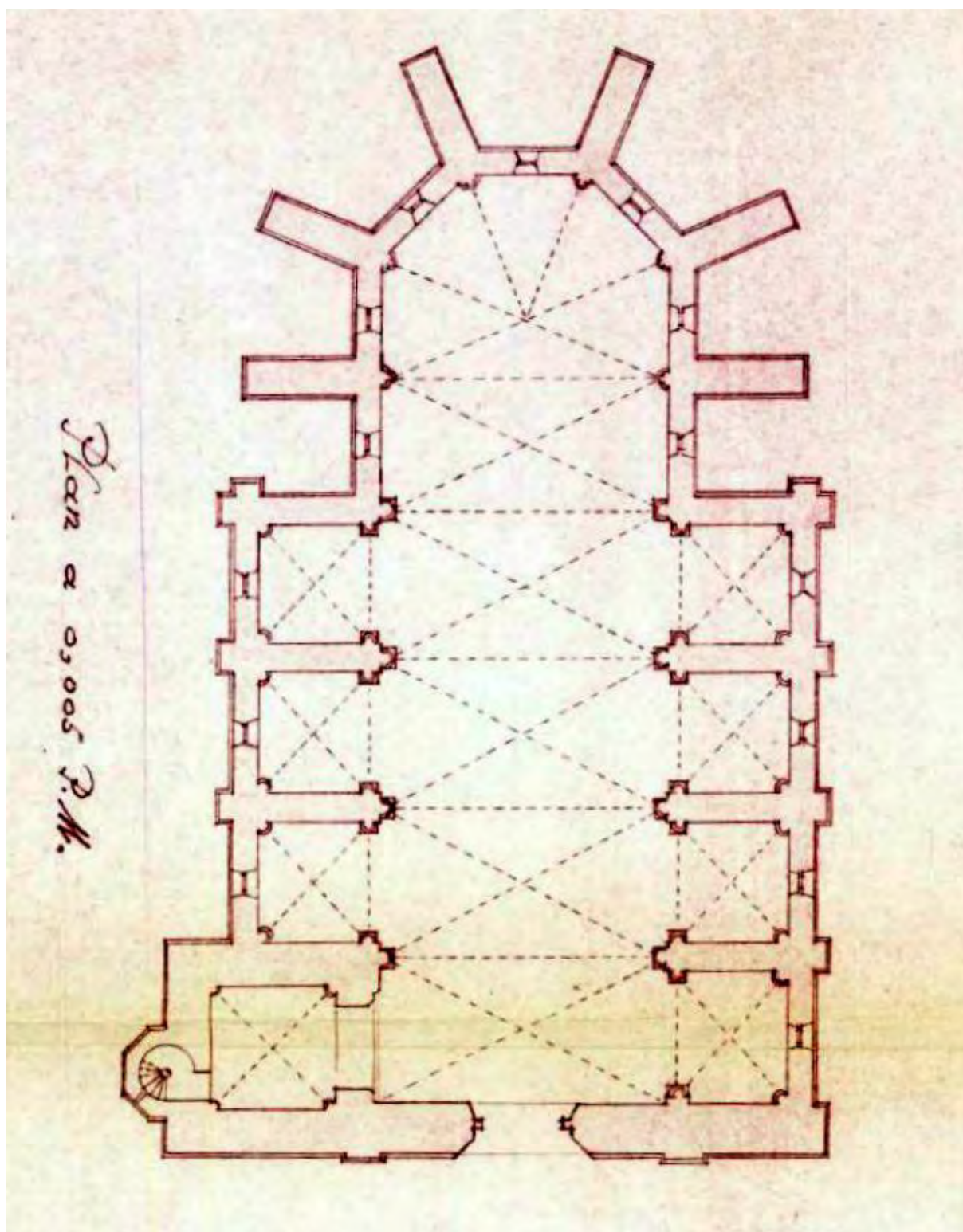


Fig. 65 : plan de la collégiale Saint-Martin. UDAP de Tarn-et-Garonne.

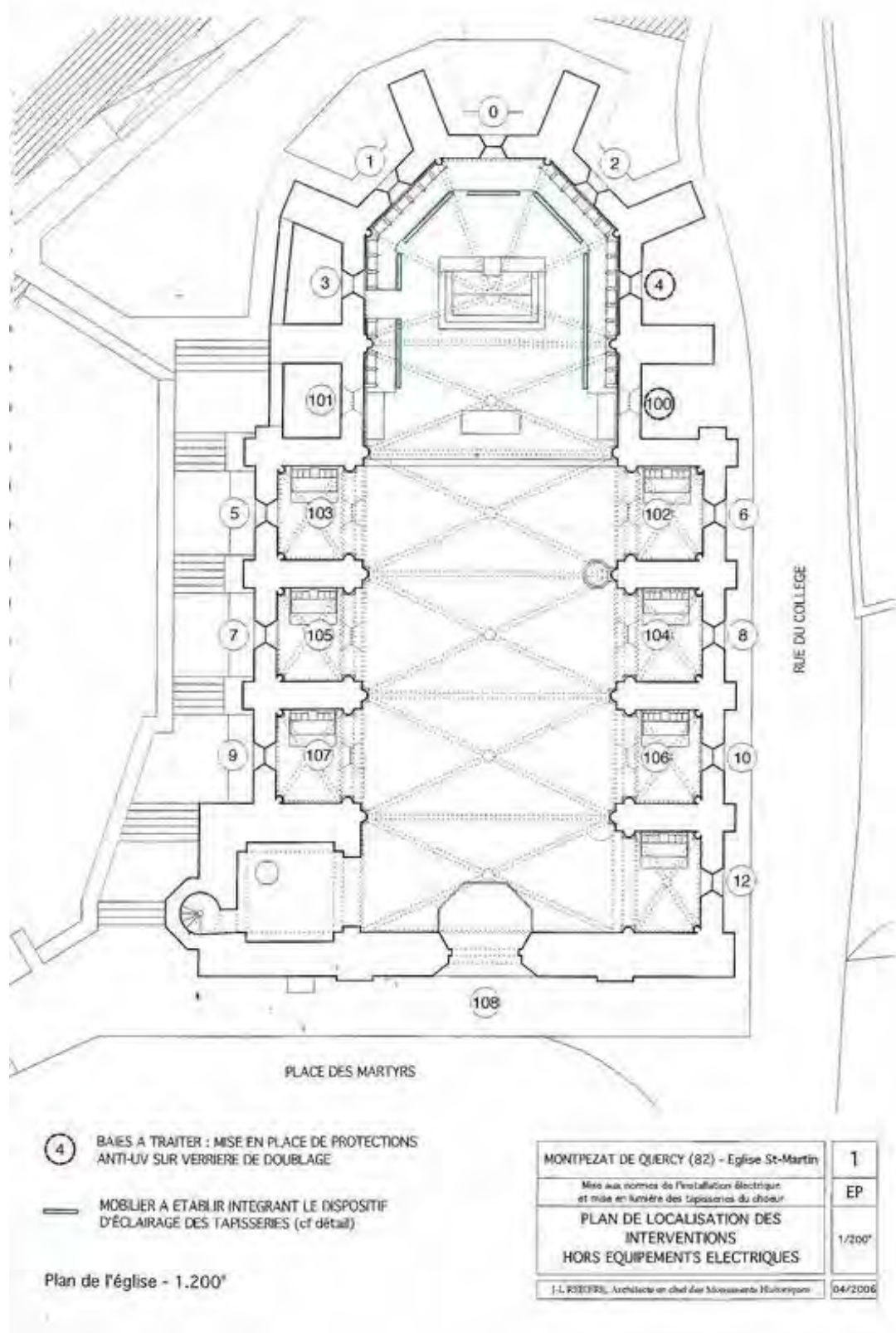


Fig. 66 : plan de la collégiale Saint-Martin. Jean-Louis Rebières, ACMH.

MONTPEZAT DE QUERCY

COLLEGIALE SAINT MARTIN

RESTAURATION DES CONTRE-FORTS LASSÉS DES
BAS CÔTÉS NORD ET DES TOITURES CÔTÉ NORD

AOUT 1970
B. VOINCHET

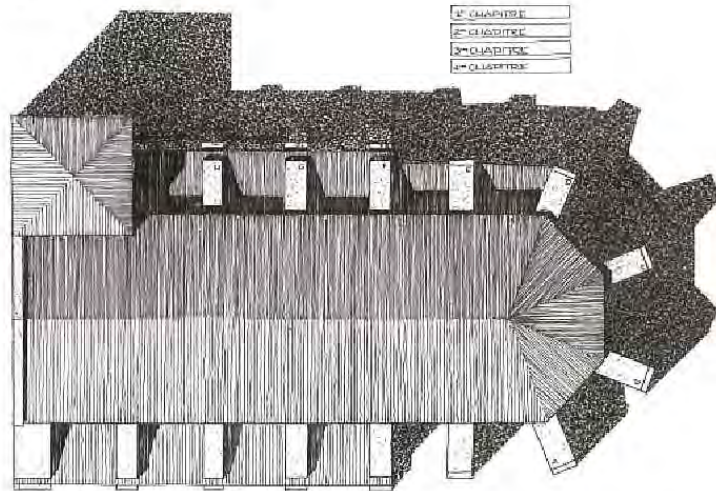


Fig. 67 : plan schématique des couvertures de la collégiale Saint-Martin.
Bernard Voinchet, ACHM, 1970.

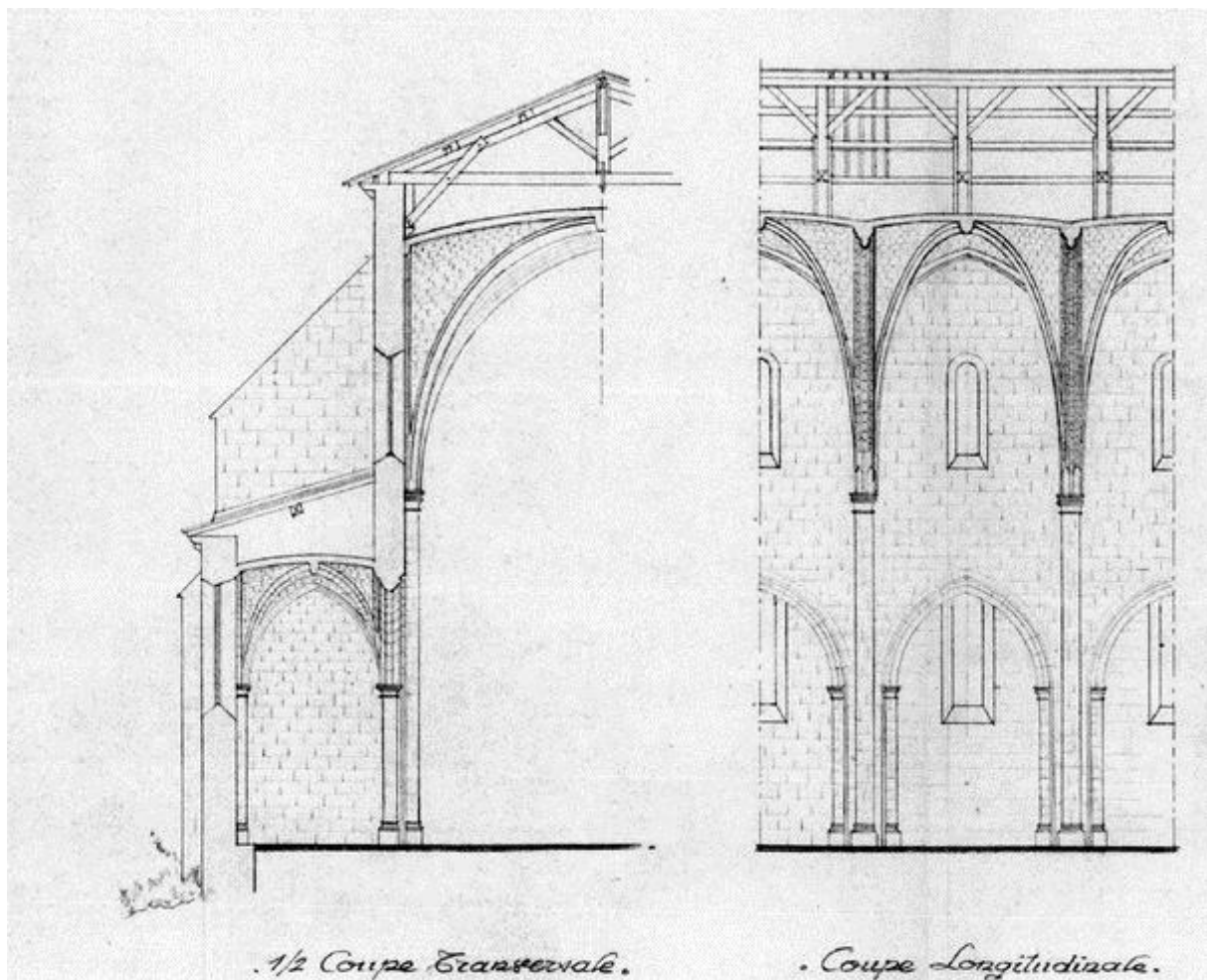


Fig. 68 : coupes de la collégiale Saint-Martin. UDAP de Tarn-et-Garonne.



Fig. 69 : vue générale du clocher de la collégiale Saint-Martin.



Fig. 70 : vue du voûtement de la tourelle d'escalier du clocher.

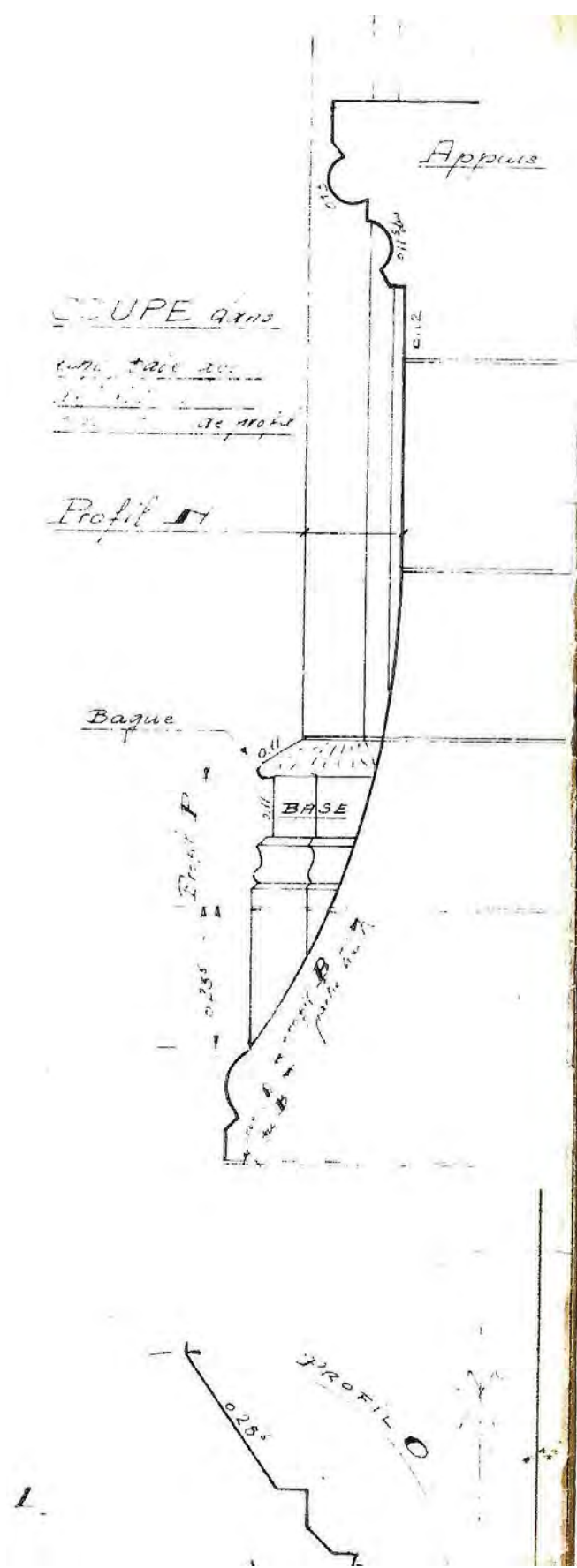


Fig. 71 : coupe et profil des colonnettes du clocher. UDAP de Tarn-et-Garonne.

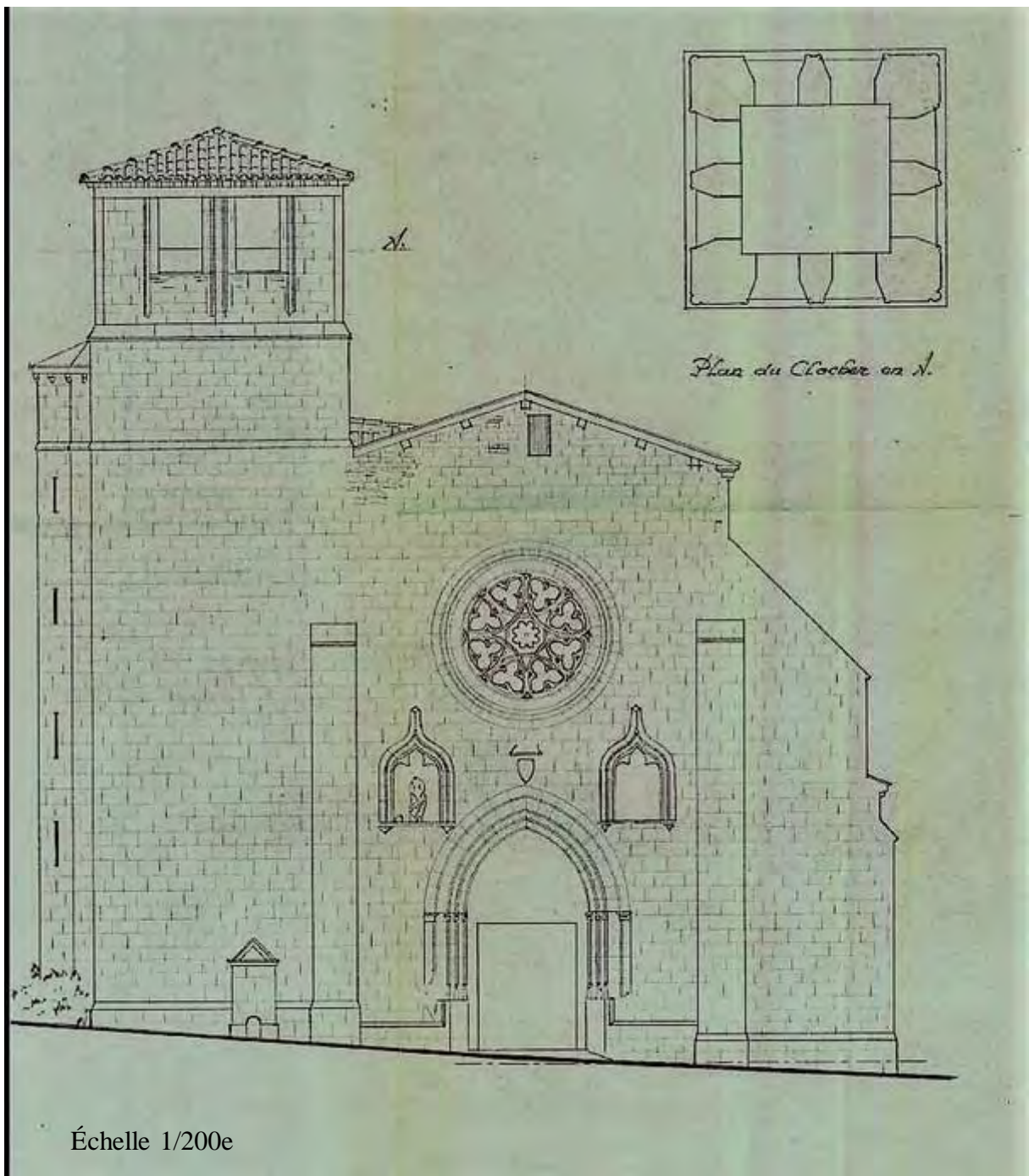


Fig. 72 : relevé de la façade occidentale de la collégiale Saint-Martin.
UDAP de Tarn-et-Garonne.



Fig. 73 : vue générale de la façade occidentale, collégiale Saint-Martin.



Fig. 74 : détail du portail de la façade occidentale, collégiale Saint-Martin.

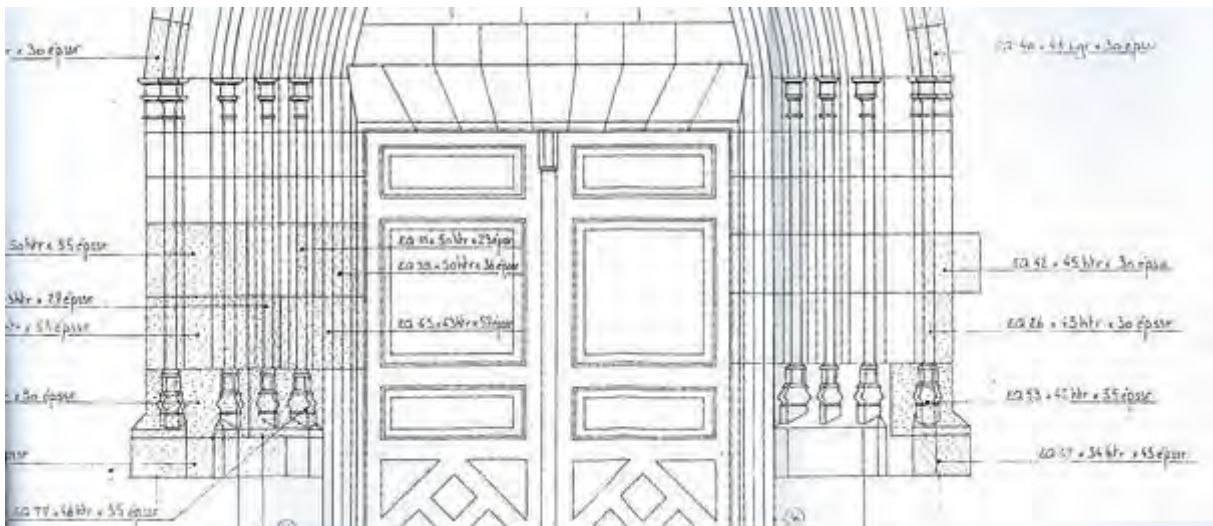


Fig. 75 : dessin technique des chapiteaux, colonnettes et bases prismatiques du portail occidental de la collégiale Saint-Martin. Entreprise SELE, 1991. UDAP de Tarn-et-Garonne

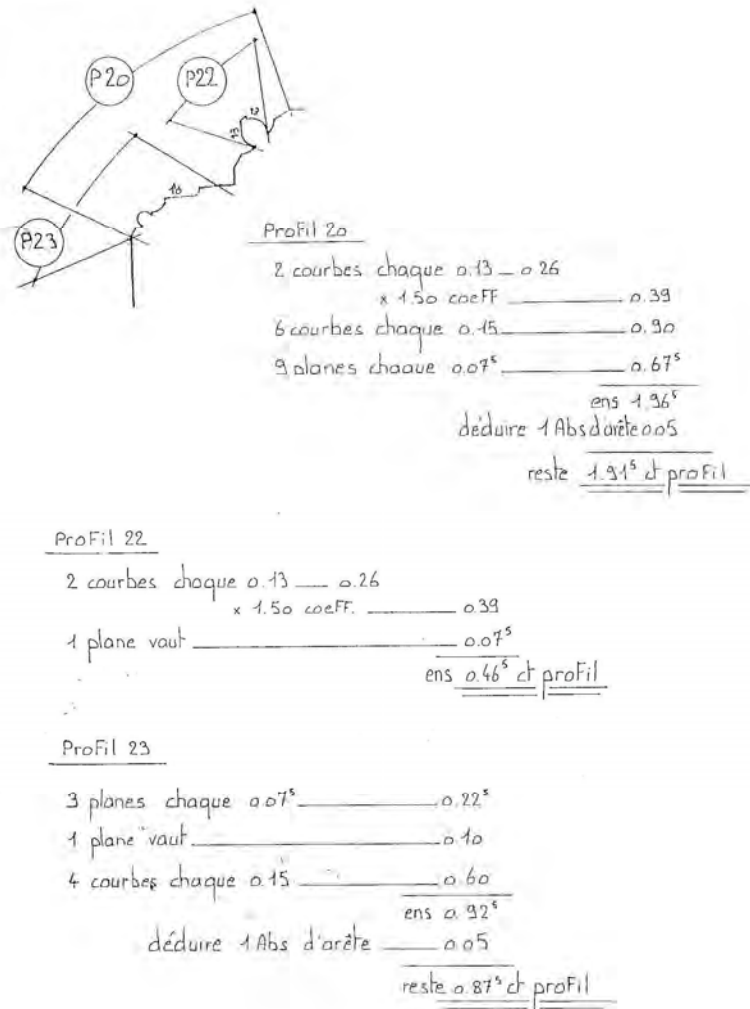
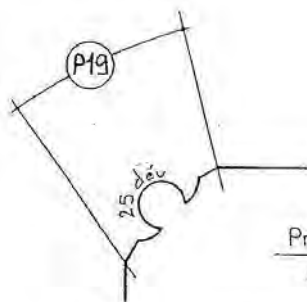


Fig. 76 : dessin technique des profils des colonnettes du portail occidental de la collégiale Saint-Martin. Entreprise SELE, 1991. UDAP de Tarn-et-Garonne



Profil 18.21

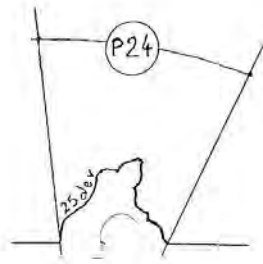
2 courbes chaque 0.25 — 0.50	
	x 1.50 coeff. _____ 0.75
6 courbes chaque 0.15 _____	0.90
1 plane vault _____	0.21 ^s
5 planes chaque 0.07 ^s _____	0.37 ^s
	ens 2.24
- déduire 1 Abs d'arête -0.05	
	reste <u>2.19</u> et profil



Profil 19

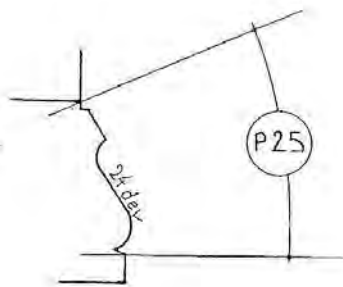
1 courbe 0.25	
	x 1.50 coeff. _____ 0.37 ^s
2 courbes chaque 0.15 _____	0.30
2 planes chaque 0.07 ^s _____	0.15
	ens <u>0.82^s</u> et profil

Fig. 77 : dessin technique des profils des colonnettes du portail occidental de la collégiale Saint-Martin. Entreprise SELE, 1991. UDAP de Tarn-et-Garonne



Profil 24

1 sinuose 0.25
 x 1.50 coeff. ——— 0.37^s
 4 courbes chaque 0.15 ——— 0.60
 4 planes chaque 0.07^s ——— 0.30
ens 1.27^s et profil



Profil 25

1 courbe 0.24
 x 1.50 coeff. ——— 0.36
 4 planes chaque 0.07^s ——— 0.30
ens 0.66 et profil

Fig. 78 : dessin technique des profils des colonnettes du portail occidental de la collégiale Saint-Martin. Entreprise SELE, 1991. UDAP de Tarn-et-Garonne

- Profil 3.6.9.12.15 -

2 Sinueuses chaque 0.15 — 0.30

1 plane vout — 0.075

ens 0.375 cf profil

- Profil 4.7.10.13.16 -

1 courbe vout — 0.15

Fig. 79 : dessin technique des profils des bases prismatiques des colonnettes du portail occidental de la collégiale Saint-Martin.
Entreprise SELE, 1991. UDAP de Tarn-et-Garonne

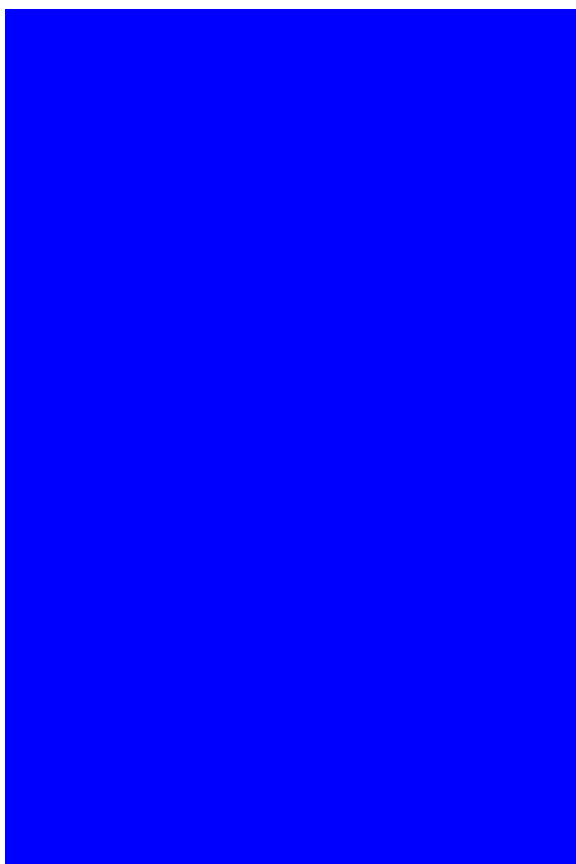


Fig. 80 : vue générale de la statue de la niche gauche de la façade occidentale, collégiale Saint-Martin.



Fig. 81 : détail de la niche droite de la façade occidentale avec la trace de la litre funéraire collégiale Saint-Martin.

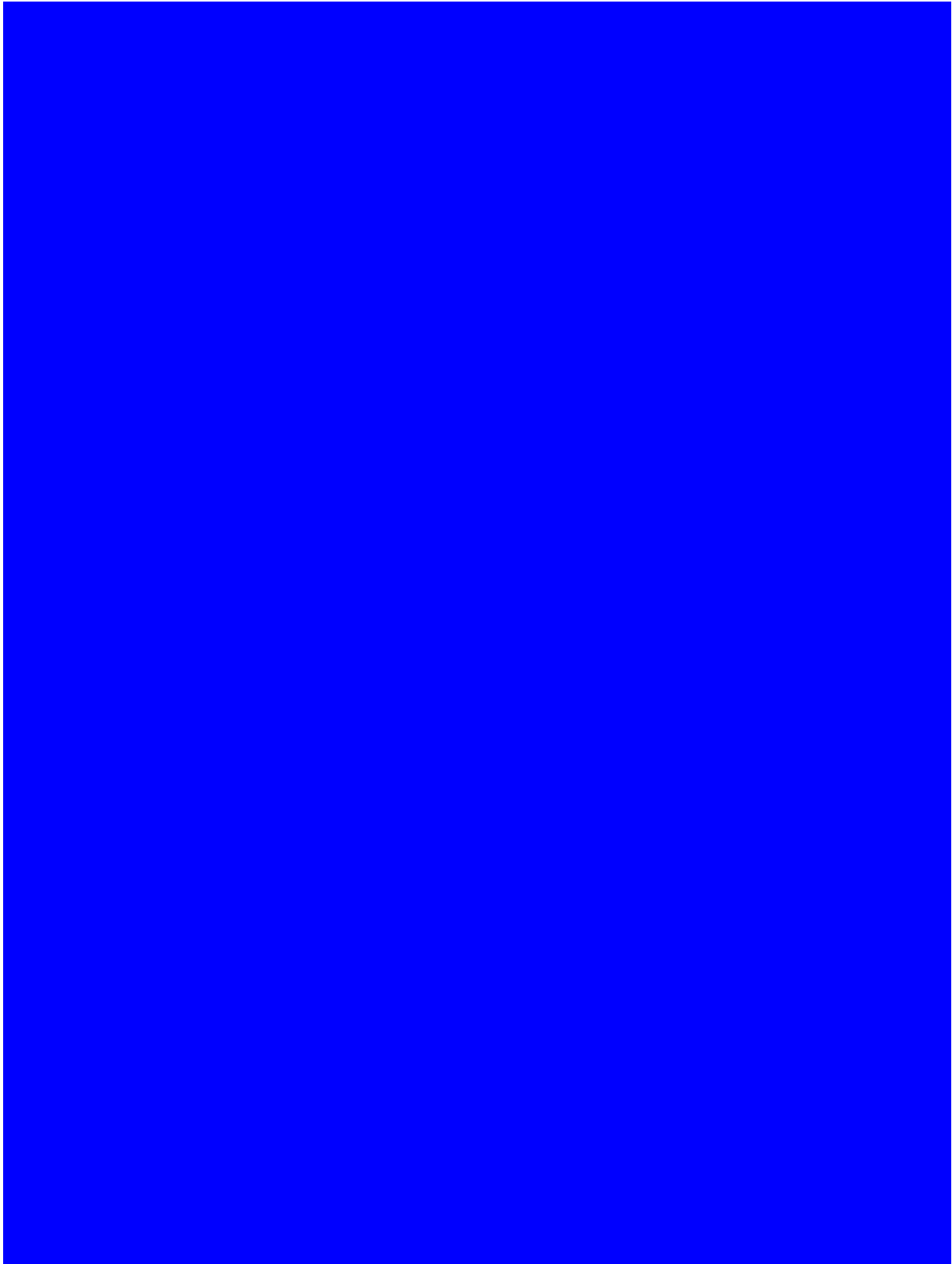


Fig. 82 : la rose de la façade occidentale, collégiale Saint-Martin.



Fig. 83 : vue de la coursière de la façade occidentale, collégiale Saint-Martin.



Fig. 84 : détail d'une des trompes de la coursière, côté nord, collégiale Saint-Martin.

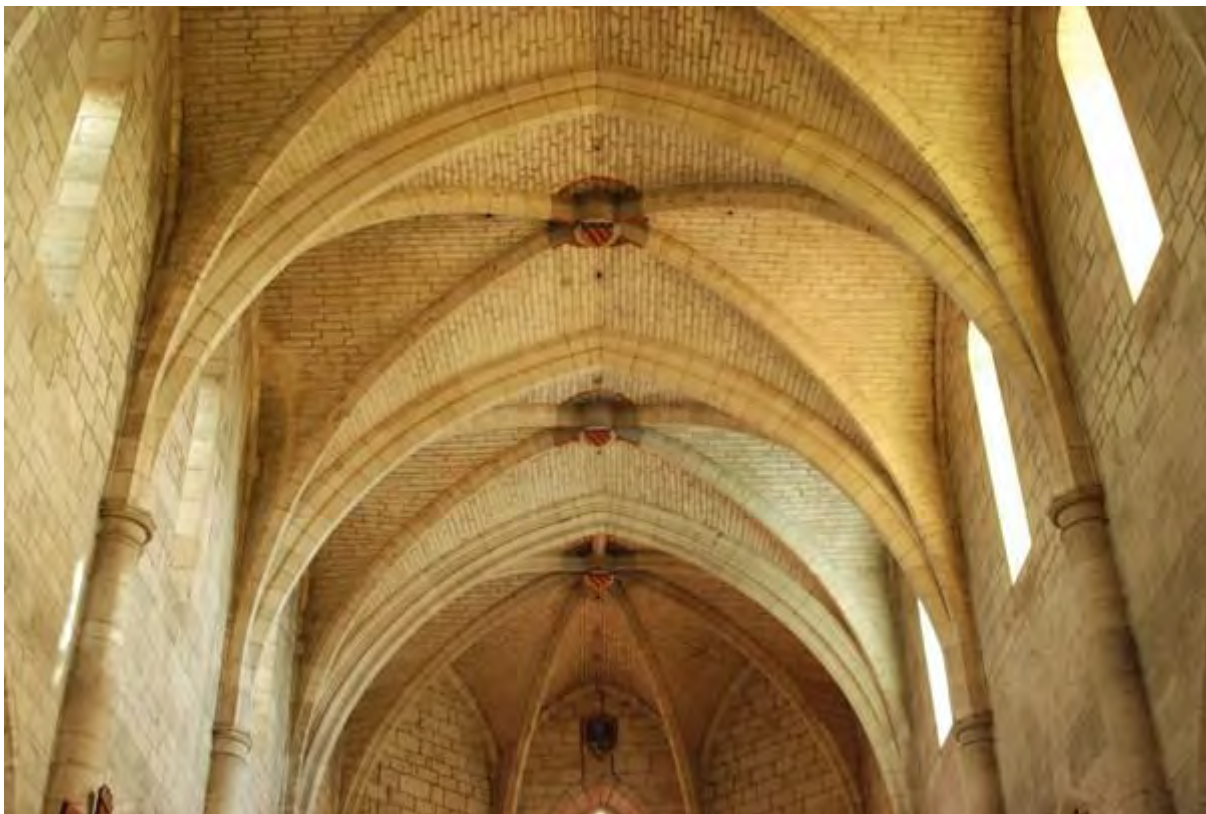


Fig. 85 : vue générale du voûtement de la nef, collégiale Saint-Martin.



Fig. 86 : détail de la retombée des voutes de la nef et de la première travée de l'abside, collégiale Saint-Martin.



Fig. 87 : clé de voûte de la collégiale Saint-Martin aux armes de la famille des Prés.



Fig. 88 : détail d'un chapiteau de la nef, collégiale Saint-Martin.



Fig. 89 : vue générale d'une fenêtre haute de la nef, collégiale Saint-Martin.



Fig. 90 : vue générale extérieure d'une fenêtre des chapelles latérales, collégiale Saint-Martin.



Fig. 91: vue générale du voûtement de l'abside, collégiale Saint-Martin.



Fig. 92 : chapiteaux feuillagés de l'abside, collégiale Saint-Maertin.



Fig. 93 : implantation de la collégiale dans le tissu urbain du faubourg del Pla.
Cadastré napoléonien, vers 1830. Arch. Dép. Tarn-et-Garonne.

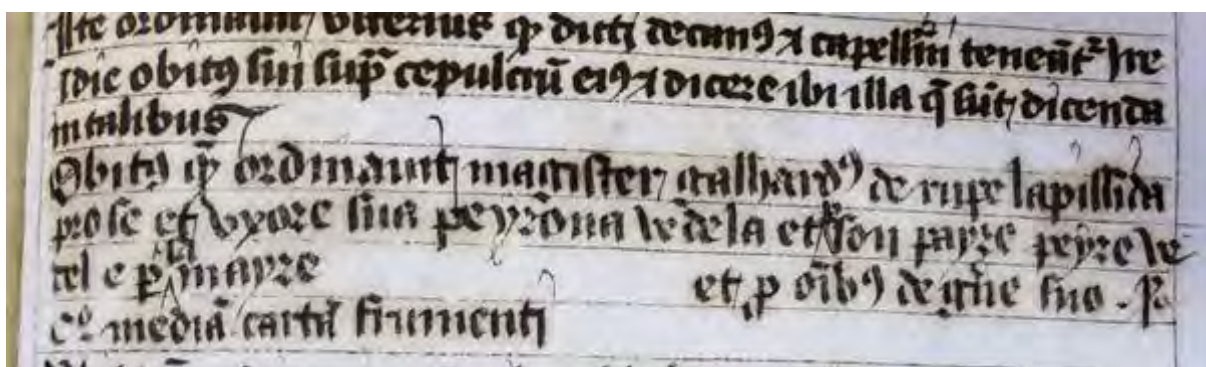


Fig. 94 : obit de maître Gailhard de Rupe, lapicide. Arch. Dép. Tarn-et-Garonne, G 790.



Fig. 95 : schématisation de l'élévation des éléments structurants et des murs de la nef de la collégiale Saint-Martin.
En orange : les éléments structurants montés en premiers ; en couleurs : les lits de pierres montés au fur et à mesure.

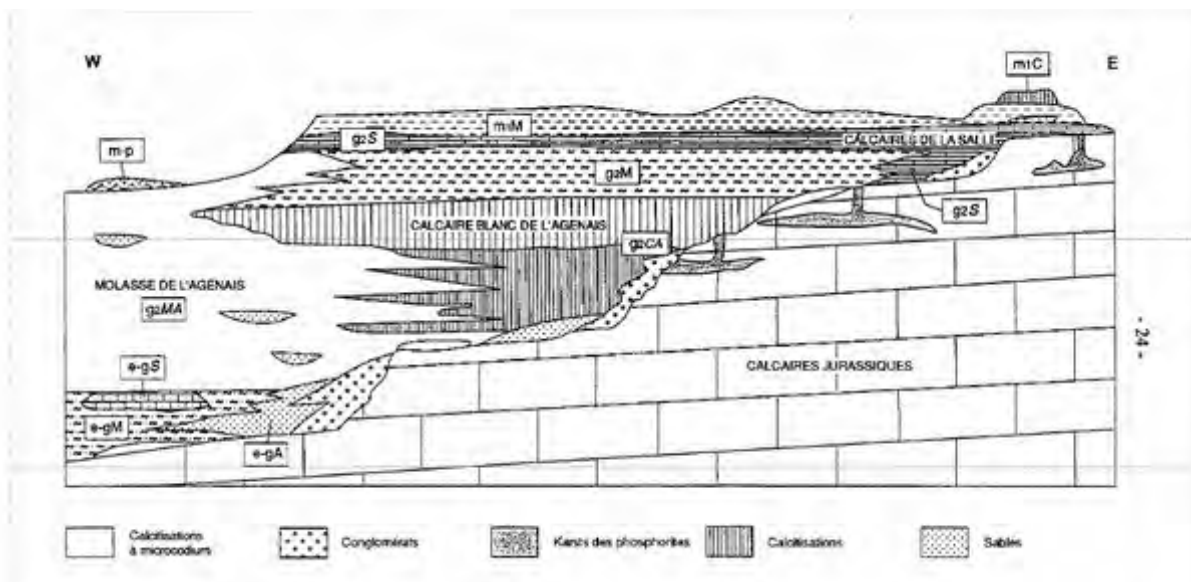


Fig. 96 : successions lithographiques dans la région de Caussade. Dessin du BRGM.



Fig. 97 : carte géologique de Montpezat-de-Quercy. En orange, les couches remontant à l'œligocène. Carte du BRGM.



Fig. 98 : détail du calcaire utilisé pour le parement extérieur de la nef de la collégiale Saint-Martin, côté nord

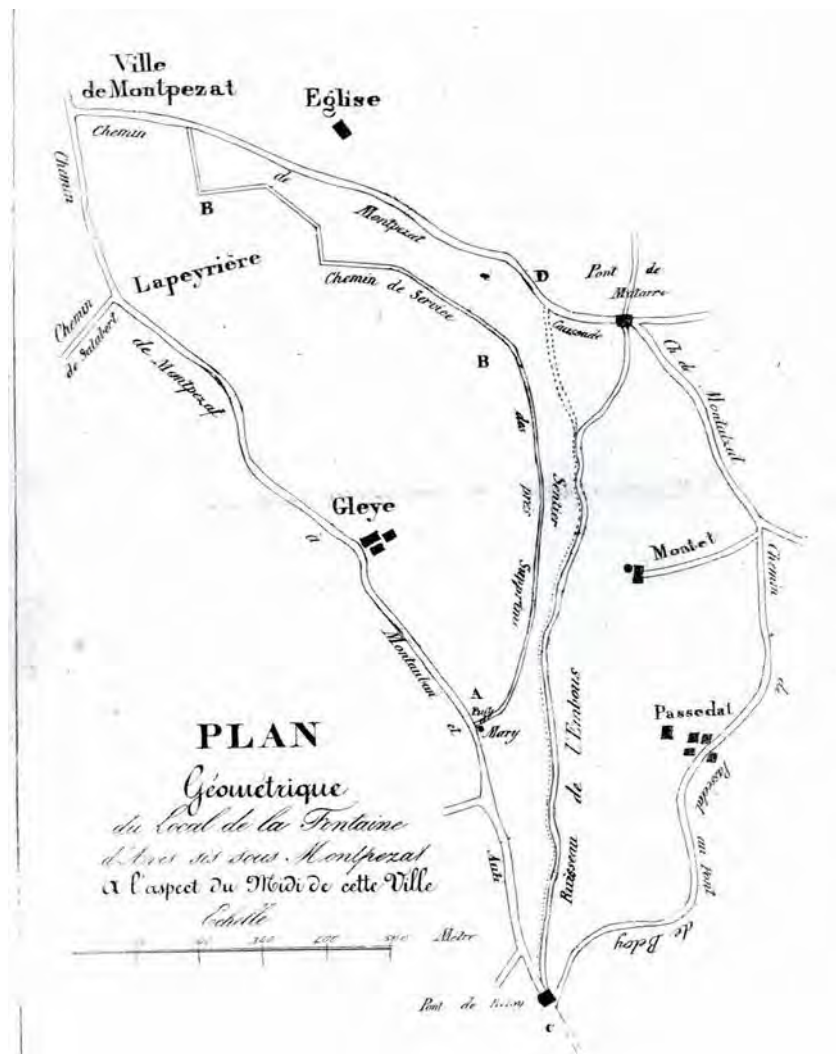


Fig. 99 : plan de 1834 avec la localisation du lieu-dit Lapeyrière.
 Arch. Dép. Tarn-et-Garonne, 3 E 131

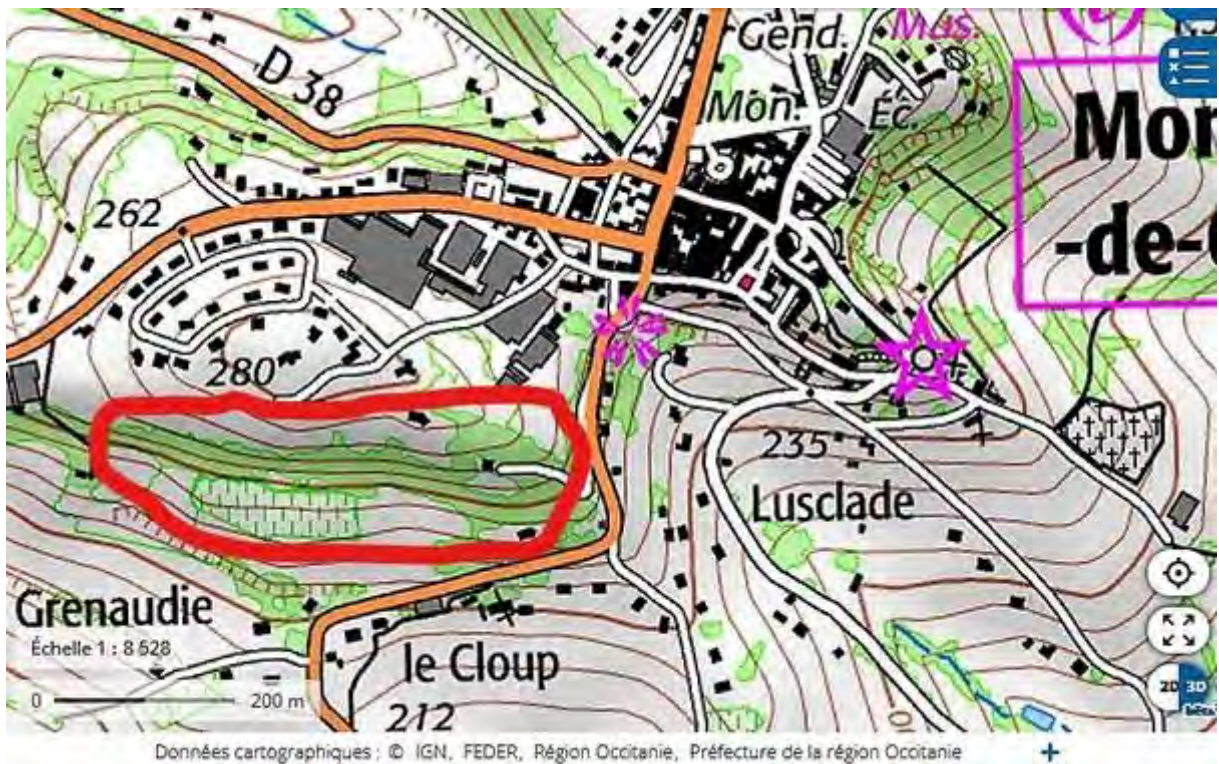


Fig. 100 : situation du lieu-dit la Peyrière (en rouge) sur les hauteurs de Montpezat. Carte IGN.



Fig. 101 : potentielle marque de carrier (repassée en rouge par nos soins) sur le parement du mur nord de la nef de la collégiale Saint-Martin.



Fig. 102 : seconde marque de carrier (?) tracée au minimum sur le parement nord de la nef de la collégiale Saint-Martin



Fig. 103 : vue de la porte d'accès aux toitures du bas-côté sud de la collégiale Saint-Martin.

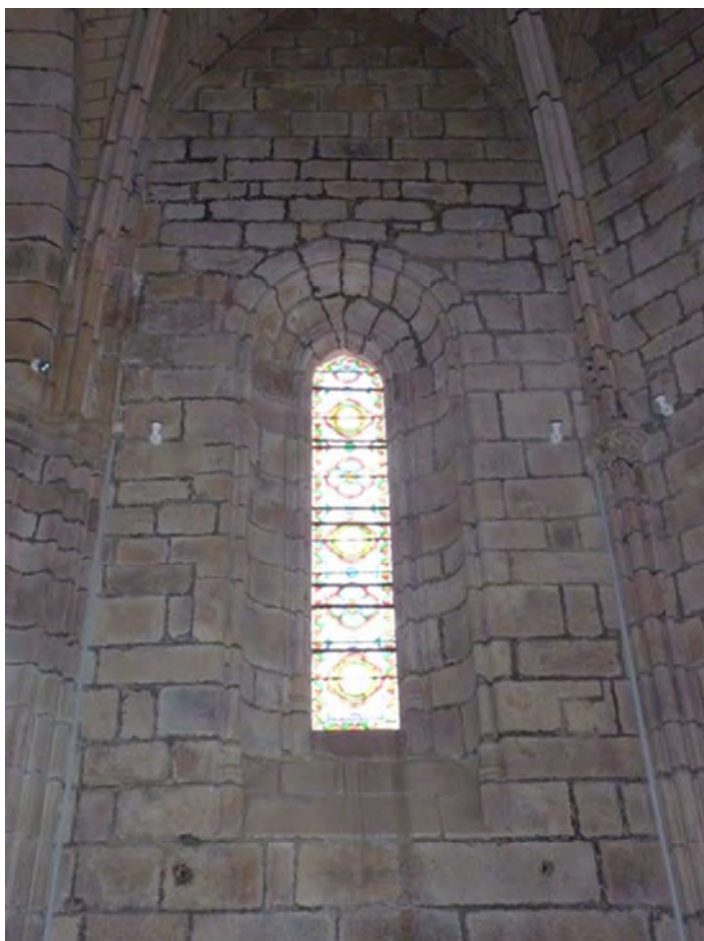


Fig. 104 : détail du parement intérieur de l'abside de la collégiale de Saint-Germain-les-Belles (Haute-Vienne).



Fig. 105 : porte du placard de la sacristie et de l'accès à la toiture de l'arrière-sacristie, collégiale Saint-Martin.



Fig. 106 : exemple de taille oblique de la pierre sur le parement extérieur d'un contrefort de la nef côté nord, collégiale Saint-Martin.



Fig. 107 : exemple de taille entrecroisée sur une des pierres de la fenêtre d'axe, collégiale Saint-Martin.



Fig. 108 : exemple de taille en éventail sur une des pierres des retombées des voûtes, chapelle nord, collégiale Saint-Martin.



Fig. 109 : traces d'outils avec de nombreuses reprises sur un bloc du parement sud, collégiale Saint-Martin.



Fig. 110 : vue générale du mur nord de l'église du couvent du Pouget. État en septembre 2015.



Fig. 111 : détail de l'arc du portail occidental de l'église du couvent du Pouget. État en septembre 2015.



Fig. 112 : détail du parement extérieur de l'église des Augustins de Mortemart.



Fig. 113 : détail du parement extérieur du chevet de la collégiale de Saint-Germain-les-Belles.



Fig. 114 : exemples de signes lapidaires sur le parement extérieur de la collégiale Saint-Martin



Fig. 115 : exemples de signes lapidaires sur le parement extérieur de la collégiale Saint-Martin



Fig. 116 : exemples de signes lapidaires sur le parement extérieur de la collégiale Saint-Martin



Fig. 117 : extrait du cadastre napoléonien de Montpezat-de-Query avec le lieu-dit « La Mouline ». Arch. Dép. de Tarn-et-Garonne



Fig. 118 : serrure à vertevelle du placard de la sacristie. Collégiale Saint-Martin.



Fig. 119 : serrure à vertevelle de la porte d'accès aux toitures du bas-côté nord, Collégiale Saint-Martin.



Fig. 120 : détail d'un ancien gond de porte scellé au plomb dans le mur de l'abside de la collégiale Saint-Martin.



Fig. 121 : détail des scellements au plomb du remplage de la fenêtre d'axe de la collégiale Saint-Martin.



Fig. 122 : détail du scellement au plomb du réseau de la rosace de la collégiale Saint-Martin.



Fig. 123 : détails de l'assemblage par coulées de plomb du réseau de la piscine liturgique du chœur de la collégiale Saint-Martin.



Fig. 124 : détail du vitrail figurant saint Martin, baie d'axe de la collégiale Saint-Martin, œuvre du maître-verrier Lusson, en 1866.



Fig. 125 : la grande verrière médiévale de l'église du couvent des Junies.



Fig. 126 : détail de la partie inférieure de la verrière centrale de l'église du couvent des Junies.

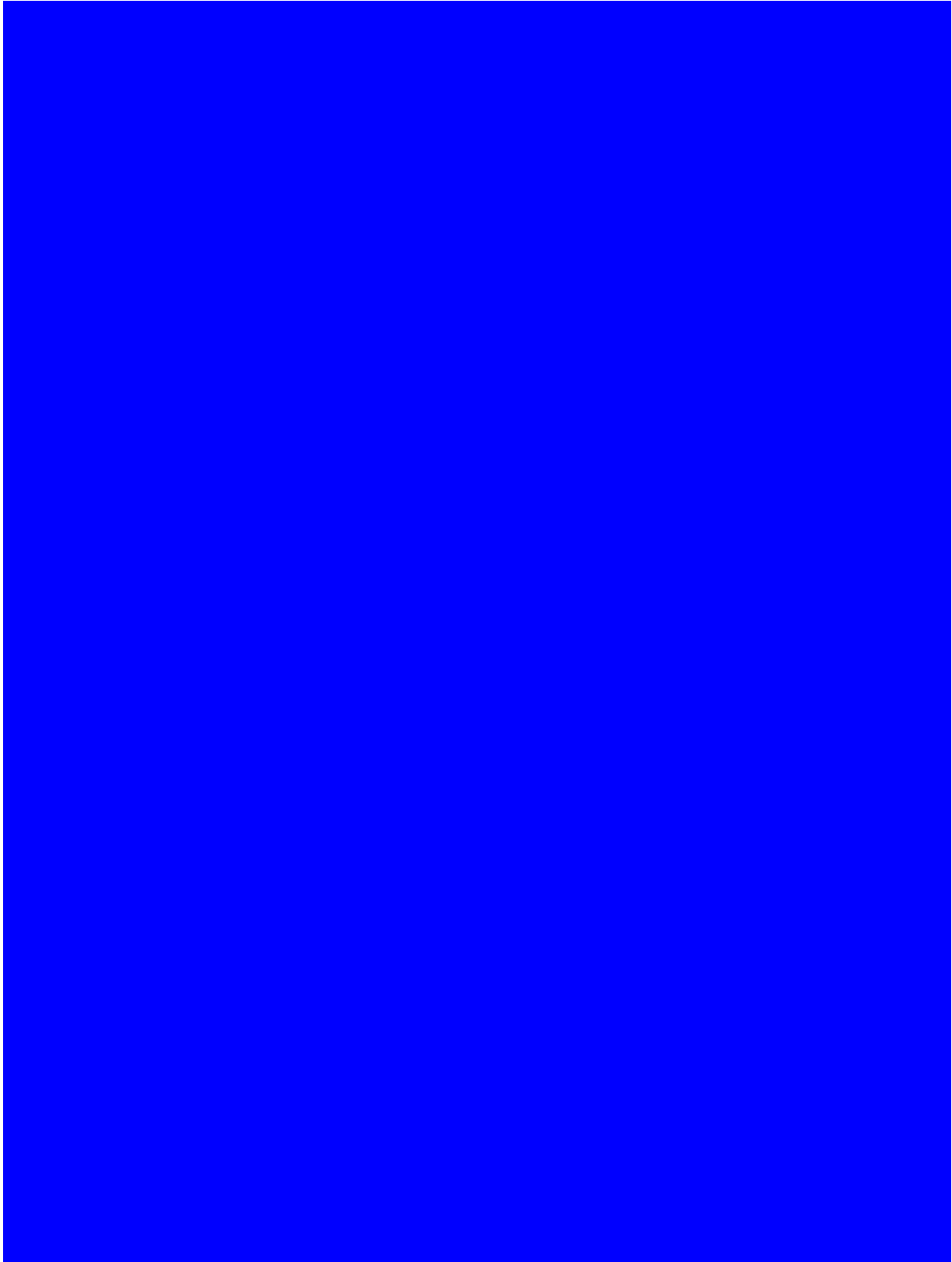


Fig. 127 : détail en rouge des trous d'empochement d'échafaudage dans la troisième chapelle nord, collégiale Saint-Martin.

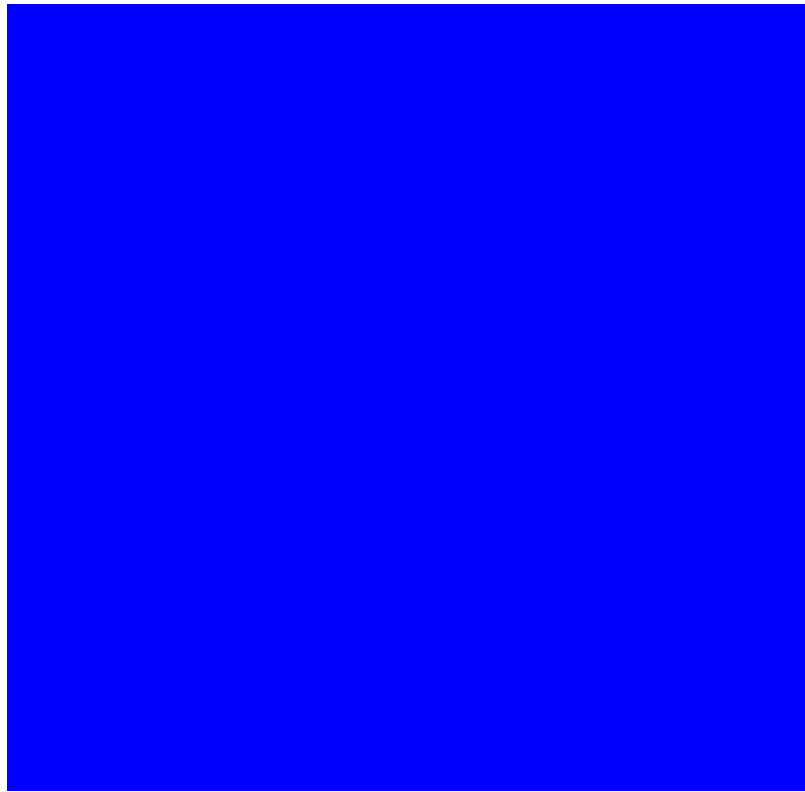


Fig. 128 : détail des traces de polychromie sur un chapiteau de la nef, collégiale Saint-Martin.

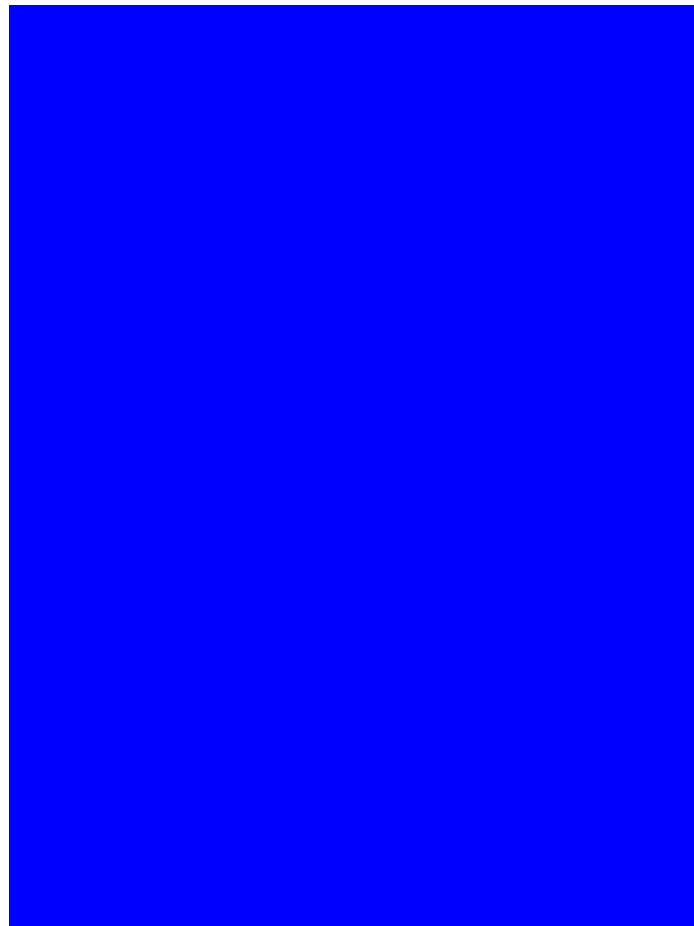


Fig. 129 : détail des restes de polychromie sur une colonnette d'une chapelle latérale sud, collégiale Saint-Martin.



Fig. 130 : vue générale de la nef de la collégiale Saint-Pierre de La Romieu.

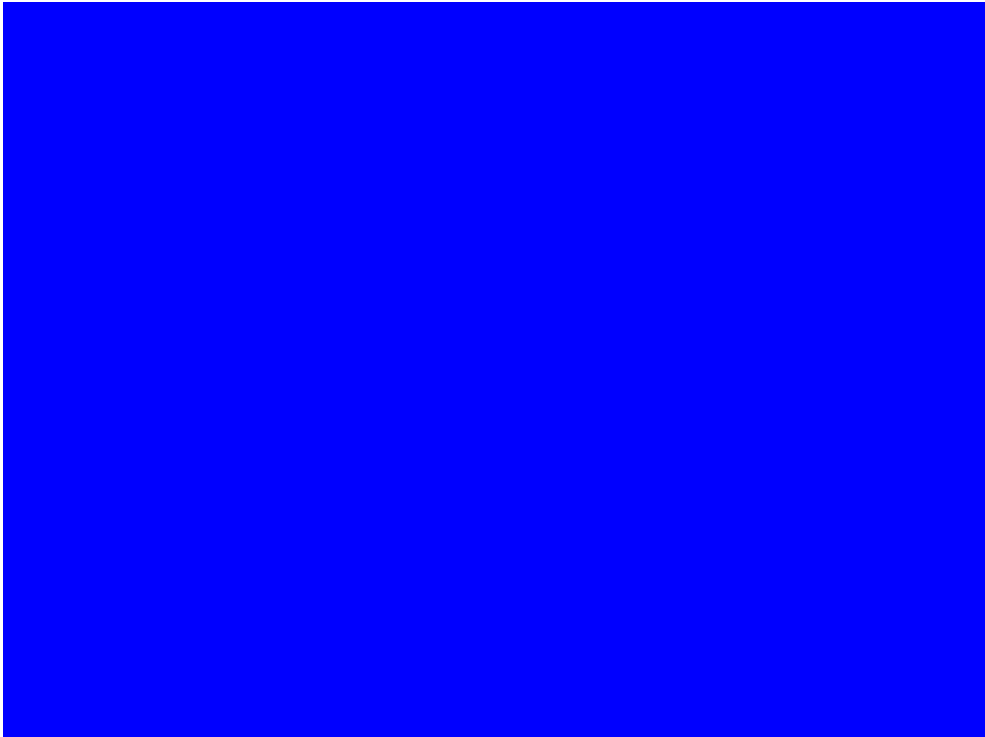


Fig. 131 : vue générale du décor peint du chœur de l'église des Junies.

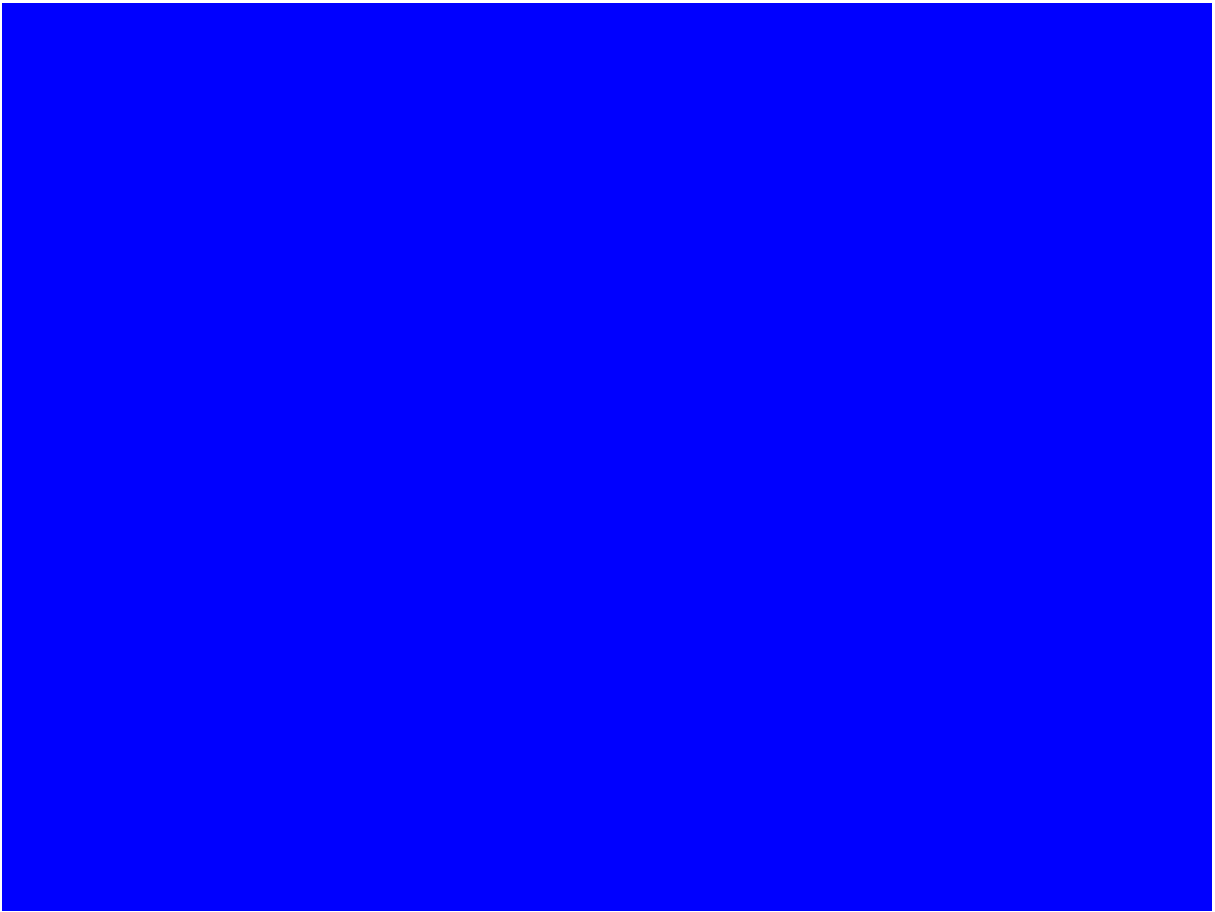


Fig. 132 : vue générale du décor peint découvert dans la quatrième chapelle sud de la collégiale Saint-Martin.



Fig. 133 : traces de préparation noire sur la crédence de la piscine aux ablutions de la troisième chapelle sud, collégiale Saint-Martin.

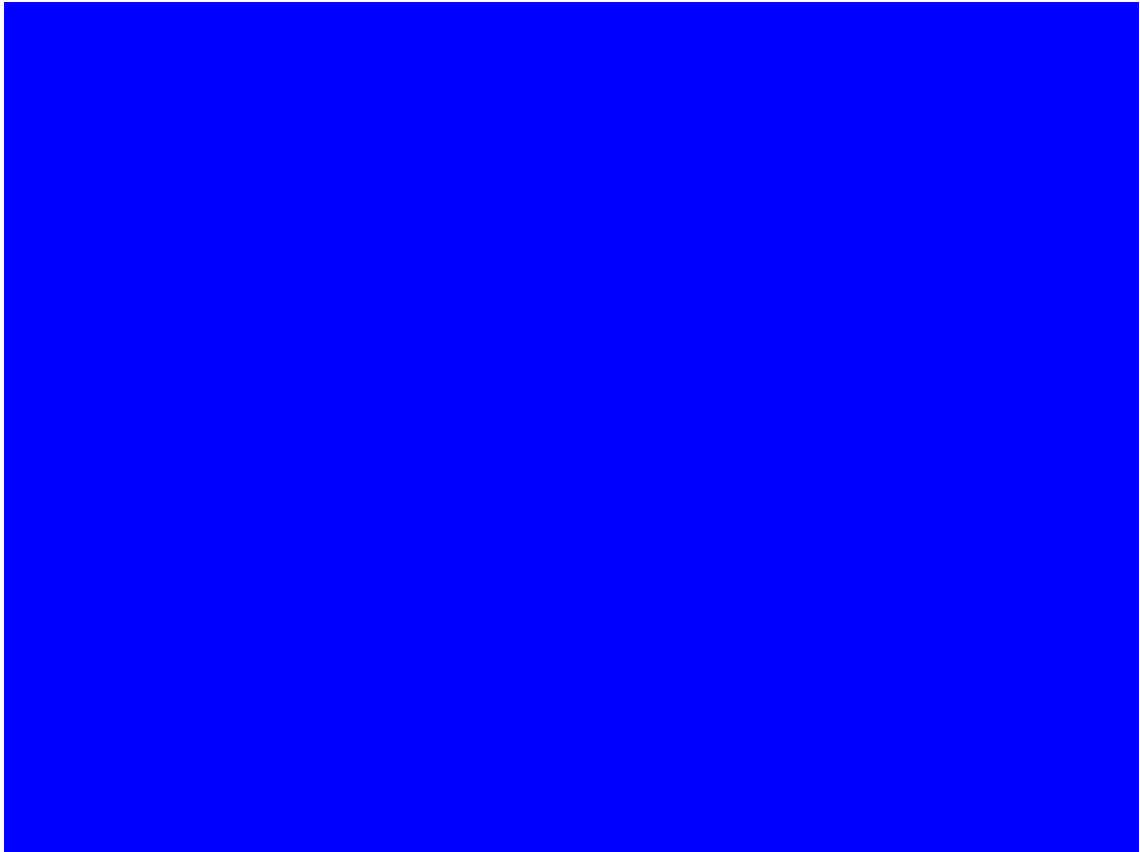


Fig. 134 : détail du décor peint de la quatrième chapelle sud, collégiale Saint-Martin.

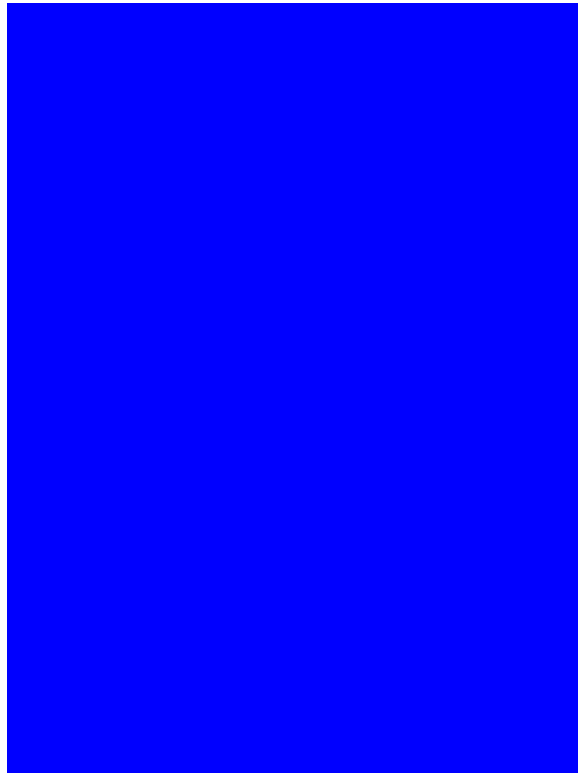


Fig. 135 : détail de la piscine liturgique et de son décor peint dans la quatrième chapelle sud de la collégiale Saint-Martin.



Fig. 136 : vue générale du décor peint découvert dans la première chapelle sud de la collégiale Saint-Martin.



Fig. 137 : détail du décor peint mis au jour dans la quatrième chapelle nord de la collégiale Saint-Martin.



Fig. 138 : détail du décor peint mis au jour dans la quatrième chapelle nord de la collégiale Saint-Martin.



Fig. 139 : vue générale du décor peint mis au jour dans la quatrième chapelle nord de la collégiale Saint-Martin.



Fig. 140 : détail du décor peint découvert sur les murs du chevet de la collégiale Saint-Martin.



Fig. 141 : détail du décor peint découvert sur les murs du chevet de la collégiale Saint-Martin.

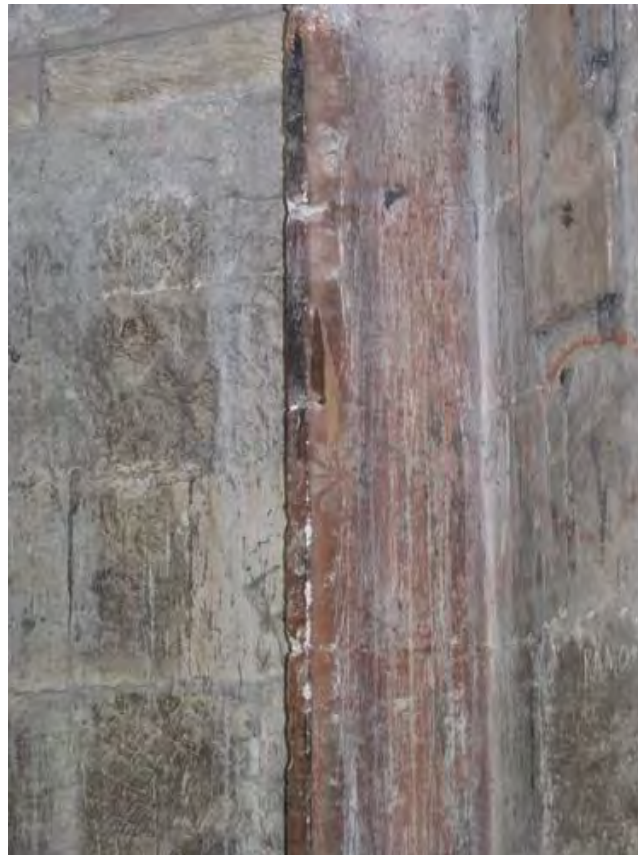


Fig. 142 : détail du décor peint sur les colonnettes découvert sur les murs du chevet

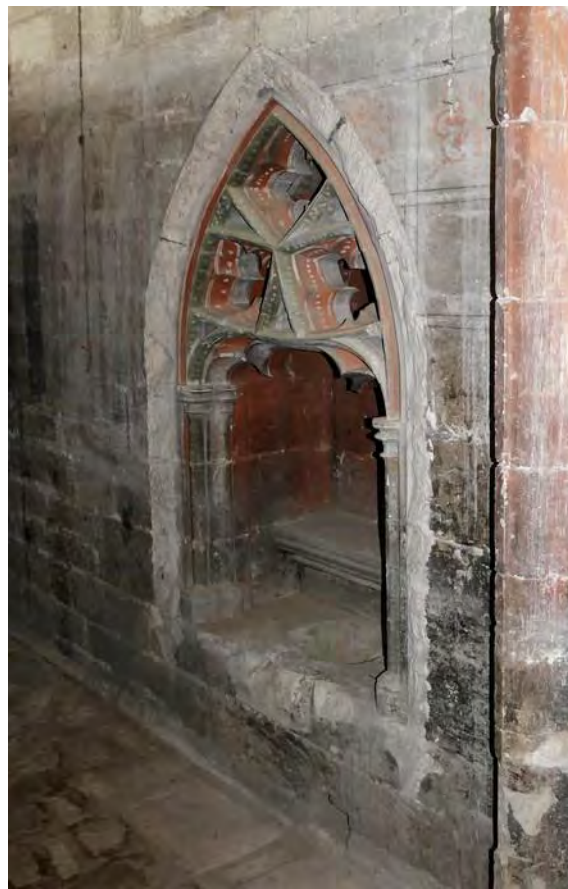


Fig. 143 : vue générale de la piscine aux ablutions découverte dans le mur sud du chevet de la collégiale Saint-Martin.



Fig. 144 : détail du remplage de la piscine aux ablutions.



Fig. 145 : détail de la cuvette de la piscine aux ablutions.



Fig. 146 : détail de la polychromie du fond de la piscine aux ablutions.



Fig. 147 : détails de la polychromie de la piscine aux ablutions.



Fig. 148 : détails de la polychromie de la piscine aux ablutions.



Fig. 149 : vue générale de la piscine liturgique du chò ur de l'èglise des Junies.



Fig. 150 : peintures murales du chò ur de l'èglise de Saux.



Fig. 151 : détail du décor peint découvert dans le chœur de la collégiale Saint-Martin.



Fig. 152 : détail du décor peint découvert dans le chœur de la collégiale Saint-Martin.



Fig. 153 : détail du joint de mortier rubané au fer, en partie basse du décor d'arcades géminées.



Fig. 154 : détail du monogramme du Christ rajouté sur la peinture murale médiévale dans le chœur de la collégiale Saint-martin.



Fig. 155 : détail du monogramme du Christ découverte sur le mur du chevet de l'église Saint-Pierre d'Auvillar. Cliché Jean-François Peiré, DRAC Occitanie.



Fig. 156 : détail du décor d'architecture en trompe-l'œil peint sur les murs de l'appartement des hôtes au Palais des Papes, Avignon.



Fig. 157 : détail du décor peint au-dessus du tombeau du cardinal Bertrand de Déaux Avignon, collégiale Saint-Didier. Cliché Médiathèque de l'architecture et du patrimoine.



Fig. 158 : traces de lœau-forte vermillon sur les jambages de la baie
dœaxe
de la collégiale Saint-Martin.



Fig. 159 : traces d'une eau-forte terre d'Ombre sur le remplage de la baie d'axe, collégiale Saint-Martin.



Fig. 160 : traces d'une eau-forte terre d'Ombre sur les modillons nord, collégiale Saint-Martin



Fig. 161 : traces d'une eau-forte terre d'Ombre sur une fenêtre basse nord, collégiale Saint-Martin



Fig. 162 : vue générale du chevet de la collégiale Saint-Martin avant 1909.
Médiathèque de l'architecture et du patrimoine.



Fig. 163 : traces d'enduit ocre sur la façade de la salle capitulaire du couvent des Junies.



Fig. 164 : vue générale du chevet de la collégiale Saint-Agricol d'Avignon.



Fig. 165 : vue générale du chevet de la collégiale Notre-Dame-des-Miracles d'Avignon.



Fig. 166 : vue générale de deux chapiteaux de la nef de la collégiale Saint-Martin.



Fig. 167 : vue générale du chœur de la collégiale Notre-Dame du Vigan (Lot).



Fig. 168 : vue de la nef de l'église Saint-Jean-Baptiste de Caylus (Tarn-et-Garonne)



Fig. 169 : vue générale de la nef de la basilique Sainte-Marie-Madeleine de Saint-Maximin-La-Sainte-Baume (Bouches-du-Rhône)



Fig. 170 : vue générale du collatéral nord de la basilique Sainte-Marie-Madeleine de Saint-Maximin-La-Sainte-Baume (Bouches-du-Rhône)



Fig. 171 : chevet du couvent des Dominicains d'Avignon, en 1839. Gravure de Ch. Montigny

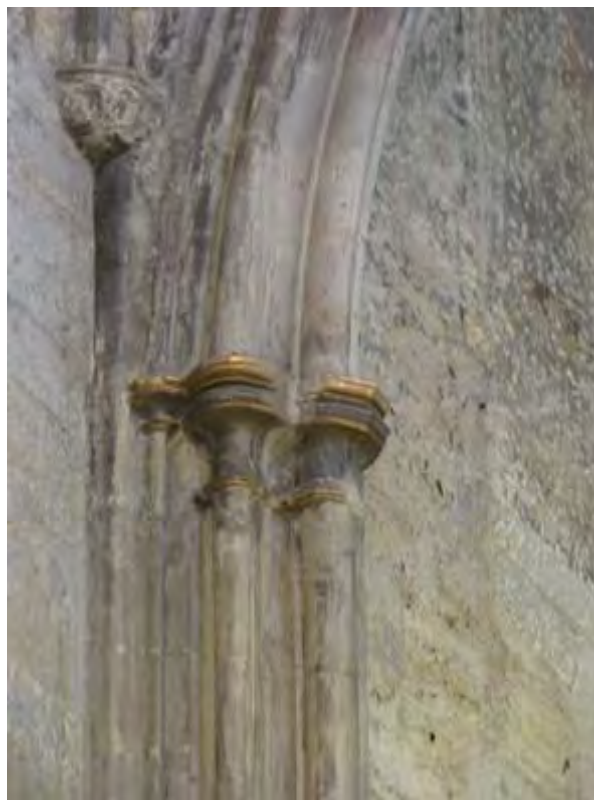


Fig. 172 : détail des chapiteaux de la retombée des voûtes de l'arc triomphal, collégiale Saint-Agricol d'Avignon.



Fig. 173 : vue générale du collatéral nord de la cathédrale Saint-Bénigne de Dijon (Côte-d'Or)

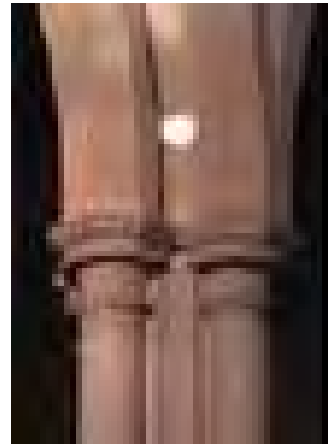


Fig. 174 : détail des chapiteaux de l'église Saint-Nicholas d'Arundel (Grande-Bretagne)



Fig. 175 : vue générale des chapiteaux et des piliers de l'ancienne salle capitulaire des Cordeliers de Toulouse.



Fig. 176 : détail du voûtement du chevet de la cathédrale Saint-André de Bordeaux.



Fig. 177 : deux vues du cloître de la collégiale Notre-Dame de Villeneuve-les-Avignon.



Fig. 178 : vue générale du clocher de la collégiale Notre-Dame de Villeneuve-les-Avignon.



Fig. 179 : vue générale du portail de la collégiale Saint-Michel de Castelnaudary (Aude).



Fig. 180 : vue générale du portail de la collégiale Saint-Vincent de Montréal (Aude).



Fig. 181 : vue générale du portail de la cathédrale de Rieux (haute-Garonne)



Fig. 182 : vue générale du portail de l'église Notre-Dame-du-Taur de Toulouse.

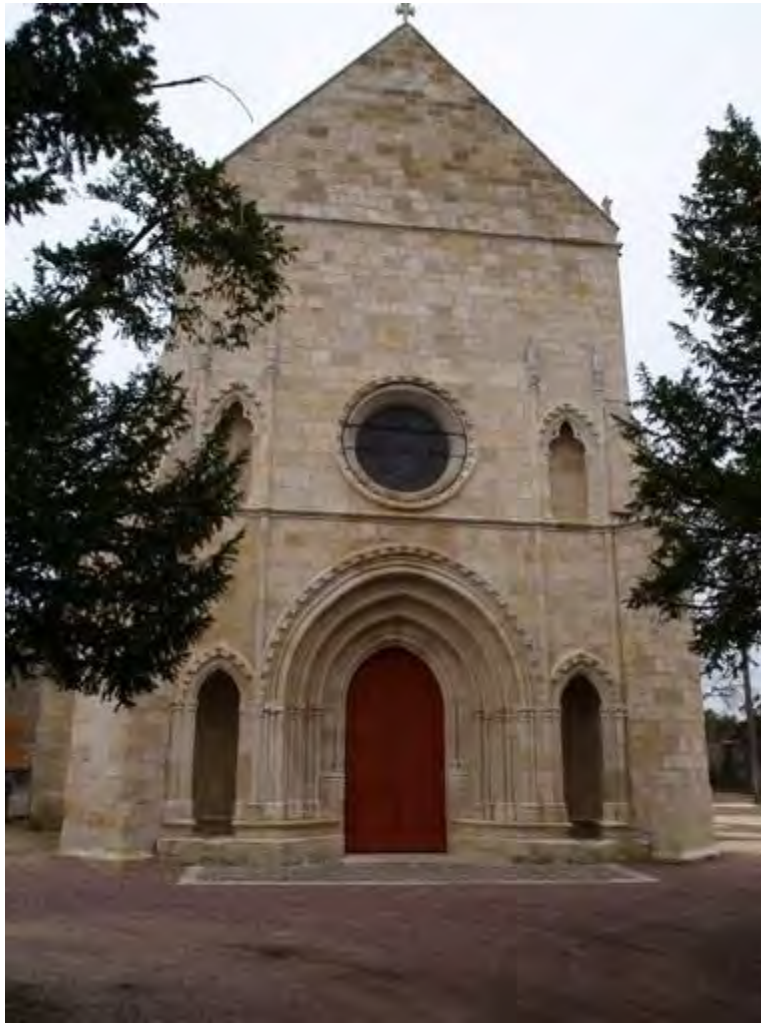


Fig. 183 : façade occidentale de l'église de Berson (Gironde).



Fig. 184 : façade occidentale de l'église de Mézin (Lot-et-Garonne)



Fig. 185 : façade occidentale de l'église Notre-Dame de Marmande (Lot-et-Garonne)



Fig. 186 : vue générale du portail de l'ancien couvent des Jacobins de Saint-Sever (Landes).



Fig. 187 : baldaquin du tombeau de Jean XXII, cathédrale notre-Dame-des-Doms, Avignon.



Fig. 188 : tombeau du cardinal Bertrand de Déaux, collégiale Saint-Didier, Avignon.



Fig. 189 : portail de la collégiale d'Ottery-Saint-Mary, Devon (Grande-Bretagne)



Fig. 190 : détail (à gauche) de la sacristie et de la salle capitulaire de la collégiale d'Écouis



Fig. 191 : vue générale du mur reconstruit entre deux contrefort, au nord du chevet, collégiale Saint-Martin.



Fig. 192 : détail de la partie supérieure du mur reconstruit entre deux contrefort, au nord du chevet, de la collégiale Saint-Martin.



Fig. 193 : seconde sacristie construite en 1778, collégiale Saint-Martin.



Fig. 194 : traces du solin de la sacristie construite en 1601, collégiale Saint-Martin.



Fig. 195 : tour de la collégiale Saint-Pierre de La Romieu (Gers).



Fig. 196 : décor peint de la voûte de la salle inférieure de la tour nord, collégiale Saint-Pierre de La Romieu.



Fig. 197 : détail du décor peint des murs de la salle inférieure de la tour nord, collégiale Saint-Pierre de La Romieu.



Fig. 198 : tour des chanoines, collégiale de Saint-Germain-les-Belles (Haute-Vienne).



Fig. 199 : clé de voûte aux armes du cardinal Hugues Roger, rez-de-chaussée de la tour des chanoines, collégiale de Saint-Germain-les-Belles (Haute-Vienne).



Fig. 200 : piscine liturgique, rez-de-chaussée de la tour des chanoines, collégiale de Saint-Germain-les-Belles (Haute-Vienne).



Fig. 201 : vue de la collégiale Saint-Martin et des bâtiments canoniaux depuis le nord.
Cliché Jean-François Peiré, DRAC Occitanie.



Fig. 202 : traces d'arrachement du mur de clôture au nord des bâtiments canoniaux,
collégiale Saint-Martin.



Fig. 203 : vue de la collégiale et des bâtiments canoniaux, avec la tour du doyen, vers 1886.

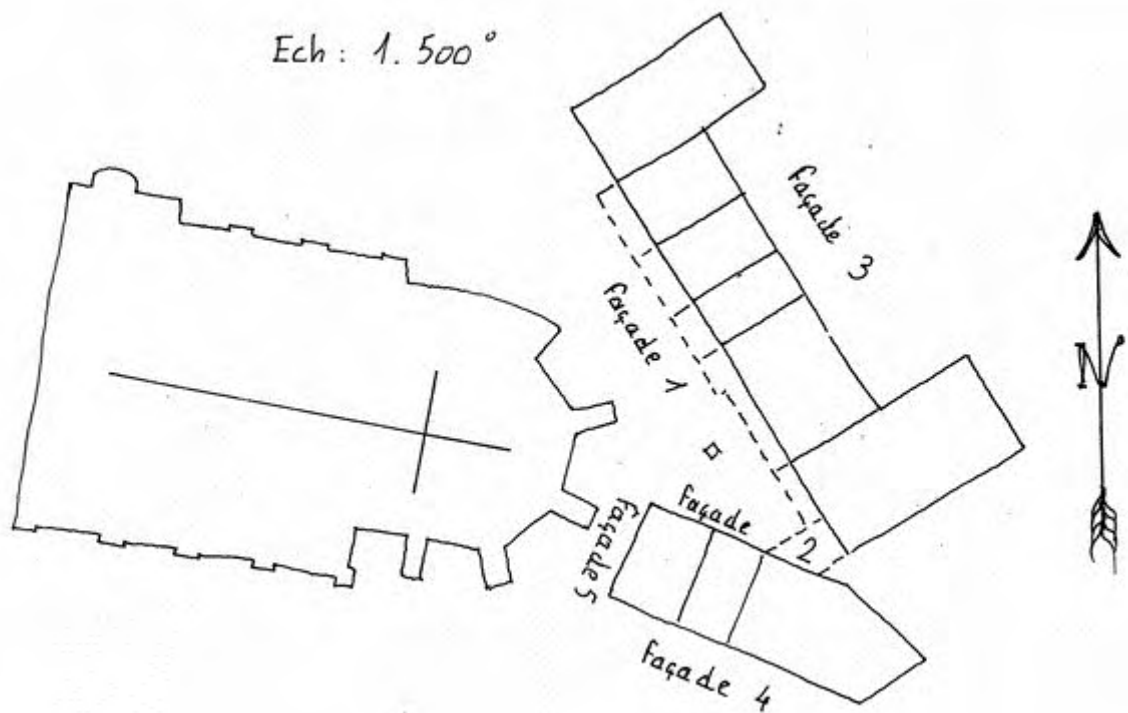


Fig. 204 : schéma d'implantation actuelle des bâtiments canoniaux et de la collégiale Saint-Martin. Dessin Benoît Colombié, UDAP de Tarn-et-Garonne.



Fig. 205 : relevé de la façade nord-ouest des bâtiments canoniaux de Montpezat-de-Quercy.
Dessin Benoît Colombié et Lionel Mottin, UDAP de Tarn-et-Garonne.

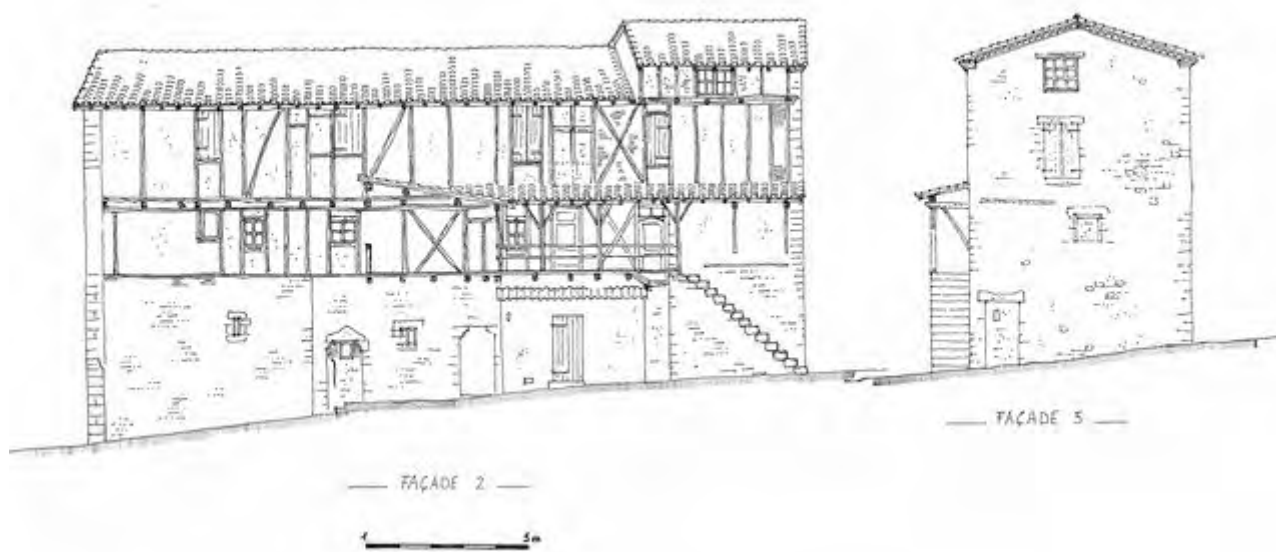


Fig. 206 : relevé des façades sud-ouest des bâtiments canoniaux de Montpezat-de-Quercy.
Dessin Benoît Colombié et Lionel Mottin, UDAP de Tarn-et-Garonne.



Fig. 207 : relevé de la façade ouest des bâtiments canoniaux de Montpezat-de-Quercy.
Dessin Benoît Colombié et Lionel Mottin, UDAP de Tarn-et-Garonne.



Fig. 208 : vue de la cour intérieure du collège des chanoines de Montpezat en 1883.
Arch. Dép. Tarn-et-Garonne, Fonds de la société archéologique.

Impossible d'afficher l'image.



Fig. 209 : vue de la cour intérieure du collège des chanoines de Montpezat.



Fig. 210 : porte du rez-de-chaussée d'une maison canoniale de Montpezat.

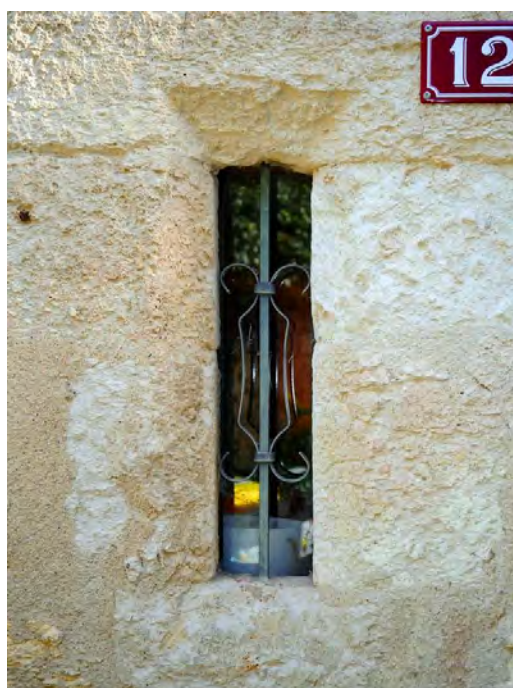


Fig. 211 : jour du rez-de-chaussée d'une maison canoniale de Montpezat.

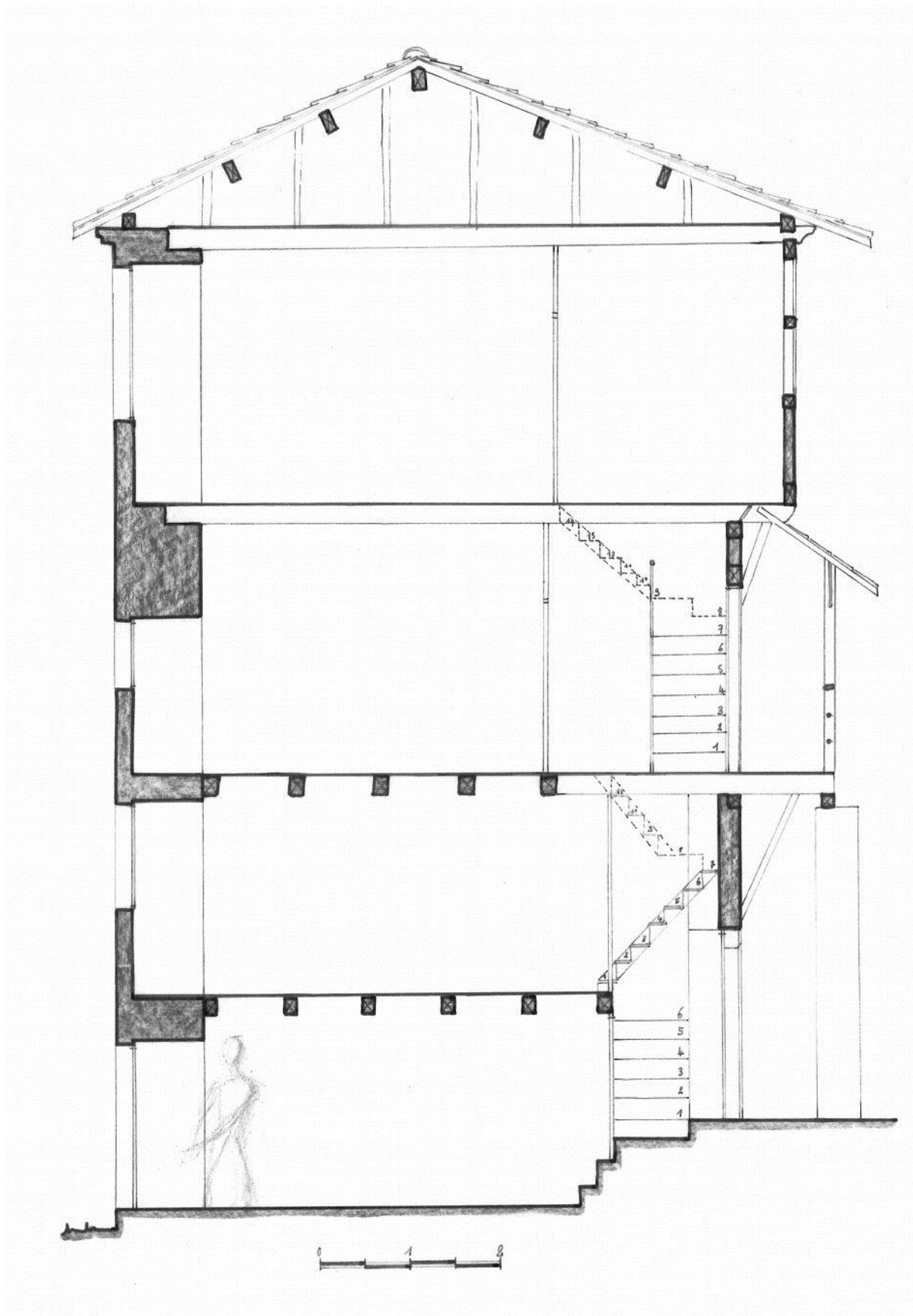


Fig. 212 : coupe schématique transversale d'une maison canoniale de Montpezat-de-Quercy.,
avec les différents niveaux de vie,
Dessin Isabelle Vidailiac et Lionel Mottin, UDAP de Tarn-et-Garonne.

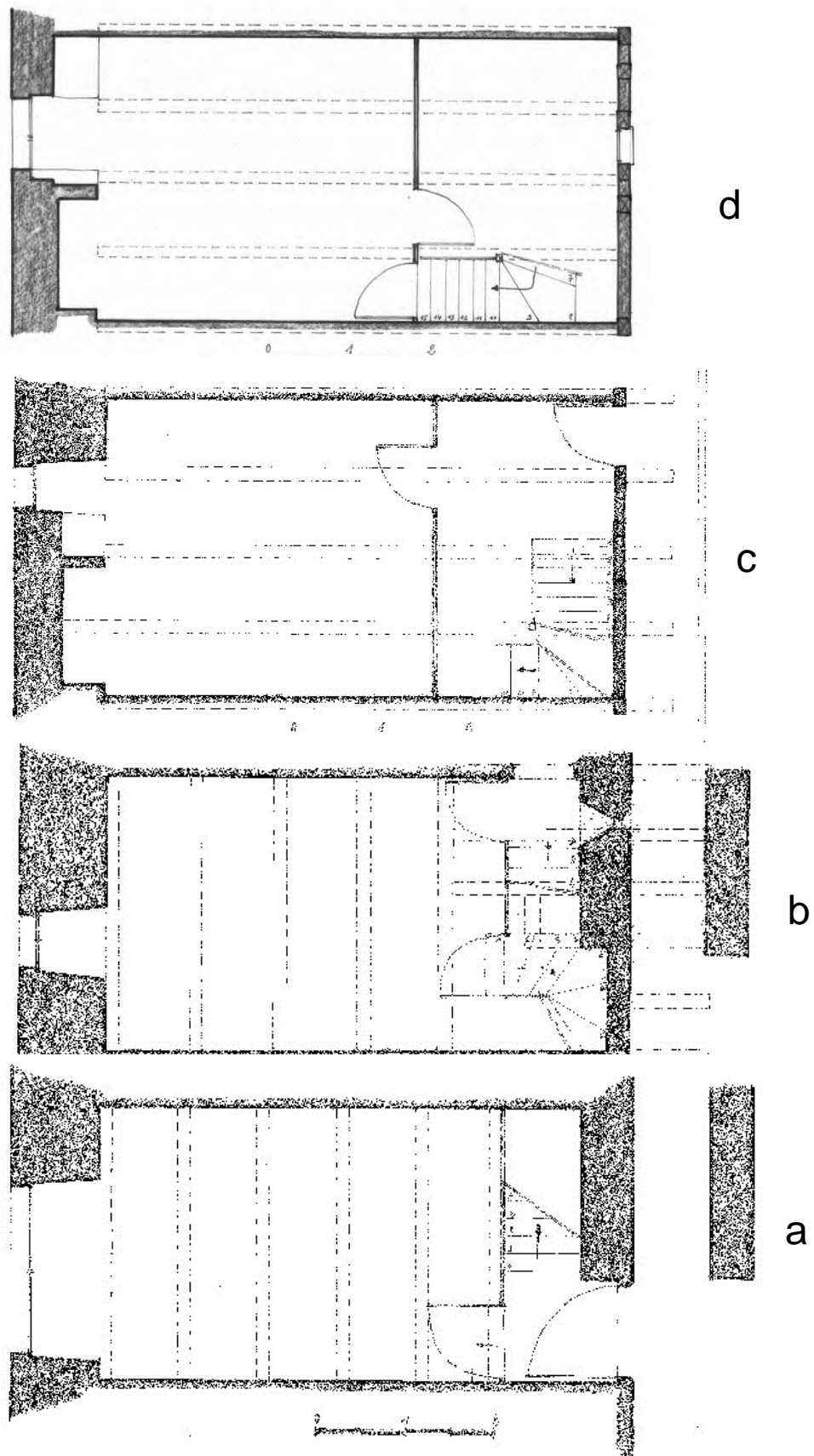


Fig. 213 : plan des différents niveaux d'une maison canoniale de Montpezat-de-Quercy. :
a : cave ; b : entresol ; c : premier étage ; d : second étage.

Dessin Isabelle Vidailiac et Lionel Mottin, UDAP de Tarn-et-Garonne.



Fig. 214 : logis de la rue de la Madeleine à Tours.



Fig. 215 : façade d'une maison canoniale de Provins.



Fig. 216 : cour de la maison canoniale dite de Sampzon, Viviers (Ardèche).



Fig. 217 : façade arrière d'une maison de Chartreux. Chartreuse du Val-de-Bénédiction, Villeneuve-les-Avignon (Gard).



Fig. 218 : espace de travail d'une maison de Chartreux. Chartreuse du Val-de-Bénédiction, Villeneuve-les-Avignon (Gard).



Fig. 219 : espace de repos d'une maison de Chartreux. Chartreuse du Val-de-Bénédiction, Villeneuve-les-Avignon (Gard).



Fig. 220 : tour du palais de la Raymondie, Martel (Lot).



Fig. 221 : tour du palais de Via, à Cahors (Lot).

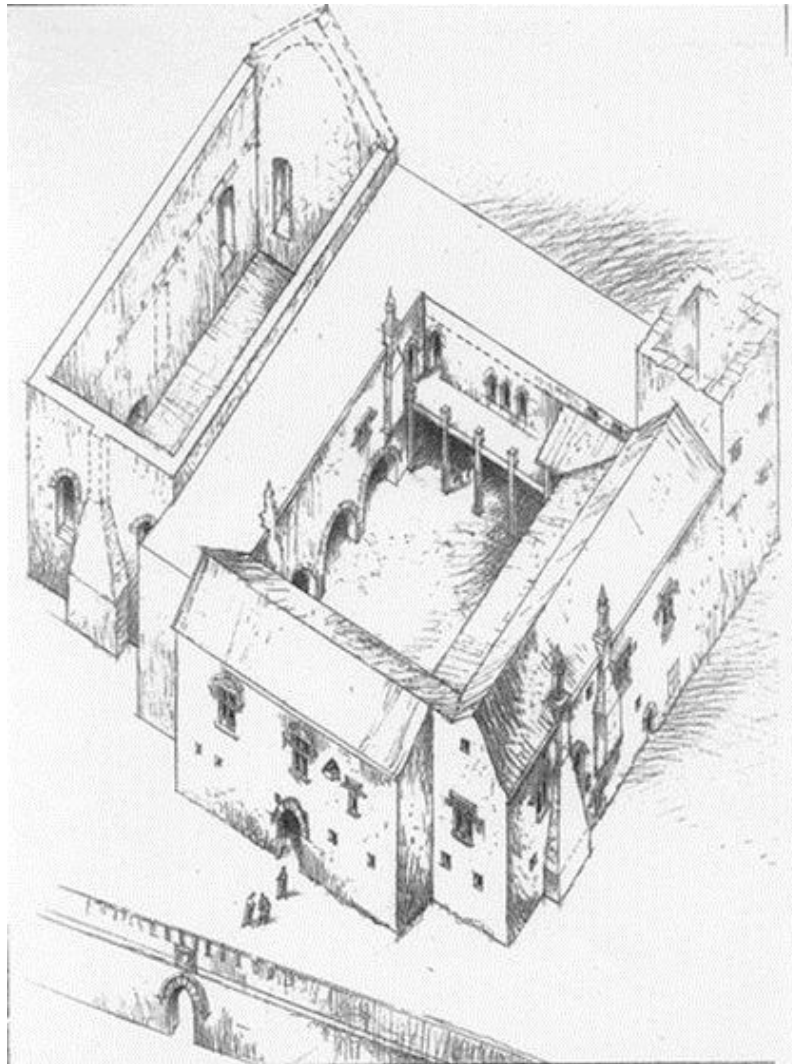


Fig. 222 : restitution du palais cardinalice de Thuroye en 1410, Villeneuve-les-Avignon.
Dessin Bernard Sournia.

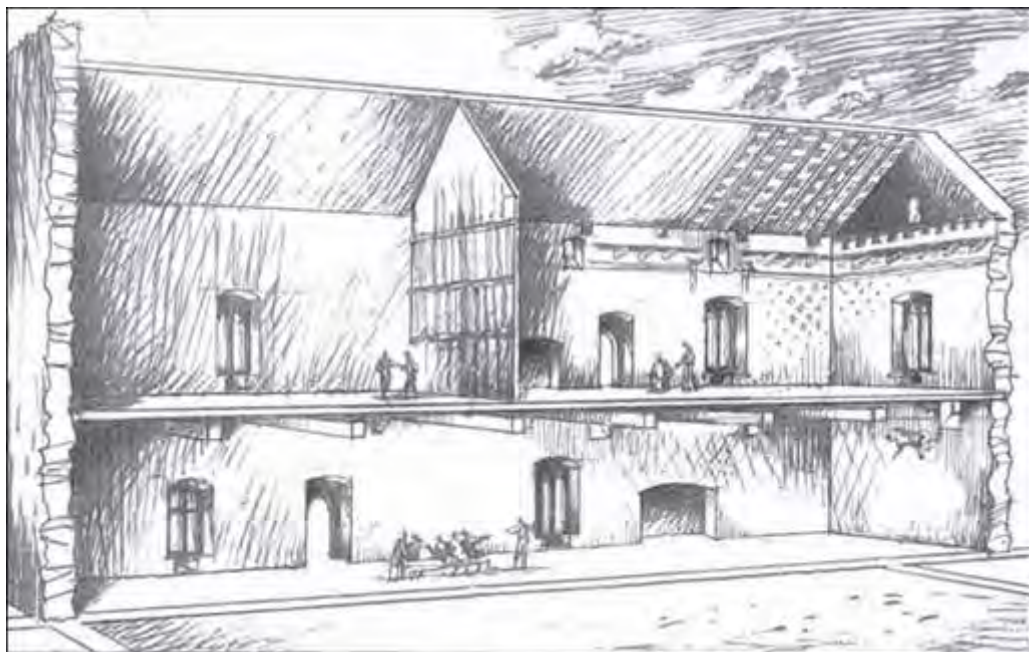


Fig. 223 : palais cardinalice de Thuroye, Villeneuve-les-Avignon. Écorché du corps nord sur le tinel et la *aula* de Bertrand de Deux Dessin Bernard Sournia.



Fig. 224 : vestiges du palais du cardinal d'Aux à La Romieu (Gers).



Fig. 225 : vue générale du site du Pouget en 2015.



Fig. 226 : le site du Pouget en 1967, avant la démolition des bâtiments principaux.
Collection particulière



Fig. 227 : le site du Pouget en 1967, avant la démolition des bâtiments principaux.
En fond, le village de Castelnau-Montratier. Collection particulière



Fig. 228 : détail du site du Pouget en 1963, avant la démolition des bâtiments principaux.
Collection particulière



Fig. 229 : extrait du cadastre napoléonien de Montpezat-de-Quercy.
En bleu, l'ancien hôpital médiéval.



Fig. 230 : la collégiale Saint-Étienne-du-Tescou de Montauban, d'après un plan de 1526.
Le chevet plat est une mauvaise interprétation d'une lacune du copiste du XIXe siècle

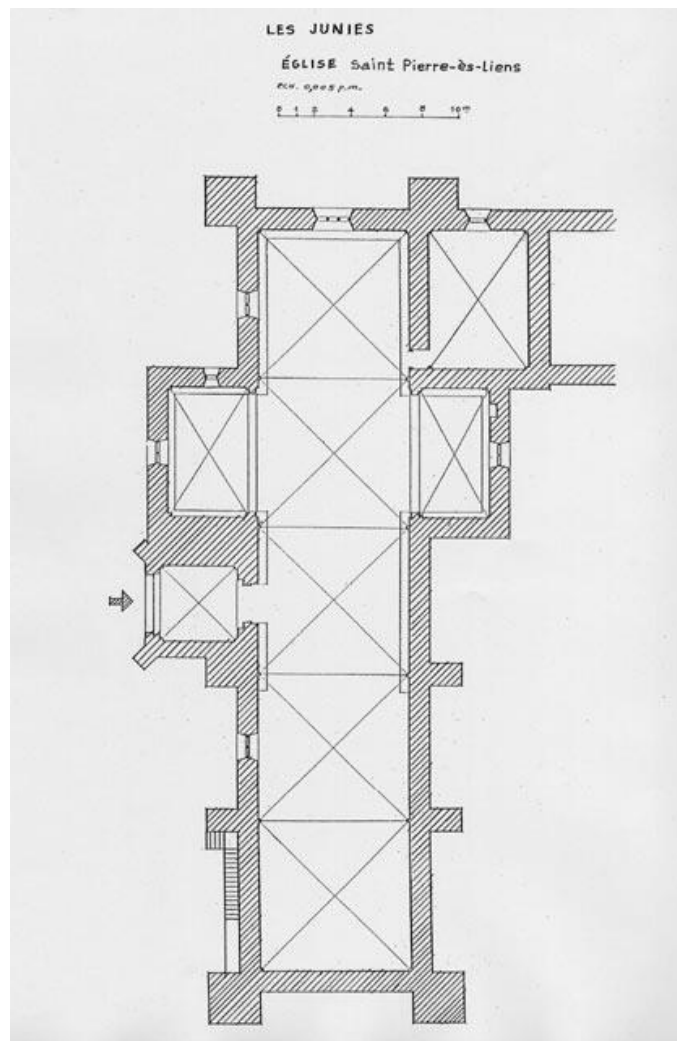


Fig. 231 : plan de l'église des Junies (Lot).

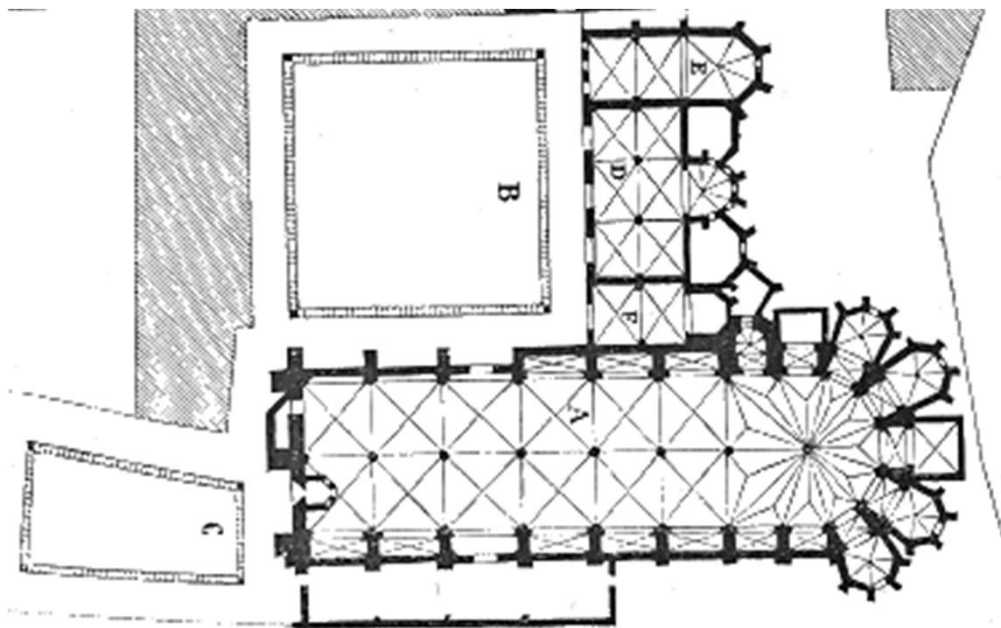


Fig. 232 : plan de l'église des Jacobins de Toulouse.



Fig. 233 : détail du décor héraldique du rez-de-chaussée de la tour nord, collégiale Saint-Pierre de la Romieu.



Fig. 234 : détail du décor héraldique du rez-de-chaussée de la tour nord, avec à gauche le lion de sable du cardinal d'Aux. Collégiale Saint-Pierre de la Romieu.



Fig. 235 : gisant du cardinal Bertrand du Pouget.



Fig. 236 : armes de Bertrand du Pouget, qui ornent la cuve de son tombeau.



Fig. 237 : fragment d'un angle de la cuve du tombeau de Bertrand du Pouget.



Fig. 238 : détail des armes de Bertrand du Pouget sculptées sur l'orfroi de la chasuble de son gisant.



Fig. 239 : détail des armes du cardinal Gil Albornoz, sculptées sur son tombeau, Tolède (Espagne).



Fig. 240 : armes de Pierre des Prés, tissu du milieu du XIV^e siècle, collégiale Saint-Martin.



Fig. 241 : écu sculpté aux armes primitives des des Prés (?). Montpezat-de-Quercy, collection particulière.

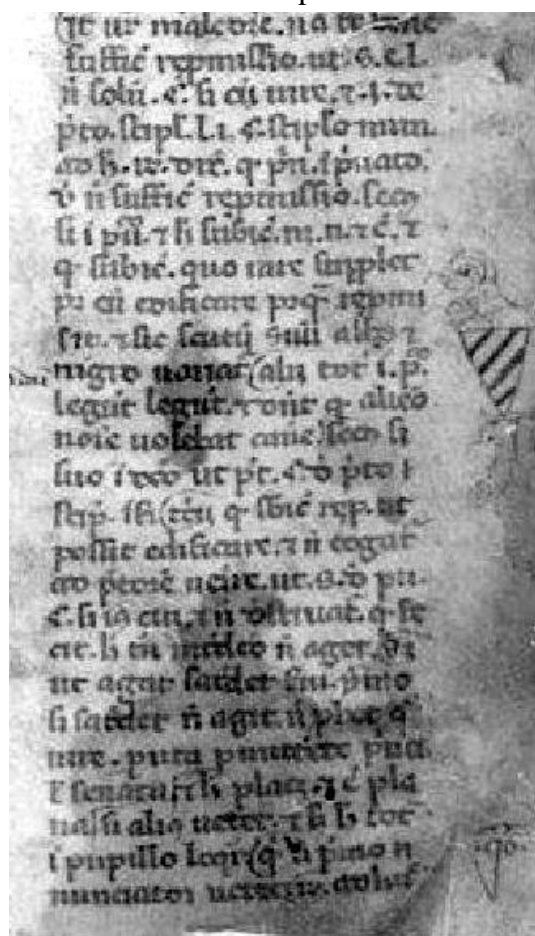


Fig. 242 : détail d'un folio du *Digestum* annoté par Pierre des Prés, avec un dessin des armes primitives de sa famille (?).



Fig. 243 : tribune haute dans l'église Santa Maria Donnaregina de Naples.



Fig. 244 : tribune haute dans l'église du monastère de Pedralbes, Barcelone.



Fig. 245 : blocage de la porte de communication entre la sacristie et le chœur, réalisé avec des fragments du jubé. Collégiale Saint-Martin. État en décembre 2016.



Fig. 246 : comblement de la fosse située dans la quatrième chapelle nord, réalisé avec des fragments du jubé. Collégiale Saint-Martin. État en décembre 2016.

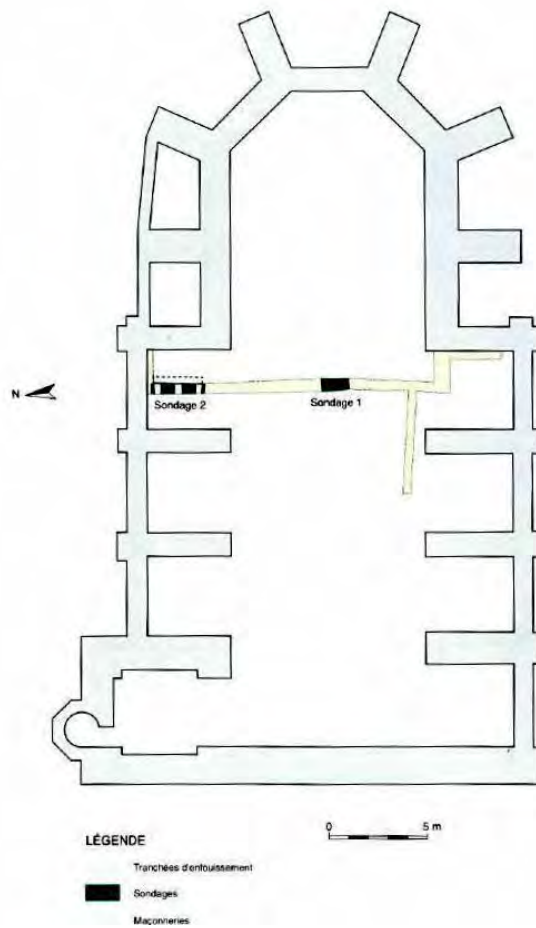


Fig. 247 : localisation des sondages archéologiques réalisés en 2005 dans la collégiale Saint-Martin. Plan Laurence Murat HADES.

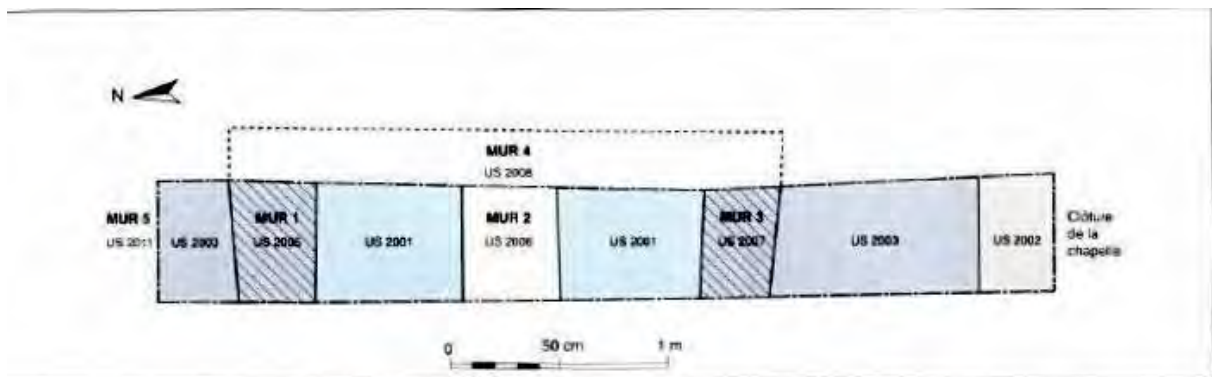


FIG. 2

Plan des vestiges
Chapelle nord - Sondage 2
Relevé et dessin de L. MURAT

Fig. 248 : plan des sondages archéologiques réalisés en 2005 dans la collégiale Saint-Martin. Plan Laurence Murat HADES.



Fig. 249 : marche découverte dans la fosse de la quatrième chapelle nord de la collégiale Saint-Martin en 2005.



Fig. 250 : fragment du jubé (?) découvert dans la fosse de la quatrième chapelle nord de la collégiale Saint-Martin en 2005.



Fig. 251 : second fragment du jubé (?) découvert dans la fosse de la quatrième chapelle nord de la collégiale Saint-Martin en 2005.



Fig. 252 : fragment du jubé réemployé en dalle de sol dans la première chapelle sud, collégiale Saint-Martin.



Fig. 253 : dépose d'une table d'autel posée sur champ et réemployée comme support de gisant.
État en février 2017.



Fig. 254 : détail de l'enduit fin gris qui recouvre la table d'autel réemployée,
collégiale Saint-Martin.



Fig. 255 : détail des trous de dépochement de la tribune, sur le mur nord du chevet de la collégiale Saint-Martin.



Fig. 256 : en noir, à droite, trace oblique de l'escalier qui montait à la tribune du chœur, collégiale Saint-Martin.



Fig. 257 : crémaillères de l'escalier d'accès à la tribune, remployé en renfort des estrades des stalles. Collégiale Saint-Martin.



Fig. 258 : fragment du poteau de départ de l'escalier d'accès à la tribune.



Fig. 259 : la « Vierge aux colombes », collégiale Saint-Martin.



Fig. 260 : détail du visage de la « Vierge aux colombes ».



Fig. 261 : sainte Anne et la Vierge, sculpture provenant du jubé (?),
collégiale Saint-Martin.



Fig. 262 : dos de la statue de sainte Anne et la Vierge, sculpture provenant du jubé (?),
collégiale Saint-Martin.



Fig. 263 : traces de décor et de couleur sur la statue de sainte Anne et la Vierge,
sculpture
provenant du jubé (?), collégiale Saint-Martin.



Fig. 264 : détail d'un trou semi-circulaire sur un accotoir de stalle.



Fig. 265 : vue du revers des stalles avec le remontage de 1778.



Fig. 266 : détail d'une colonnette des stalles.



Fig. 267 : miséricorde avec une tête de fou, collégiale Saint-Martin.



Fig. 268 : deux miséricordes du XVII^e siècle, collégiale Saint-Martin.



Fig. 269 : détail de miséricordes avec un décor végétal. Collégiale Saint-Martin.



Fig. 270 : détail d'une misericorde avec un décor végétal. Collégiale Saint-Martin.



Fig. 271 : détail d'une misericorde avec un décor végétal.
Cathédrale Saint-Samson de Dol-de-Bretagne.



Fig. 272 : masque grimaçant, stalle de la collégiale Saint-Martin.



Fig. 273 : masque grimaçant, stalle de la collégiale Saint-Martin.



Fig. 274 : masque grimaçant, stalle de la cathédrale de Lisieux (Calvados).



Fig. 275 : masque grimaçant, stalle de la cathédrale de Lisieux (Calvados).



Fig. 276 : détail d'un faciès de monstre, stalle de la collégiale Saint-Martin.



Fig. 277 : détail d'un faciès de monstre, stalle de la collégiale Saint-Martin.



Fig. 278 : détails de faciès de monstres, stalles de la collégiale de Bard-le-Régulier.



Fig. 279 : détail d'une figure de chien, stalle de la cathédrale de Dol-de-Bretagne.



Fig. 280 : figure hybride, stalle de la collégiale Saint-Jacques de Liège.



Fig. 281 : figure hybride, stalle de la cathédrale Saint-Samson de Dol-de-Bretagne.



Fig. 282 : escargot, stalle de la collégiale Saint-Martin.



Fig. 283 : deux exemples d'escargots, *marginalia* du XIV^e siècle.

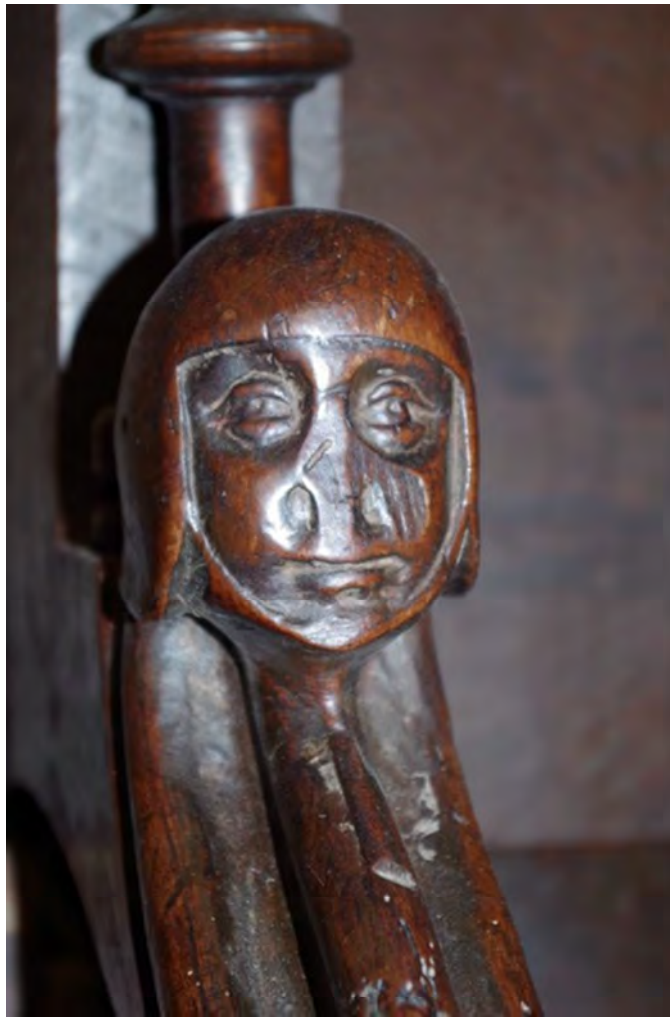


Fig. 284 : tête d'homme portant un bassinet, stalle de la collégiale Saint-Martin.



Fig. 285 : tête d'homme portant un bassinet, B.M Avignon, ms. 00197, fol. 005 v.



Fig. 286 : tête d'homme coiffée d'un chaperon, collégiale Saint-Martin.



Fig. 287 : tête d'homme coiffée d'un chaperon, collégiale de Bard-le-Régulier.



Fig. 288 : personnage hybride coiffé d'un bonnet, collégiale Saint-Martin.



Fig. 289 : personnage hybride à tête de félin, collégiale Saint-Martin.



Fig. 290 : personnage hybride avec des oreilles d'âne, collégiale Saint-Martin.



Fig. 291 : personnage hybride avec des oreilles d'âne, *marginalia* d'un manuscrit du XIV^e siècle.



Fig. 292 : stalles de la collégiale de Saint-Germain-les-Belles (Haute-Vienne).



Fig. 293 : chapelain en prière, collégiale Saint-Martin.



Fig. 294 : détail du visage du chapelain en prière, collégiale Saint-Martin.



Fig. 295 : figure d'apôtre, décor des jouées des stalles, collégiale Saint-Martin.



Fig. 296 : détails du vêtement de la figure d'apôtre, décor des jouées des stalles, collégiale Saint-Martin.



Fig. 297 : détail du visage de la figure d'apôtre, décor des jouées des stalles, collégiale Saint-Martin.



Fig. 298 : saint Jacques, statue de Robert de Lannoy, ancien hôpital Saint-Jacques, musée du Louvre, Paris.

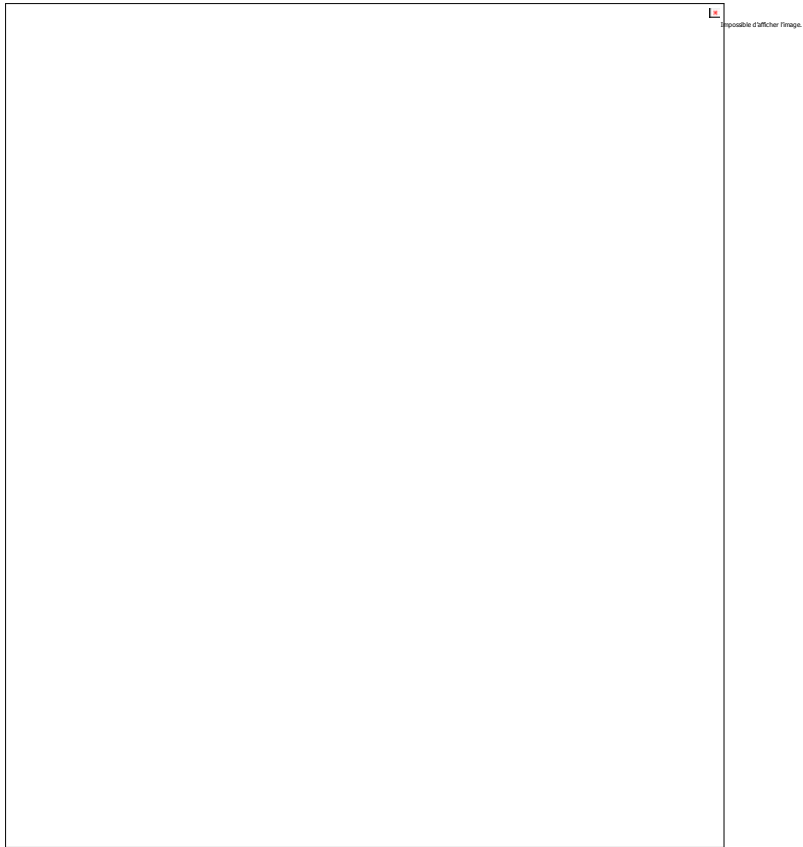


Fig. 299 : avers et revers des statuettes qui décorent les parclozes des stalles, abbatale de la Chaise-Dieu (Haute-Loire)



Fig. 300 : vue générale de l'arc doubleau qui marque l'entrée du sanctuaire, collégiale Saint-Martin.

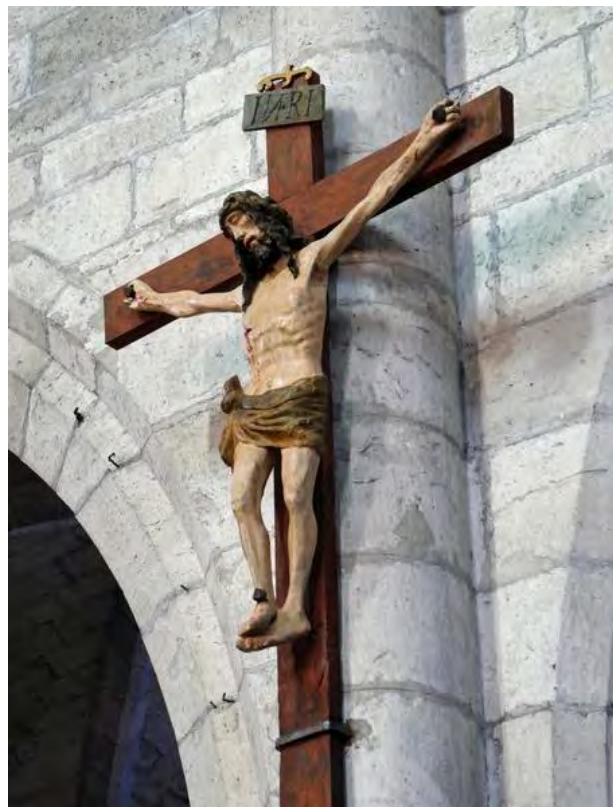


Fig. 301 : Christ en croix qui se trouvait primitivement sur la tribune du jubé, collégiale Saint-Martin.



Fig. 302 : vue générale de l'église de Saux avec en fond l'autel primitif en place.



Fig. 303 : la sortie du tombeau et l'Ascension, deux plaques de bâtière provenant de l'autel majeur de la collégiale Saint-Martin.



Fig ; 304 : placard dans le mur du chevet de l'ancienne église du Pouget, état en 2015.



Fig. 305 : placard dans le mur sud du chevet de la collégiale de Saint-Germain-les-Belles.



Fig. 306 : vue générale de la portion de mur du chevet remontée, collégiale Saint-Martin.



Fig. 307 : détail de l'arrêt du décor peint à droite du bouleversement dans le mur sud-est du chevet, collégiale Saint-Martin.



Fig. 308 : détail de la partie basse d'un placard en bas du bouleversement dans le mur sud-est du chevet, collégiale Saint-Martin.



Fig. 309 : armoire aux reliques des abbatales de Saint-Nectaire et de Souvigny..



Fig. 310 : vestige du catafalque funèbre du cardinal Hugues Roger, collégiale de Saint-Germain-les-Belles.



Fig. 311 : tombeau de Bernard Brun, cathédrale de Limoges.



Fig. 312 : tombeau de l'évêque Gonçalo Pereira, cathédrale de Braga (Portugal).

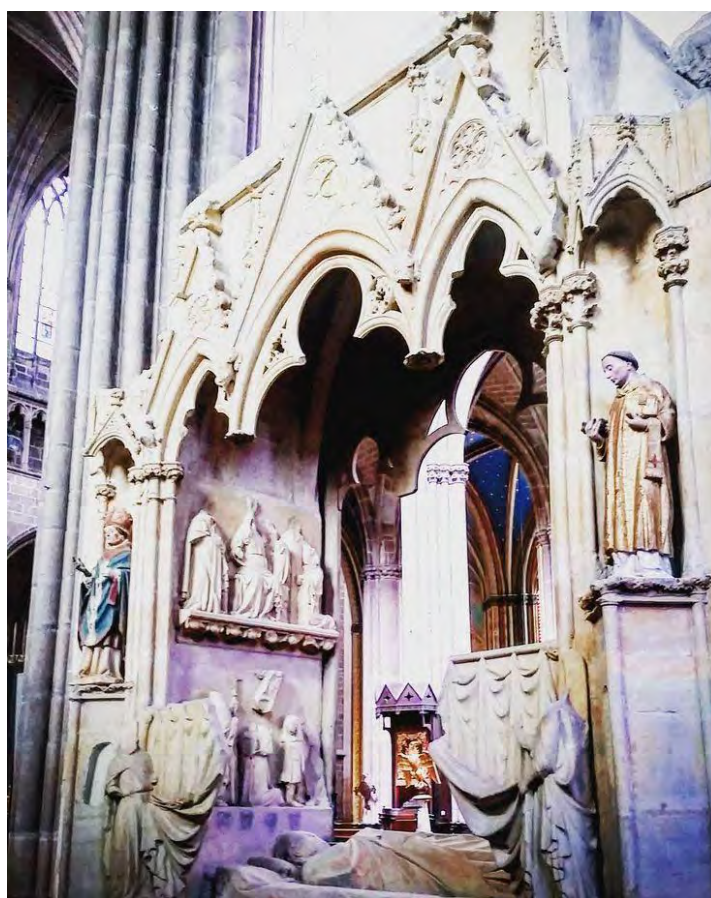


Fig. 313 : tombeau de Raynaud de La Porte, cathédrale de Limoges.



Fig. 314 : vue du chœur des religieux avec au centre le tombeau de Clément VI, abbatale de La Chaise-Dieu.

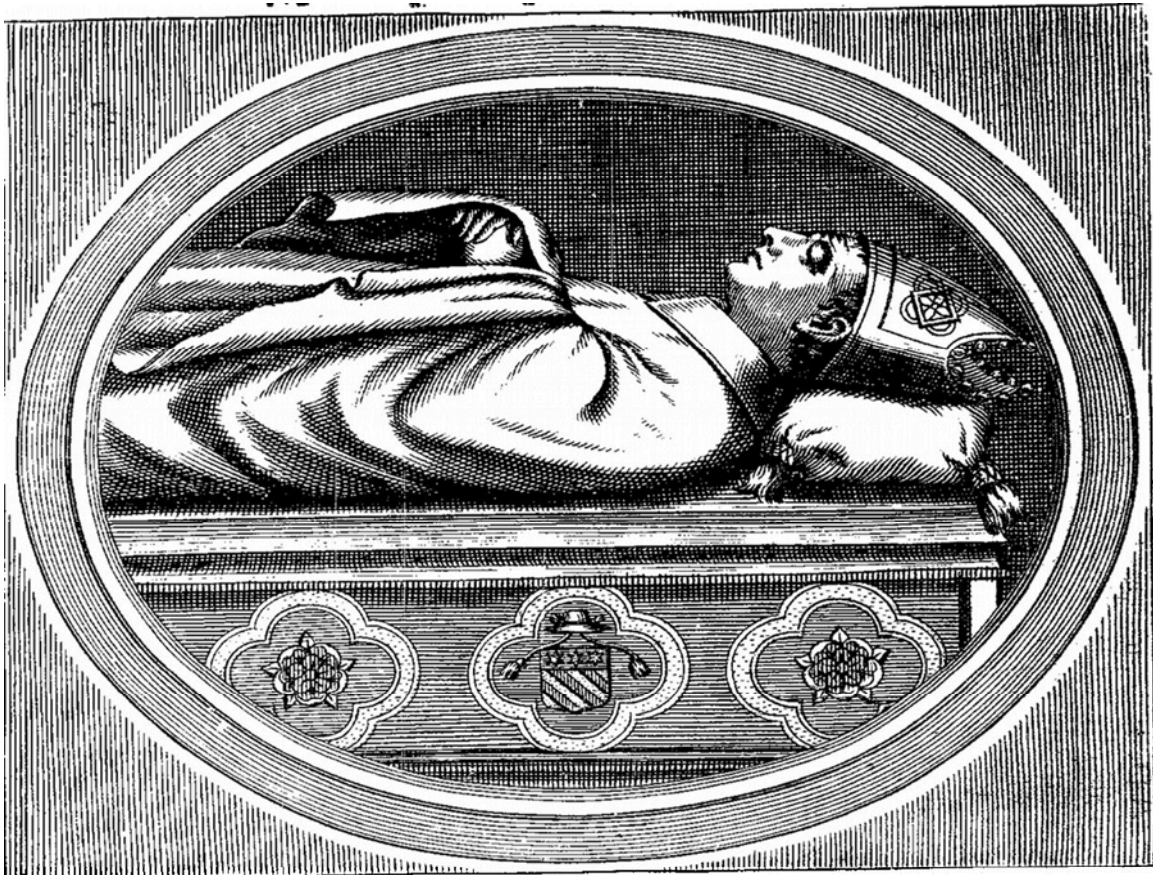


Fig. 315 : dessin du tombeau de Pierre des Prés par le chanoine Léon Godefroy et publié en 1660 par François Duchesne.



Fig. 316 : vue générale du gisant de Pierre des Prés lors de sa dépose en février 2017.



Fig. 317 : vue latérale du gisant de Pierre des Prés lors de sa dépose en février 2017.



Fig. 318 : détail du gisant de Pierre des Prés.



Fig. 319 : détail des plis des vêtements du gisant de Pierre des Prés.



Fig. 320 : détail de la mitre du gisant de Pierre des Prés.



Fig. 321 : détail du gisant de Pierre des Prés.



Fig. 322 : détail du lion sur le gisant de Pierre des Prés.



Fig. 323 : détail du gisant de Pierre des Prés.



Fig. 324 : détail de la dorure sur le lion du gisant de Pierre des Prés.



Fig. 325 : photographie non datée qui montre des traces importantes de couleurs sur le gisant de Pierre des Prés. Arch. Dép. Tarn-et-Garonne, fonds de la SAHTG.



Fig. 326 : traces de couleur sur les cheveux du gisant du cardinal des Prés.



Fig. 327 : traces de dorure sur le poitrail du lion du gisant du cardinal des Prés,

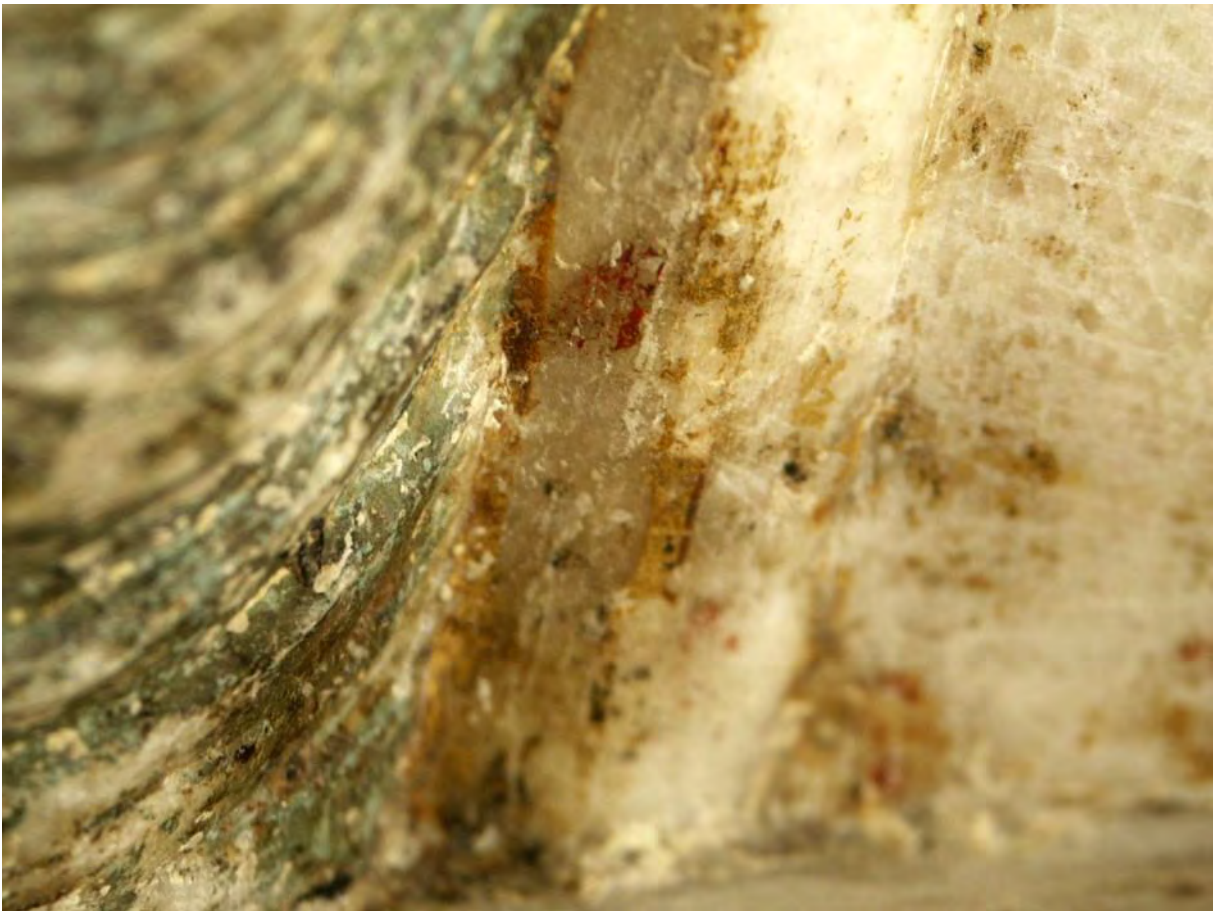


Fig. 328 : traces de décor peint et doré sur la mitre du gisant du cardinal des Prés, collégiale Saint-Martin.



Fig. « éc : traces de décor peint et doré sur la mitre du gisant du cardinal des Prés, collégiale Saint-Martin.



Fig. 330 : traces de décor peint et doré sur le coussin du gisant du cardinal des Prés, collégiale Saint-Martin.



Fig. 331 : gisant du pape Clément V, collégiale d'Uzeste.

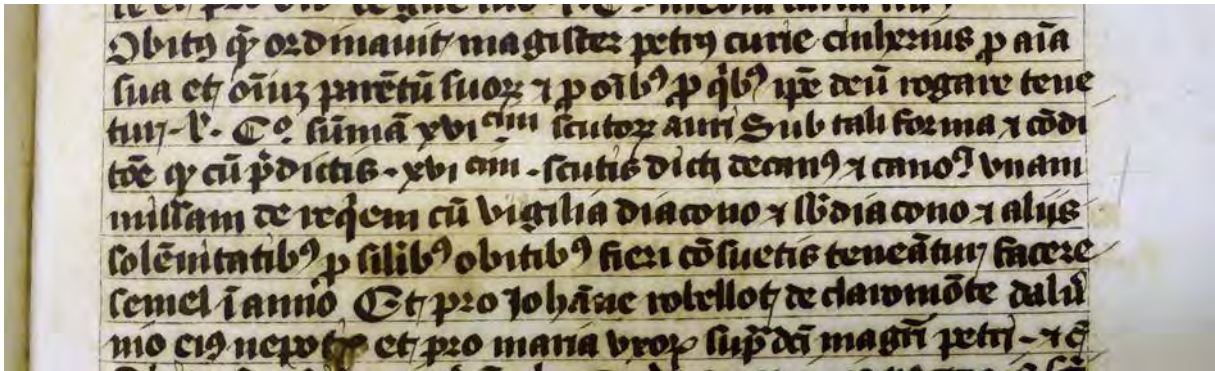


Fig. 332 : obit de maître Pierre, ymagier de la Cour. Arch. Dép. Tarn-et-Garonne, G 790.



Fig. 333 : gisant du pape Clément VI, abbatale de la Chaise-Dieu



Fig. 334 : détail du décor peint sur le gisant de Clément VI.



Fig. 335 : détail des plis des vêtements du gisant de Clément VI.



Fig. 336 : détail de la sandale du gisant de Clément VI.



Fig. 337 : détail de la sandale du gisant de Pierre des Prés..



Fig. 338 : visage du pape Clément VI, détail de son gisant.



Fig. 339 : gisant du cardinal Nicolas Roger, abbatale de la Chaise-Dieu.



Fig. 340 : détail du gisant du cardinal Nicolas Roger, abbatale de la Chaise-Dieu.



Fig. 341 : détail du lion du gisant du cardinal Nicolas Roger.



Fig. 342 : gisant de Jean de Marigny, collégiale Notre-Dame d'Écouis.



Fig. 343 : tombeau de cò ur du cardinal Pierre Gauvain, église de Bellac.



Fig. 344 : détail des armes du cardinal Pierre Gauvain, église de Bellac.



Fig. 345 : détail de l'*elevatio anima* du cardinal Pierre Gauvain.



Fig. 346 : détail du coffre rectangulaire du tombeau de cò ur du cardinal Pierre Gauvain.



Fig. 347 : fontaine avec des armes proches de celles du cardinal Pierre Gauvain, Mortemart, ancien couvent des Augustins.



Fig. 348 : détails de reliques conservées dans le trésor de la collégiale Saint-Martin.



Fig. 349 : gisant de Jean des Prés, collégiale Saint-Martin.



Fig. 350 : détail du lion bûché du gisant de Jean des Prés.



Fig. 351 : détail du visage du gisant de Jean des Prés.



Fig. 352 : détail du décor d'une sandale du gisant de Jean des Prés.



Fig. 353 : détail d'un reste de couleur bleue sur le gisant de Jean des Prés.



Fig. 354 : détail d'un reste de couleur rouge sur le gisant de Jean des Prés.



Fig. 355 : détail du décor du gisant de Clément V, collégiale d'Uzeste.



Fig. 356 : gisant de Guillaume Durand de Mende, Toulouse, musée des Augustins.



Fig. 357 : gisant du cardinal Bernard de Garves (?), église de Sainte-Livrade-sur-Lot.



Fig. 358 : le reliquaire dit « aux anges » vers 1920. Cliché DRAC Occitanie, Jean-François Peiré.



Fig. 359 : revers du reliquaire dit « aux anges » vers 1920. Cliché DRAC Occitanie, Jean-François Peiré.

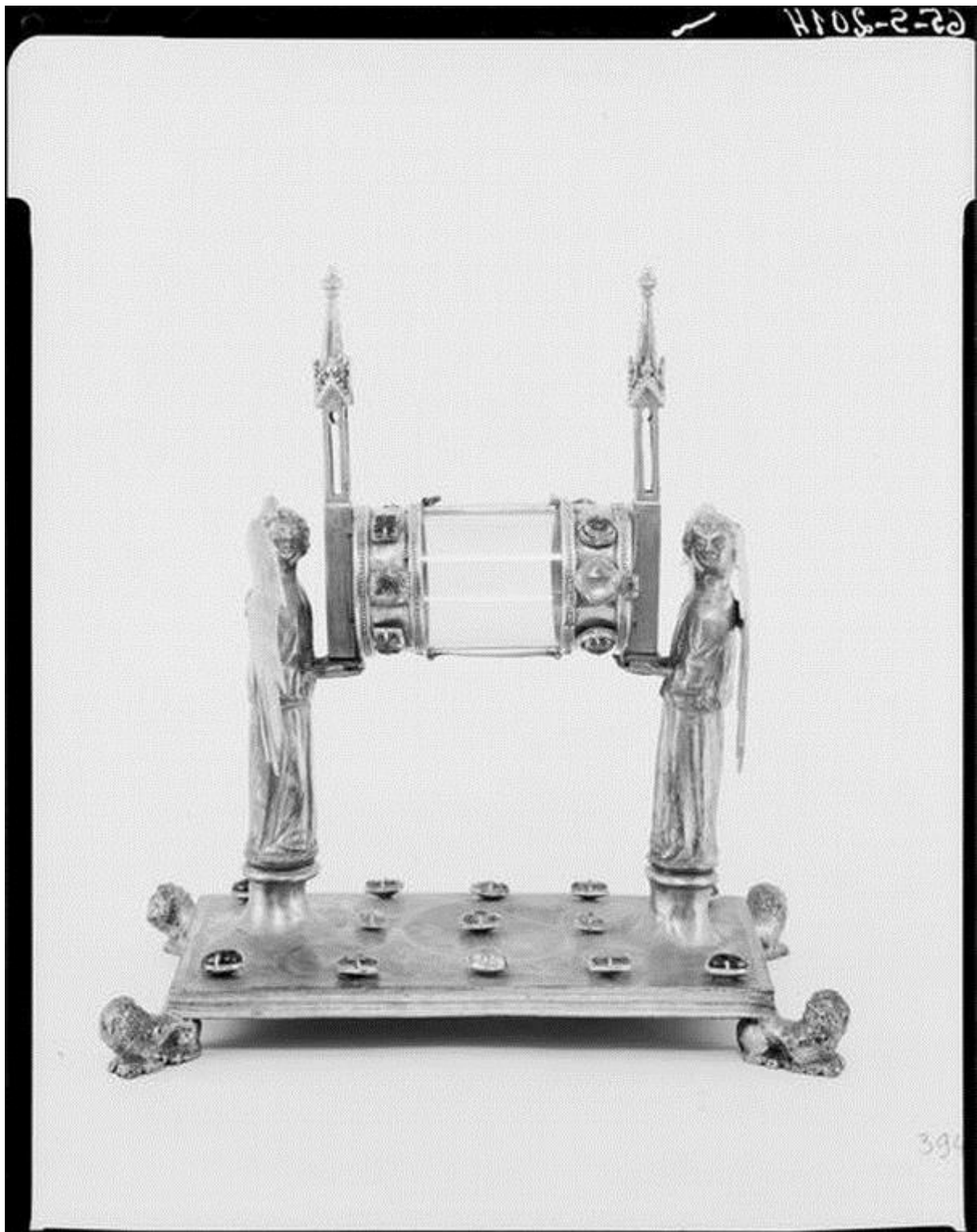


Fig. 360 : reliquaire conservé dans l'église de Saint-Polycarpe (Aude).
Cliché médiathèque de l'architecture et du patrimoine.



Fig. 361 : diptyque reliquaire anciennement conservé dans le trésor de la collégiale de Montpezat.



Fig. 362 : buste reliquaire anciennement conservé dans le trésor de la collégiale de Montpezat, en cours de restauration, vers 1956.



Fig. 363 : buste reliquaire de sainte Marthe, Conques, abbatale Sainte-Foy, (Aveyron).



Fig. 364 : buste reliquaire de Saint-Alvère (Dordogne).



Fig. 365 : vue générale du diptyque reliquaire de Montpezat.



Fig. 366 : vue du diptyque reliquaire de Montpezat fermé.



Fig. 367 : détail du décor externe du diptyque reliquaire de Montpezat.



Fig. 368 : diptyque du Calvaire, Ambrogio Lorenzotti, musée du Petit-Palais, Avignon.



Fig. 369 : détail d'une miniature du diptyque reliquaire de Montpezat.



Fig. 370 : vue générale des loculi à reliques du diptyque reliquaire.



Fig. 371 : diptyque de Polignac, le Puy-en-Velay.
Cliché médiathèque de l'architecture et du patrimoine.



Fig. 372 : croix du trésor de Montpezat, aujourd'hui à la cathédrale de Montauban.
Cliché Jean-François Peiré, DRAC Occitanie.



Fig. 373 : coffret reliquaire du Saint-Voile, église Saint-Jacques de Puylaroque (Tarn-et-Garonne).



Fig. 374 : détail du décor de nacre et d'argent du reliquaire du Saint-Voile.



Fig. 375 : chef-reliquaire de saint Martin dit de Soudeilles, Musée du Louvre, Paris.



Fig. 376 : détail des armoiries qui figurent sur le reliquaire du Saint-Voile.



Fig. 377 : détail du textile qui garnit l'intérieur du reliquaire du Saint-Voile.

Fig. 378 : poinçon de la Curie sous Clément VI sur la croix du reliquaire du Saint-Voile

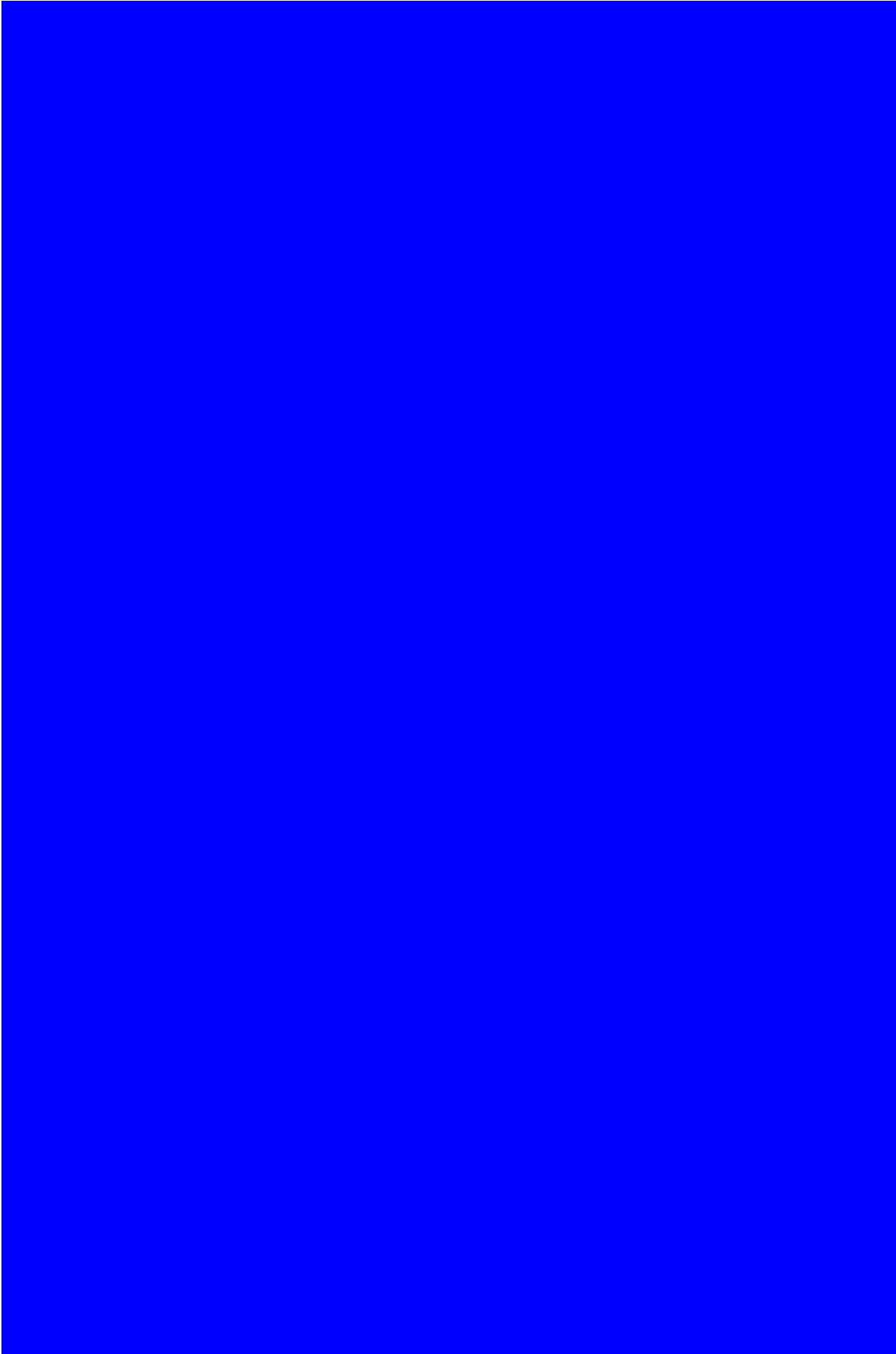


Fig. 379 : fragment du triptyque de la Vierge de miséricorde, collégiale Saint-Martin.



Fig. 380 : détail du fragment du triptyque de la Vierge de miséricorde, collégiale Saint-Martin.



Fig. 381 : détail du fragment du triptyque de la Vierge de miséricorde, collégiale Saint-Martin.



Fig. 382 : détail du fragment du triptyque de la Vierge de miséricorde, collégiale Saint-Martin.



Source gallica.bnf.fr / Bibliothèque nationale de France

Fig. 383 : Vierge de miséricorde, missel et livre d'heures franciscain (1380), Paris, BnF, ms. lat. 757, fol. 251.



Fig. 384 : Simone Martini, Vierge de miséricorde,
Sienne pinacothèque.



Fig ; 385 : Lippo Memmi, Vierge de miséricorde, vers 1350,
fresque, Chapelle du caporal, Duomo, Orvieto



Fig. 386 : Vierge en ivoire offerte à la collégiale de Villeneuve-les-Avignon par le cardinal Arnaud de Via. Cliché conservation départementale des musées du Gard.

mundi alleluia. *p.* *Ds ds nro.* *a.* Facta est cum angelo
 multitudo celestis exercitus laudantium et dicentium
 gloria in excelsis deo et in terra pax hominibus bone vo-
 luntatis alleluia alla. *p.* *Bndictus.* *a.* Parvulus filius hodie
 natus est nobis et vocabitur deus fortis alleluia alla.
Cap. et hys no dicatur. s. tamen in v. Bndict. q. ue-
me in noie dñi. Deinde uelant cantores ad alta. ubi et
 Laudate. missa. et vsus ad eos presbiter dicat antifone q. scilicet. *a.*
O gloria in excelsis deo. uoce. *re.* *Et in terra pax*
 hominibus bone uoluntatis alleluia alla. *p.* *Bndictus.*
Et sic repetit ter in qb' locis. eleuato uoce qlibet pte. In choro u' dicit
sic cosueunt fieri imaginis festiuitatib. i. an psalmu. et de tota. a. et
iter psalmu. et gla pñ. medietas. Et iter. lapit. a. a sac'dote ul' aci-
toze. fiat put. insu. fuit. Deid. uelant sac'dotes ul' cantatores sine
cantor excelsa uoce. ps. Bndict. Quo finito cu gla pñ. scilicet. p. ab illo
q. missam celebrauit. a. Gla in excelsis deo. ur. s. Deid. sac'dos finit

Fig. 387 :page de livre de chò ur, Arch. Dép. Tarn-et-Garonne, G 775.



Fig. 388 : folio 20 de l'Antiphonaire de Poissy
Melbourne, State Library of Victoria, Ms 096.1 R66A

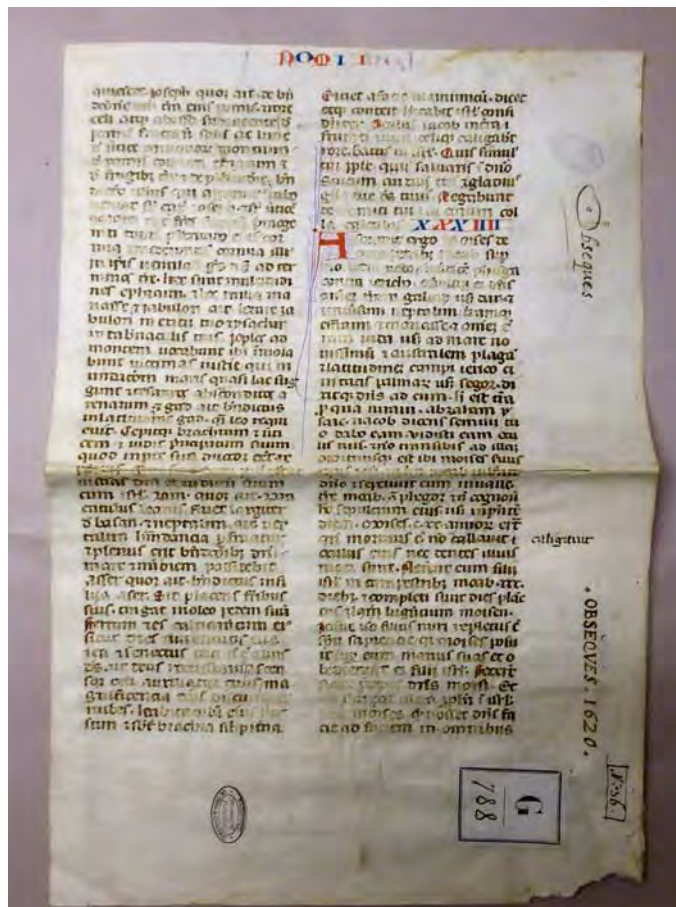


Fig. 389 : page de la Bible, Arch. Dép. Tarn-et-Garonne, G 788.



Fig. 390 : détail d'une lettrine sur une page de la Bible, Arch. Dép. Tarn-et-Garonne, G 788.



Fig. 391 : initiale extraite du pontifical de Guillaume Durand
Aix-en-Provence, bibliothèque municipale, ms. 013

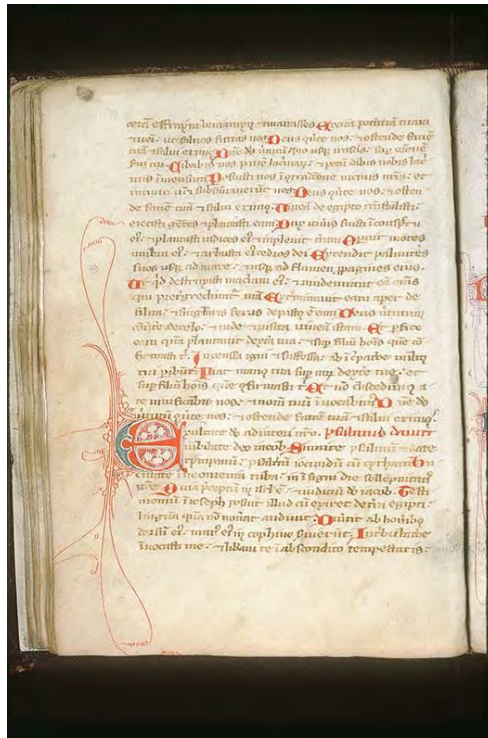


Fig. 392 : initiale extraite du bréviaire à l'usage d'Avignon, bibliothèque municipale, ms. 0126.



Fig. 393 : croix du cardinal Godin, Toulouse, musée des Augustins.



Fig. 395 : coffret de mariage, don de Jacqueline de Cardaillac, collégiale Saint-Martin



Fig. 396 : la tenture de la vie de saint Martin, déployée dans le chœur de la collégiale de Monpezat.



Fig. 397 : aumônière offerte par Jeanne de Brus, collégiale Saint-Martin.